

เอกสารนี้เป็นเอกสารที่สงวนไว้สำหรับการใช้งานเพื่อการศึกษาเท่านั้น ไม่อนุญาตให้นำไปใช้ประโยชน์ด้านการค้า
ไม่ว่ากรณีใดๆทั้งสิ้น อีกทั้งห้ามมิให้ตัดแปลงเนื้อหา และต้องอ้างอิงถึง 023118 ครั้งที่ 8.สค. 2532

ปริญญาโท ปีการศึกษา 2531

ภาควิชา อิเล็กทรอนิกส์

คณะวิศวกรรมศาสตร์ สถาบันเทคโนโลยีพระจอมเกล้าเจ้าคุณทหารลาดกระบัง

เรื่อง 2 CHANNELS BEDSIDE ICU MONITOR

ผู้จัดทำ

1. นาย กฤษณ์ วงรุจิระ
2. นาย กิรติ ตริสุวรรณ
3. นาย จิระศักดิ์ ประสิทธิ์ศักดิ์
4. นาย เฉลิมพล สิริพรมงคลชัย

.....
(อาจารย์ ประภากร สุวรรณ)



เอกสารนี้เป็นเอกสารที่สงวนไว้สำหรับการใช้งานเพื่อการศึกษาเท่านั้น ไม่อนุญาตให้นำไปใช้ประโยชน์ด้านการค้า

ไม่ว่ากรณีใดๆทั้งสิ้น อีกทั้งห้ามมิให้ตัดแปลงเนื้อหา และต้องอ้างอิงถึงเจ้าของเอกสารทุกครั้งที่มีการนำไปใช้

023118

เครื่องวัดสัญญาณหัวใจ 2 ช่องสัญญาณ

กฤษณ์ วงรุจิระ

กীরติ ตริสุวรรณ

จิระศักดิ์ ประสิทธิ์ศักดิ์

เฉลิมพล สิริบรมงคลชัย

อาจารย์ที่ปรึกษา

อาจารย์ ประภากร สุวรรณะ

ปีการศึกษา 2531

บทคัดย่อ

เครื่องวัดสัญญาณหัวใจ 2 ช่องสัญญาณนี้เป็นการนำเอาสัญญาณหัวใจแสดงบนจอภาพ โดยบนจอภาพประกอบด้วย 2 ช่องสัญญาณ คือ ช่องหนึ่งแสดงสัญญาณหัวใจและอัตราการเต้นของหัวใจ ส่วนอีกช่องหนึ่งจะแสดงสัญญาณหายใจและอัตราการหายใจ เครื่องนี้จะถูกติดตั้งไว้ข้างเตียงผู้ป่วยในห้องพักผู้ป่วยหนัก

หลักการทำงานคือ จะนำสัญญาณไฟฟ้าหัวใจซึ่งมีขนาดเล็กมากและมีความถี่ต่ำมาขยายให้มีขนาดใหญ่ขึ้น แล้วทำการแปลงสัญญาณซึ่งเป็นอนาลอกไปเป็นสัญญาณดิจิทัล เก็บไว้ในหน่วยความจำ หลังจากนั้นข้อมูลจะถูกแปลงกลับเป็นสัญญาณอนาลอกที่มีความถี่สูงขึ้น เพื่อนำออกแสดงบนจอภาพ

ข้อดีของการทำงานแบบนี้คือ สัญญาณภาพจะปรากฏเป็นภาพต่อเนื่องเหมือนการบันทึกสัญญาณไฟฟ้าหัวใจบนกระดาษกราฟ และยังสามารถหยุดภาพไว้หนึ่งเนื้อตรวจดูรูปร่างของสัญญาณได้ สำหรับอัตราการเต้นของหัวใจ คำนวณจากคาบเวลาระหว่างคลื่นไฟฟ้าหัวใจโดยใช้ไมโครโพรเซสเซอร์คำนวณ ส่วนสัญญาณหายใจและอัตราการหายใจจะวัดจากการเปลี่ยนแปลงของอิมพีแดนซ์ที่เกิดขึ้นขณะมีการเคลื่อนที่ขึ้นลงของหน้าอกผู้ป่วย สำหรับการนำออกแสดงบนจอภาพก็ใช้หลักการเดียวกับที่ใช้กับสัญญาณหัวใจ

เอกสารนี้เป็นเอกสารที่สงวนไว้สำหรับการใช้งานเพื่อการศึกษาเท่านั้น ไม่อนุญาตให้นำไปใช้ประโยชน์ด้านการค้า ไม่ว่าจะกรณีใดๆทั้งสิ้น อีกทั้งห้ามมิให้ตัดแปลงเนื้อหา และต้องอ้างอิงถึงเจ้าของเอกสารทุกครั้งที่มีการนำไปใช้

2 Channels Bedside ICU Monitor

Krit Wongrujira
Keerati Treesuwan
Chirasak Prasitsak
Chalernpol Siripornmongkolchai
Prapakorn Suwana, Advisor

1988

Abstract.

The two channels bedside ICU monitor, an inevitable device for ICU section, manifests two quintessence of cardiac signals concomitantly on the monitor. One channel displays cardiac signal with cardiac rate and another does respiratory signal with respiratory rate.

Operating principle is amplifying the small low-frequency cardiac signal from the patient's body. The amplified signals are converted from analog to digital for writing in RAM. Then these digital signals are converted to be higher frequency analog signal for scanning on the monitor.

The advantage of this operating is the signal on the monitor which could display continuously like recording on the electrocardiographic paper. Moreover, it could be frozen the waveform for prognosis. The cardiac rate can be calculated from period of the cardiac rate by microprocessor. The respiratory signal and respiratory rate can be measured from impedance varying which it is detected from

the electrode and this signal displaying is look like cardiac signal.

ไม่ว่ากรณีใดๆทั้งสิ้น อีกทั้งห้ามมิให้ตัดแปลงเนื้อหา และต้องอ้างอิงถึงเจ้าของเอกสารทุกครั้งที่มีการนำไปใช้

สารบัญ

		หน้า
บทที่ 1	บทนำ	1.
บทที่ 2	ทฤษฎี	2.
	2.1 ลักษณะของสัญญาณไฟฟ้าหัวใจ	2.
	2.2 การแสดงสัญญาณคลื่นไฟฟ้าหัวใจ	3.
	2.3 หลักการทำงานเบื้องต้นของโทรทัศน	4.
	2.4 หลักการแสดงผลตัวหนังสือบนจอภาพ	6.
	2.5 วงจรภาคปริแอมป์	10.
บทที่ 3	การทำงานของวงจร	15.
	3.1 วงจรขยายสัญญาณแบบอินสตรูเมนชั่น	15.
	3.2 วงจรขยายแบบไม่กลับศักดาไฟฟ้า	16.
	3.3 วงจรกรองสัญญาณความถี่ต่ำผ่าน	16.
	3.4 วงจรมอดดูเลชั่นแบบความถี่	17.
	3.5 วงจรออปโต คัปเปิ้ล	18.
	3.6 วงจรโมโนสเตเบิล มัลติไวเบรเตอร์	18
	3.7 วงจรดีมอดดูเลชั่น	19.
	3.8 วงจรบีเฟออร์	19.
	3.9 ส่วนแสดงผลออกทางจอภาพ	20.
	3.9.1 ภาคกำเนิดสัญญาณพัลส์	20.
	3.9.2 วงจรส่วนสวิทช์ ออน-ออฟและฟลายแบคคทรานส์ฟอร์มเมอร์	21
	3.9.3 วงจรขยายสัญญาณภาพ	22.
	3.9.4 ภาคขยายสัญญาณของขดลวดหักเห	23.
	3.10 วงจรแบนด์พาสฟิลเตอร์	25.
	3.11 วงจรตรวจจับยอดคลื่น	25.
	3.12 วงจรนับคาบเวลาระหว่างพัลส์	26
	3.13 วงจรตรวจจับการเปลี่ยนแปลงของเฟส	26

	หน้า
3.15 วงจรขยายความแตกต่าง	28.
3.16 วงจรแบนพาสนิลเตอร์	28.
3.17 วงจรหน่วยความจำ	30.
3.18 วงจร R-2R LADDER	31.
3.19 วงจรสร้างสัญญาณเรสเตอร์	31.
3.20 การทำงานของส่วนควบคุม	32.
3.21 วงจรควบคุมการทำงาน	32.
บทที่ 4 การทดลองและผลการทดลอง	49.
บทที่ 5 สรุป	52.
ภาคผนวก	53.
กิตติกรรมประกาศ	54.
หนังสืออ้างอิง	55.

เอกสารนี้เป็นเอกสารที่สงวนไว้สำหรับการใช้งานเพื่อการศึกษาเท่านั้น ไม่อนุญาตให้นำไปใช้ประโยชน์ด้านการค้า
ไม่ว่ากรณีใดๆทั้งสิ้น อีกทั้งห้ามมิให้ดัดแปลงเนื้อหา และต้องอ้างอิงถึงเจ้าของเอกสารทุกครั้งที่มีการนำไปใช้

บทที่ 1 บทนำ

เครื่องวัดสัญญาณไฟฟ้าหัวใจ และหายใจ 2 ช่องสัญญาณนี้ได้ถูกสร้างขึ้นมาเพื่อสนองความต้องการของแพทย์ พยาบาล และเจ้าหน้าที่ประจำห้องไอ ซี ยู และเพื่อสะดวกต่อการปฏิบัติงาน โดยเป็นอุปกรณ์ซึ่งทำหน้าที่ช่วยในการวินิจฉัยอาการของโรคให้แก่แพทย์ อีกทั้งยังบอกให้ทราบถึงการทำงานของหัวใจ การหายใจ และระบบไหลเวียนของเลือดด้วย ดังนั้นเพื่อการพัฒนาเทคโนโลยีทางด้านเครื่องแพทย์ และลดการนำเข้าเครื่องมือจากต่างประเทศ จึงเป็นสาเหตุสำคัญในการศึกษา และพัฒนาอุปกรณ์ทางอิเล็กทรอนิกส์ ที่มีจำหน่ายในประเทศให้มีประสิทธิภาพดีใกล้เคียงกับของต่างประเทศ

ในการที่จะทำการออกแบบระบบและการสร้างวงจรนั้น ควรจะทำความเข้าใจเกี่ยวกับร่างกายของมนุษย์เสียก่อน เนื่องจากระบบการทำงานของร่างกายมนุษย์ และระบบไฟฟ้ามีความสัมพันธ์กันอย่างยิ่ง รวมทั้งหลักการเบื้องต้นในการแสดงภาพของคลื่นไฟฟ้าหัวใจ และการหายใจ บนจอภาพขาวดำที่ใช้ในโครงการนี้

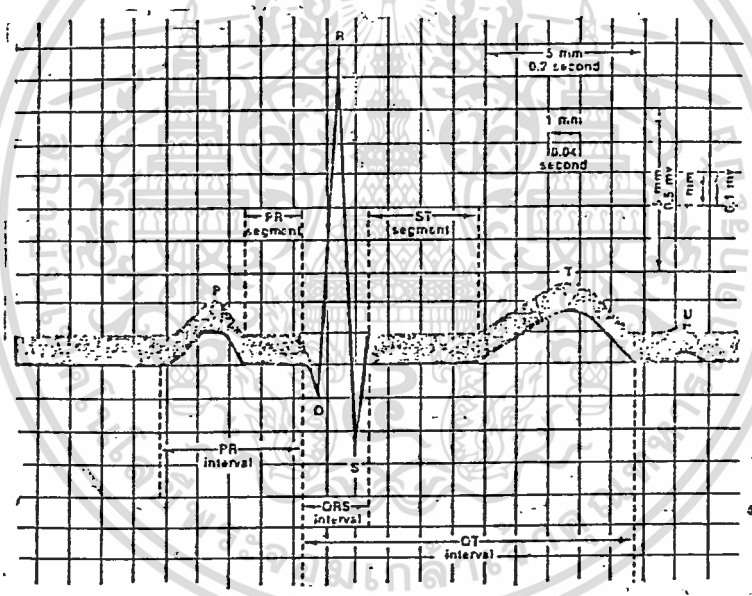
เอกสารนี้เป็นเอกสารที่สงวนไว้สำหรับการใช้งานเพื่อการศึกษาเท่านั้น ไม่อนุญาตให้นำไปใช้ประโยชน์ด้านการค้า
ไม่ว่ากรณีใดๆทั้งสิ้น อีกทั้งห้ามมิให้ดัดแปลงเนื้อหา และต้องอ้างอิงถึงเจ้าของเอกสารทุกครั้งที่มีการนำไปใช้

บทที่ 2 ทฤษฎี

2.1 ลักษณะของสัญญาณไฟฟ้าหัวใจ

หัวใจเปรียบเสมือนเครื่องกำเนิดไฟฟ้าเครื่องหนึ่ง ซึ่งบรรจุอยู่ในก้อนตัวนำ โดยศักดาไฟฟ้าที่เกิดขึ้นจะมีการกระจายออกจากขั้วบวกและขั้วลบไปตามส่วนต่างๆของร่างกาย เหมือนเป็นอิเล็กทริกไดโพล (ELECTRIC DIPOLE) และเราสามารถวัดศักดาไฟฟ้าตกร่วมระหว่างจุดใดๆที่อยู่บนผิวหนังร่างกายได้

สัญญาณไฟฟ้าหัวใจ (ELECTROCARDIOGRAM) เป็นค่าศักดาไฟฟ้าซึ่งวัดได้จากจุดต่างๆกันในร่างกาย โดยสัญญาณไฟฟ้าหัวใจของคนปกติ เมื่อวัดโดยการติดอิเล็กโทรด (ELECTRODE) ที่แขนขวา แขนซ้าย และขาขวา ดังวิธีลีด 1 (LEAD 1) คลื่นสัญญาณไฟฟ้าหัวใจที่วัดได้ จะมีลักษณะดังรูป



แต่ละส่วนของสัญญาณไฟฟ้าที่วัดได้นี้ จะสัมพันธ์กับการทำงานในช่วงต่างๆของหัวใจใน 1 รอบการทำงาน โดยสัญญาณคลื่น P เกิดจากการดีโพลาไรเซชัน (DEPOLARIZATION) ของหัวใจห้องบนทำให้หัวใจห้องบนบีบตัว

สัญญาณคลื่น QRS เกิดจากการดีโพลาไรเซชัน ของหัวใจห้องล่างทำให้หัวใจห้องล่างบีบตัว (ความสูงของคลื่น R ในหัวใจคนปกติ จะมีค่าประมาณ 1 มิลลิโวลท์)

สัญญาณคลื่น T เกิดจากการรีโพลาไรเซชัน (REPOLARIZATION) ของหัวใจห้องล่าง ทำให้หัวใจห้องล่างคลายตัวออก

เอกสารนี้เป็นเอกสารที่สงวนไว้สำหรับการใช้งานเพื่อการศึกษาเท่านั้น ไม่อนุญาตให้เผยแพร่โดยไม่ได้รับอนุญาต
ไม่ว่ากรณีใดๆทั้งสิ้น อีกทั้งห้ามมิให้ตัดแปลงเนื้อหา และต้องอ้างอิงถึงเจ้าของเอกสารทุกครั้งที่มีการนำไปใช้

(สำหรับการรีโพลาริเซชันของหัวใจห้องบนอาจเกิด
ขณะที่หัวใจห้องล่างบีบตัว คลื่นที่เกิดขึ้นจึงหายไป
คลื่น QRS)

สัญญาณคลื่น U ไม่มีการกล่าวถึง

โดยในการวินิจฉัยโรคของแพทย์และพยาบาลนั้น จะวินิจฉัยโดยการตรวจสอบการ
ทำงานของหัวใจผู้ป่วยว่า มีสภาพผิดปกติอย่างไร โดยดูจากความผิดปกติแตกต่างของรูปคลื่นสัญญาณ
ไฟฟ้าหัวใจ ที่แตกต่างไปจากสัญญาณไฟฟ้าหัวใจของคนปกติ

2.2 การแสดงสัญญาณคลื่นไฟฟ้าหัวใจ

คุณสมบัติของสัญญาณคลื่นไฟฟ้าหัวใจที่วัดได้จะมีค่าดังนี้

การเปลี่ยนแปลงของศักดาไฟฟ้าอยู่ในช่วง	0.5-5 มิลลิโวลต์
มีความถี่อยู่ในช่วง	0.5-200 Hz

ซึ่งจะเห็นได้ว่า มีขนาดของสัญญาณเล็กมากเมื่อที่จะแสดงให้เห็นบนจอมอนิเตอร์ ซึ่ง
ต้องการขนาดของสัญญาณประมาณ 1 โวลต์ จึงจำเป็นต้องขยายส่วนสัญญาณนี้ก่อน เพื่อให้เหมาะ
สมกับการนำมาใช้งานในส่วนอื่นๆต่อไปรวมทั้งการนำสัญญาณมาแสดงด้วย

การแสดงสัญญาณไฟฟ้าหัวใจ สามารถแสดงได้จาก

1. โดยการบันทึกคลื่นสัญญาณที่วัดได้ลงบนกระดาษกราฟ ซึ่งออกแบบสำหรับใช้งานนี้
โดยเฉพาะ สำหรับการมอนิเตอร์คนไข้ซึ่งต้องกระทำต่อเนื่องเป็นเวลานานนั้น การบันทึกลงบน
กระดาษกราฟจะไม่เหมาะสม เพราะจะต้องสิ้นเปลืองกระดาษเป็นจำนวนมาก อีกทั้งการตรวจสอบ
ยังเป็นไปด้วยความลำบากด้วย

2. การแสดงสัญญาณไฟฟ้าจากร่างกายทางออสซิลโลสโคป (OSCILLOSCOPE)
ที่จอภาพมีการจางหายช้า แต่เนื่องจากคลื่นสัญญาณไฟฟ้ามีความถี่ต่ำดังนั้นเมื่อนำมาแสดงจะเห็นจุด
เคลื่อนที่ไป ไม่สามารถเห็นเป็นรูปของคลื่นสัญญาณ ซึ่งยากต่อการวินิจฉัยโรค และวิธีนี้ไม่นิยมนำ
ไปใช้งานจริง เพราะเห็นการเปลี่ยนแปลงสัญญาณไม่ต่อเนื่อง และ ต้องการการใช้จอภาพแบบ นิ
เศษที่มีให้เลือกได้จำกัด

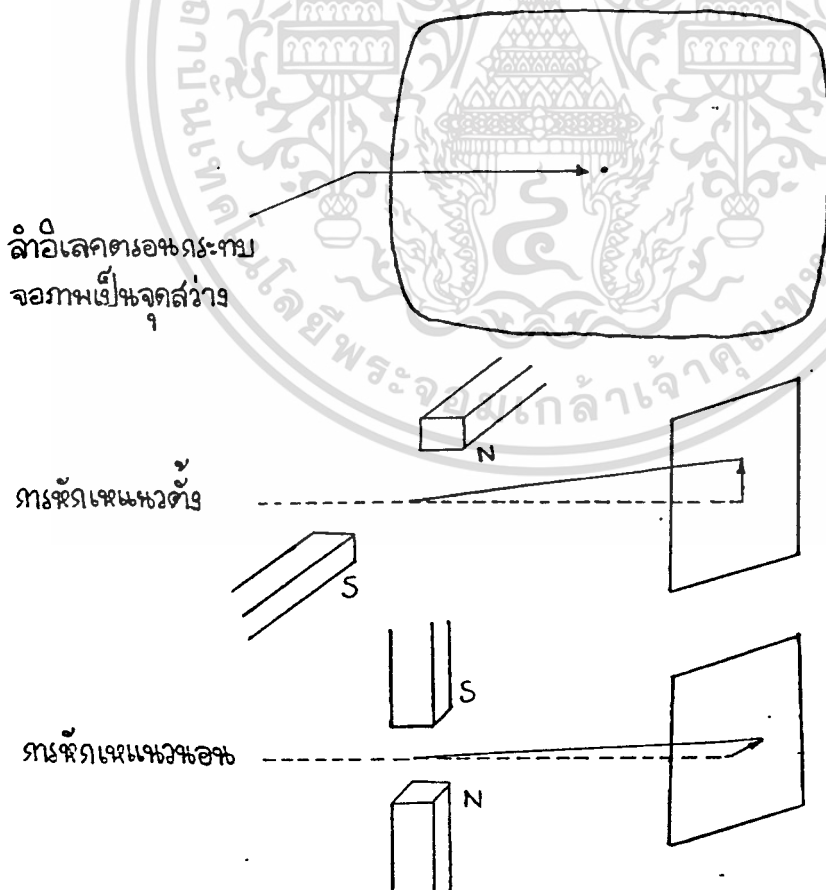
3. โดยการนำจอภาพโทรทัศน์ (TV. MONITOR) มาใช้แสดงสัญญาณโดยการนำสัญญาณ
ที่วัดได้มาผ่านวงจรแปลงสัญญาณอนาลอกเป็นดิจิตอล (ANALOG TO DIGITAL CONVERTER)
บันทึกลงในหน่วยความจำโดยการซมปลิงสัญญาณบางส่วน จากนั้นจึงเปลี่ยนค่าที่เก็บไว้มาแปลง
กลับเป็นสัญญาณอนาลอก และแปลง เป็นสัญญาณวิดีโอ แสดงออกทางจอภาพซึ่งจะเห็นภาพการ
ไม่ว่ากรณีใดๆทั้งสิ้น อีกทั้งห้ามมิให้ตัดแปลงเนื้อหา และต้องอ้างอิงถึงเจ้าของเอกสารทุกครั้งที่มีการนำไปใช้

เปลี่ยนแปลงของสัญญาณอย่างต่อเนื่องสลับกับการสร้างภาพแบบไทรทัศน์ เพื่อแสดงตัวหนังสือ อัตราการเต้นของหัวใจและหายใจ โดยแสดงสลับกันอย่างรวดเร็ว จนเห็นเป็นภาพเดียว

2.3 หลักการทำงานเบื้องต้นของไทรทัศน์

การเกิดภาพบนจอภาพไทรทัศน์ขาวดำนั้น เป็นการณ์ผสมผสานกันของจุดดำและจุดขาวที่มีความเข้มที่ต่างกัน ซึ่งการเกิดจุดขาวและจุดดำ ที่มีระดับความเข้มที่ต่างกันเกิดการจุดไล่หลอดให้เกิดความร้อน ทำให้อิเลคตรอนที่คาโทด (CATHODE) สามารถหลุดออกมาและสามารถวิ่งไปกระทบด้านหน้าของจอภาพที่ฉาบสารเรืองแสงไว้ ทำให้เกิดจุดสว่างบนจอภาพ โดยด้านหน้าของจอภาพนั้นจะถูกต่อเข้ากับไฟบวก แรงดันไฟฟ้าสูง (HIGH VOLTAGE) โดยความสว่างของจุดสว่างนี้ จะถูกกำหนดโดยศักดาไฟฟ้าที่คาโทด

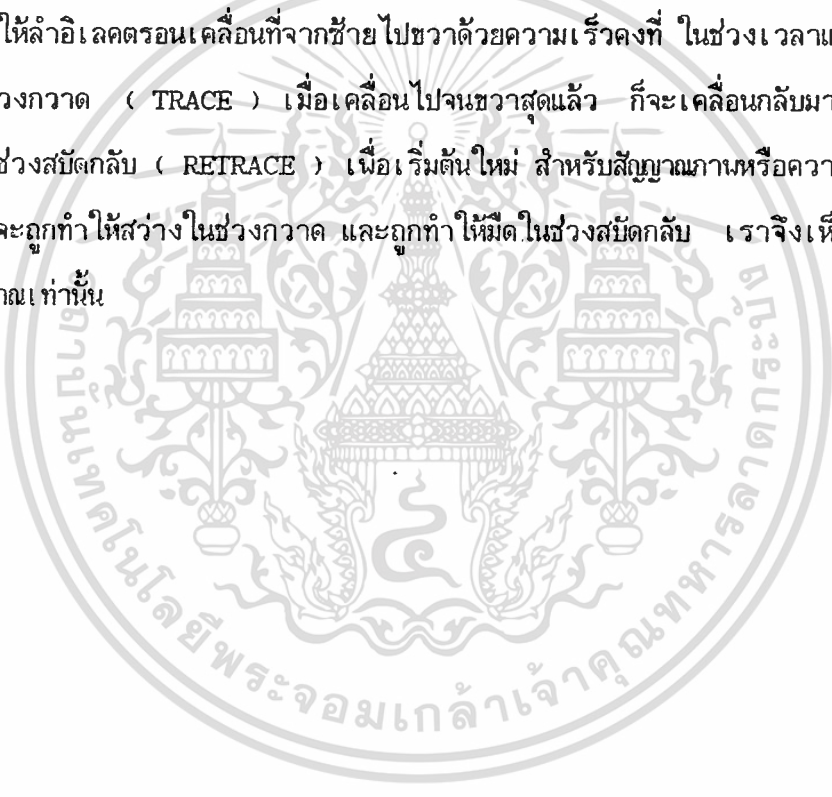
การควบคุมตำแหน่งของจุดที่เกิดบนจอภาพ ทำได้โดยการให้หลักการหักเหของลำอิเล็กตรอนด้วยสนามแม่เหล็กดังรูป



ภาพแสดง การหักเหด้วยสนามแม่เหล็ก

เอกสารนี้เป็นเอกสารที่สงวนลิขสิทธิ์ไว้เพื่อใช้ในการเรียนการสอน โดยไม่หวังกำไร หากมีข้อผิดพลาดประการใดขออภัยเป็นอย่างสูง และต้องอ้างอิงถึงเจ้าของเอกสารทุกครั้งที่มีการนำไปใช้

ในการสร้างภาพของจอโทรทัศน์ โดยการควบคุมการหักเหของลำอิเล็กตรอน ให้เกิดเป็นภาพแสดงบนจอภาพตามความต้องการนั้น เพราะฉะนั้นในการควบคุมกระแสเพื่อสร้างสนามแม่เหล็ก ซึ่งกระแสนี้จะผ่านเข้าไปในขดลวดที่พันอยู่รอบ ๆ คอหลอดภาพซึ่งเรียกว่าขอลวดหักเห (DEFLECTION YOKE) ซึ่งแบ่งเป็นการควบคุมการหักเหในแนวตั้ง (VERTICAL DEFLECTION) และการหักเหในแนวนอน (HORIZONTAL DEFLECTION) การกวาดภาพจะกวาดภาพเป็นเส้นแนวขวางเรียงกันจนเต็มจอ เป็นพื้นที่ซึ่งเรียกว่า ราสเตอร์ (RASTER) โดยการให้สัญญาณฟันเลื่อย (SAWTOOTH WAVE) ขดลวดหักเหในแนวนอนจะมีสัญญาณฟันเลื่อยความถี่สูงควบคุม ส่วนในแนวตั้งจะมีสัญญาณฟันเลื่อยความถี่ต่ำควบคุมตำแหน่งของลำอิเล็กตรอนในแนวตั้ง เพื่อมาควบคุมให้ลำอิเล็กตรอนเคลื่อนที่จากซ้ายไปขวาด้วยความเร็วคงที่ ในช่วงเวลาแสดงสัญญาณจะเรียกว่าช่วงกวาด (TRACE) เมื่อเคลื่อนไปจนขวาสุดแล้ว ก็จะเคลื่อนกลับมาทางซ้ายจนสุดเรียกว่า ช่วงสับกลับ (RETRACE) เพื่อเริ่มต้นใหม่ สำหรับสัญญาณภาพหรือความสว่างของจุดบนจอภาพจะถูกทำให้สว่างในช่วงกวาด และถูกทำให้มืดในช่วงสับกลับ เราจึงเห็นเฉพาะเส้นนี้แสดงสัญญาณเท่านั้น



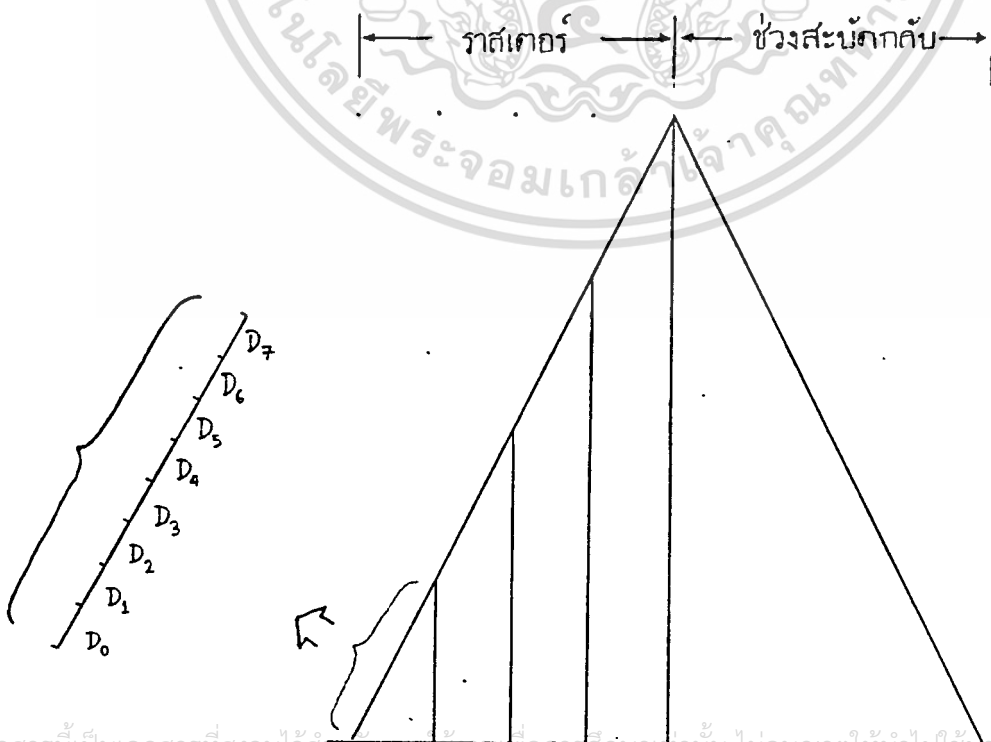
2.4 หลักการแสดงตัวหนังสือบนจอภาพ

การแสดงตัวหนังสือบนจอภาพทำได้โดยควบคุมความสว่างในบริเวณที่เป็นราสเตอร์ (RASTER) สำหรับตัวหนังสือที่จะนำออกแสดงบนจอภาพ ได้แก่ ตัวอักษรภาษาอังกฤษ ตัวอักษรภาษาไทย และตัวเลขรูปแบบของตัวหนังสือดังกล่าวถูกออกแบบไว้ดังในรูปที่ 2.4.2 โดยแต่ละตัวหนังสือจะมีรหัสเป็นของตัวเองเรียกว่าคาแรคเตอร์ โค้ด (CHARACTER CODE) ซึ่งจะถูกเก็บไว้ในคาแรคเตอร์ เจนเนอเรเตอร์ (CHARACTER GENERATOR) และรหัสของตัวหนังสือแต่ละตัว จะถูกแทนด้วยเลขฐานสองขนาด 4 บิต

ตัวหนังสือแต่ละตัวจะประกอบด้วยข้อมูลทั้งหมด 512 จุดหรือ 64 ไบท์ รูปแบบของตัวหนังสือที่ได้สร้างขึ้นนี้ จะถูกเก็บไว้ในอีพรอม (EPROM) และเมื่อต้องการอ่านออกมาจะใช้ชิพท์ รีจิสเตอร์ (SHIFT REGISTER) ซึ่งจะทำหน้าที่ในการแปลงข้อมูลที่ส่งจาก EPROM ในแบบขนาน มาเป็นแบบอนุกรม

ในการนำแสดงออกทางจอภาพ ตัวหนังสือจะถูกแปลงเป็นสัญญาณทางไฟฟ้า ป้อนเข้าขดลวดทางแนวตั้ง สำหรับแต่ละตัวหนังสือนั้น จะประกอบด้วยเส้นเทรซ (TRACE) 16 เส้น นั่นคือ จะต้องมีเส้นรีเทรซ (RETRACE) 16 เส้นด้วย

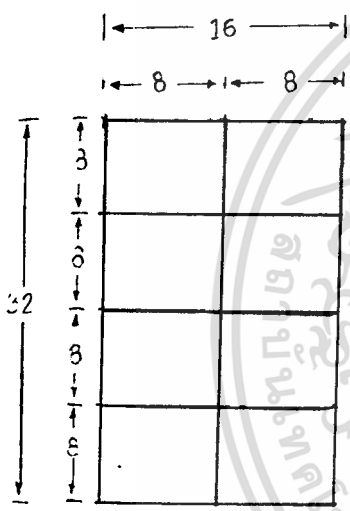
เส้นเทรซแต่ละเส้นประกอบด้วยข้อมูล 4 ไบท์ (32 บิต) ซึ่งถูกส่งมาจากคาแรคเตอร์ เจนเนอเรเตอร์ ดังแสดงในรูปที่ 2.4.1



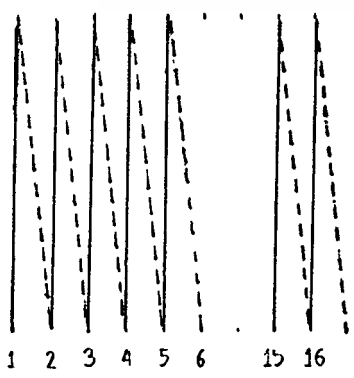
เอกสารนี้เป็นเอกสารที่สงวนไว้สำหรับใช้ภายในเท่านั้น ไม่อนุญาตให้ให้นำไปใช้ประโยชน์ด้านการค้า
ไม่ว่ากรณีใดๆทั้งสิ้น อีกทั้งห้ามมิให้ตัดแปลงเนื้อหา และต้องอ้างอิงถึงเจ้าของเอกสารทุกครั้งที่มีการนำไปใช้
ภาพแสดง ข้อมูลที่เลือกออกจากชิพท์ รีจิสเตอร์ที่ละ 1 บิต

ส่วนเส้นรีเทรช จะถูกแปลงค้สัญญาณภาพในช่วงสับดกลับ กล่าวคือในช่วงสับดกลับจะไม่มีการเปลี่ยนแอดเดรสของข้อมูลที่ส่งมา โดยชิพท์ รีจิสเตอร์ จะทำให้สัญญาณมืดในช่วงสับดกลับเอง สำหรับสัญญาณภาพตัวหนังสือที่ส่งมาจากคาแรคเตอร์ เจนเนอเรเตอร์ จะมีสองสภาวะคือ ถ้าบิทที่ส่งมาเป็น "หนึ่ง" จะให้สัญญาณภาพสว่าง แต่ถ้าเป็น "ศูนย์" จะให้สัญญาณภาพมืด

ในส่วนที่เป็นราสเตอร์ของแต่ละช่องสัญญาณ จะประกอบด้วยช่องแสดงตัวหนังสือ 8 ช่อง แยกเป็น 1 ช่องสำหรับแสดงว่าเป็นช่องแสดงสัญญาณหัวใจหรือสัญญาณหายใจ 3 ช่องสำหรับแสดงอัตรา และ 4 ช่องสำหรับ " ครึ่ง : นาที " นั่นคือ 1 ช่องสัญญาณจะประกอบด้วยเส้นเทรช 128 เส้น



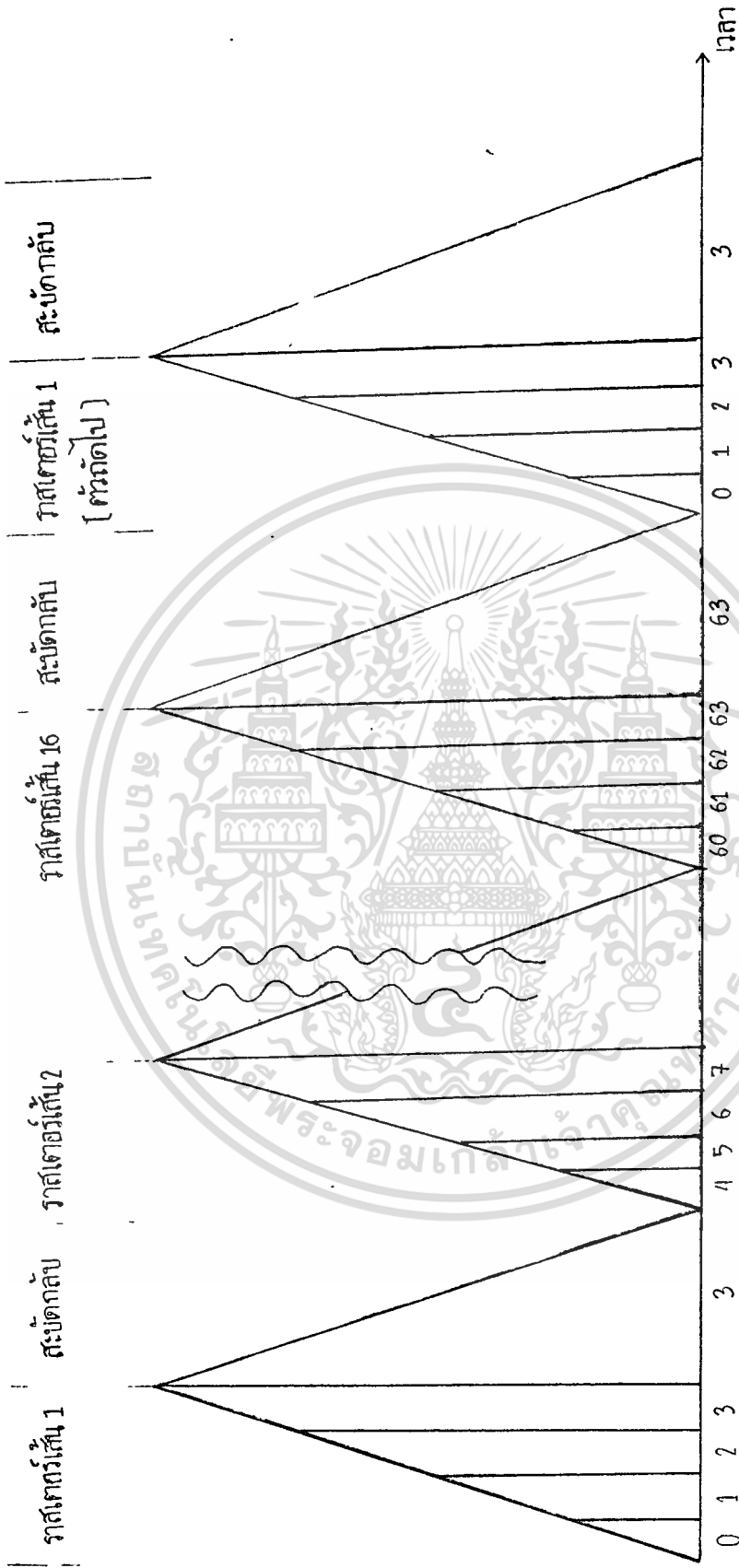
ภาพแสดงช่องที่ผู้ใช้รับรูปแบบตัวอักษร 1 ตัว



ภาพแสดงการตั้งข้อมูลเพื่อโอนเข้าแอดเดรสหลักแอดเดรสคั้งส์รีจิสเตอร์ขนาด 1 ตัวอักษร

— เส้นเทรช
 - - - - เส้นรีเทรชหรือแยกคั้งส์

เอกสารนี้เป็นเอกสารที่สงวนไว้สำหรับการใช้งานเพื่อการศึกษาเท่านั้น ไม่นอนุญาตให้นำไปใช้ประโยชน์ด้านการค้าไม่ว่ากรณีใดๆทั้งสิ้น อีกทั้งห้ามมิให้ดัดแปลงเนื้อหา และต้องอ้างอิงถึงเจ้าของเอกสารทุกครั้งที่มีการนำไปใช้



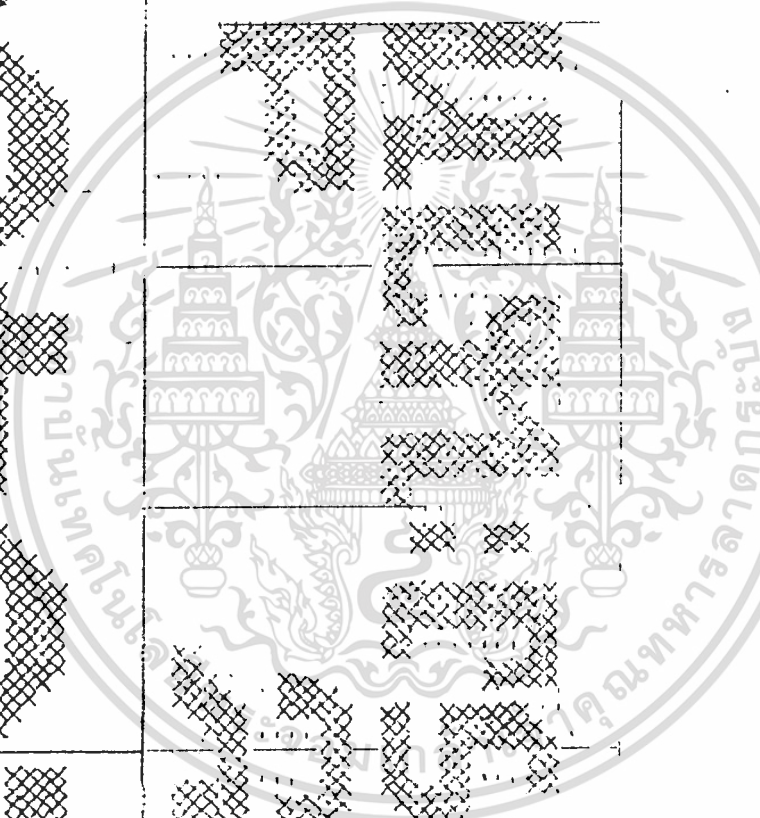
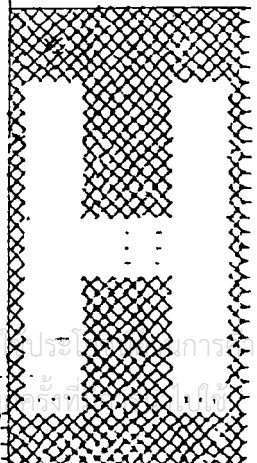
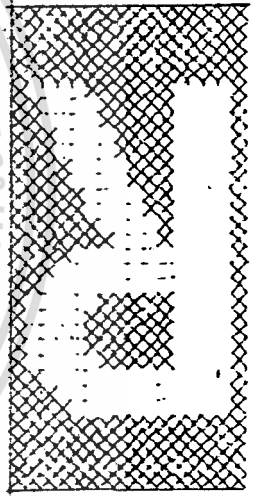
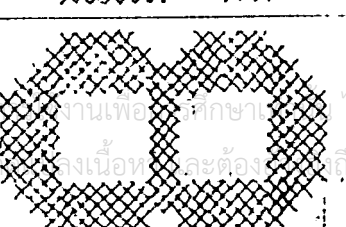
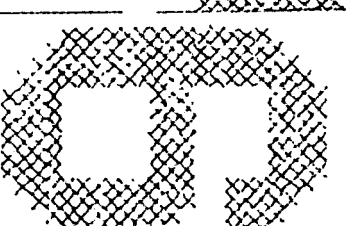
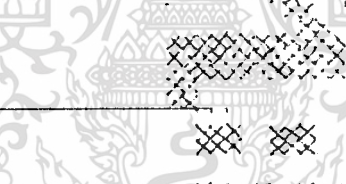
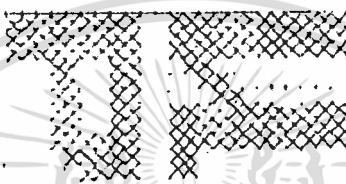
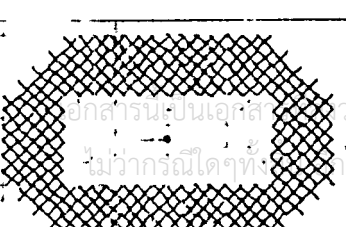
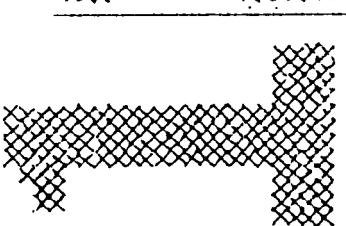
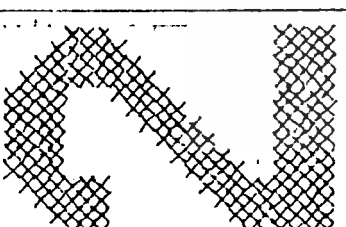
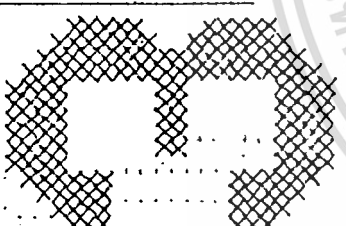
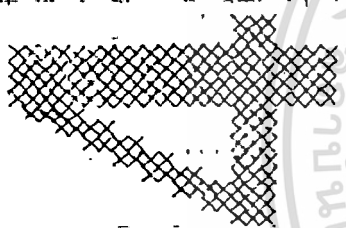
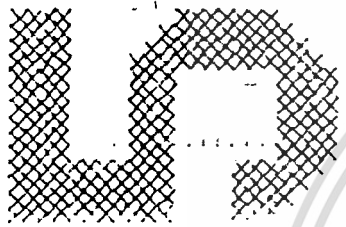
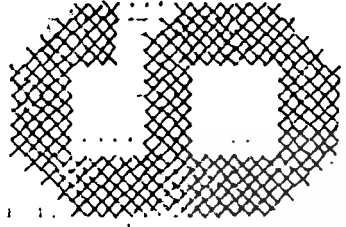
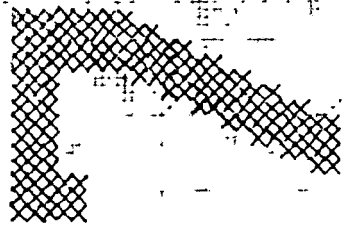
รูปที่ 2.4.1

ภาพแสดงข้อมูลจากกราฟแสดง เคนเหนือเวรเวรขนาด 1 คิวคักกร

เอกสารนี้เป็นเอกสารที่สงวนไว้สำหรับการใช้งานเพื่อการศึกษาเท่านั้น ไม่อนุญาตให้นำไปใช้ประโยชน์ด้านการค้า
ไม่ว่ากรณีใดๆทั้งสิ้น อีกทั้งห้ามมิให้ตัดแปลงเนื้อหา และต้องอ้างอิงถึงเจ้าของเอกสารทุกครั้งที่มีการนำไปใช้



หน้า 242



2.5 วงจรภาคปริแอมป์ (PRE-AMP)

วงจรภาคปริแอมป์เป็นวงจรภาคแรกของเครื่อง 2-CHANNEL BEDSIDE ICU MONITOR ทำหน้าที่ขยายสัญญาณที่ได้รับจากชีวอิเล็กโทรด ซึ่งติดไว้บริเวณผิวหนังให้ได้สัญญาณหัวใจ และสัญญาณหายใจที่มีขนาดเพียงพอที่จะสามารถนำไปใช้ในวงจรส่วนต่อไปได้ สามารถแบ่งวงจรออกได้เป็น 2 ส่วนดังนี้คือ

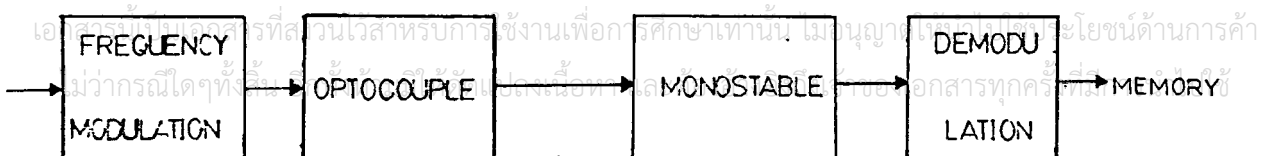
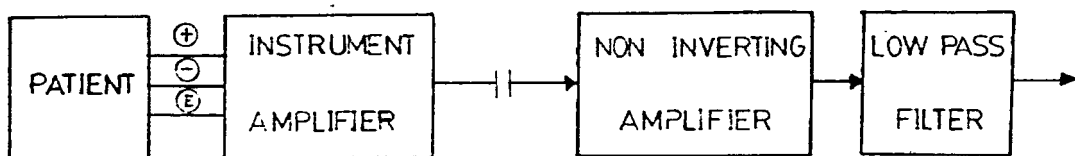
1. ภาคขยายสัญญาณหัวใจ
2. ภาคขยายสัญญาณหายใจ

เนื่องจากวงจรถ่ายสัญญาณปริแอมป์ เป็นวงจรส่วนที่จะต้องติดต่อกับร่างกายของผู้ป่วย ดังนั้นจึงต้องพิจารณาถึงสิ่งต่อไปนี้

1. ปัญหาเกี่ยวกับความต้านทานที่รอยต่อระหว่างชีวอิเล็กโทรดกับผิวหนัง ที่มีค่าค่อนข้างสูง ดังนั้นวงจรขยายที่ใช้จึงต้องมีค่า อินพุตอิมพีแดนซ์ (INPUT IMPEDANCE) สูงด้วยทั้งนี้เพื่อป้องกันปัญหาเรื่องความไม่สมดุลของวงจร (UNBALANCE) และ การลดทอนของสัญญาณ (ATTENUATION) ที่ป้อนเข้าสู่ภาคอินพุตของวงจร
2. ปัญหาเกี่ยวกับการรบกวนของสัญญาณฮัม (AC HUM) ซึ่งสามารถแก้ไขได้ โดยการใช่วงจรขยายสัญญาณที่มีสัญญาณรบกวนต่ำ
3. เกี่ยวกับความปลอดภัยของผู้ป่วย จำเป็นต้องมีวงจรที่สามารถป้องกันอันตรายที่อาจจะเกิดแก่ผู้ป่วย ในกรณีที่มีการเสียบปลั๊กจากเครื่องวัดสัญญาณหัวใจและหายใจ เข้าสู่ร่างกาย โดยแต่ละภาคจะมีหลักการในการทำงาน ดังต่อไปนี้

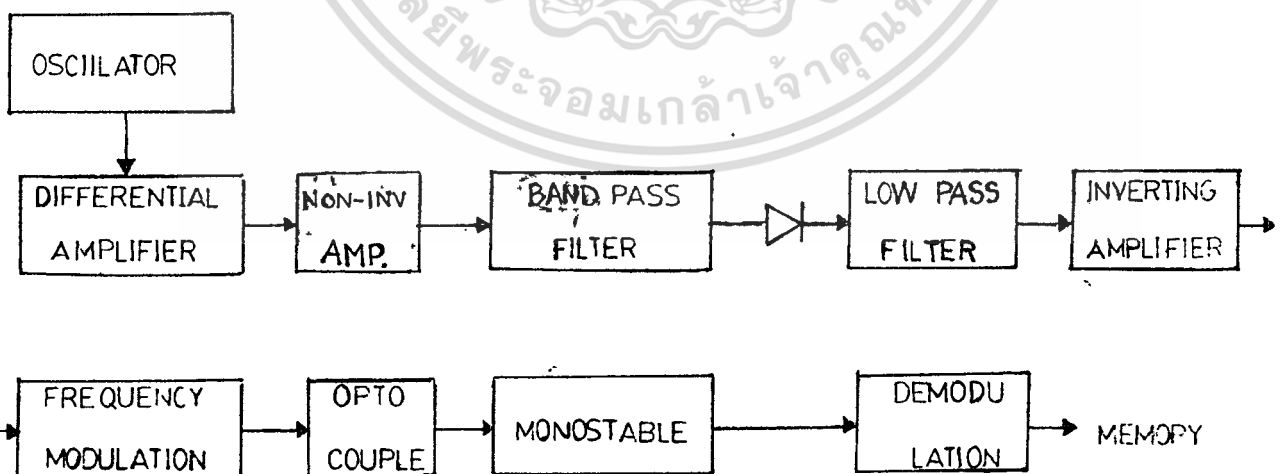
การทำงานของวงจรถ่ายสัญญาณหัวใจ

วงจรถ่ายสัญญาณภาคแรกนี้จะใช้เป็นวงจรถ่ายสัญญาณแบบอินสตรูเมนเตชัน เพราะขนาดของสัญญาณ ECG ซึ่งเป็นสัญญาณไฟฟ้าหัวใจที่มีขนาดเล็กมาก ประมาณ 2 มิลลิโวลต์ แต่ว่ามีสัญญาณคอมมอนโหมดที่เกิดจากสัญญาณฮัมสูงมาก วงจรถ่ายสัญญาณหัวใจมีแผนผัง ไคโอะแกรม (BLOCK DIAGRAM) แสดงการทำงานของส่วนต่างๆ ดังต่อไปนี้



จากบล็อกไดอะแกรมเราสามารถอธิบายได้ดังนี้คือ สัญญาณหัวใจจากร่างกายของ
 ผู้ป่วยซึ่งมีขนาดเล็กและมีความถี่ต่ำ จะถูกขยายโดยวงจรอินสตรูเมนต์ขึ้น แอมพลิฟายเออร์ (
 INSTRUMENTATION AMPLIFIER) ทำหน้าที่ขยายสัญญาณหัวใจซึ่งถูกป้อนเข้าที่อินพุทของวงจร
 แบบดิฟเฟอเรนเชียล (DIFFERENTIAL MODE) ส่วนสัญญาณรบกวน (50 Hz) เข้าที่อิน
 พุทแบบคอมมอน (COMMON MODE) จะถูกกำจัดไป สัญญาณที่ได้จะถูกขยายให้มีขนาดใหญ่ขึ้นโดย
 วงจรอินเวอร์ตติ้งแอมพลิฟายเออร์ (NON-INVERTING AMPLIFIER) และถูกแยกเอาแต่
 เฉพาะสัญญาณหัวใจ โดยวงจรกรองความถี่ต่ำผ่าน (LOW PASS FILTER) แต่เพื่อป้องกันปัญหา
 เกี่ยวกับกระแสย้อนกลับเข้าสู่ร่างกายซึ่งอาจทำให้เกิดอันตรายแก่ผู้ป่วยได้ จึงต้องแยกไฟเลี้ยง
 วงจรกับวงจรภาคถัดไป ทำโดยการรวมสัญญาณทางความถี่ (FREQUENCY MODULATION)
 แล้วส่งผ่านสัญญาณด้วยออปโตคัปปลิง (OPTO-COUPLING) สัญญาณที่รับได้จะถูกทำให้มีความ
 กว้างของพัลส์คงที่โดยวงจรโมโนสเตเบิล (MONOSTABLE MULTIVIBRATOR) จากนั้นจะถูก
 แยกเอาความถี่พาหะ (CARRIER) ออก (DEMODULATION) แล้วผ่านวงจรกรองความถี่ต่ำผ่าน
 ได้สัญญาณหัวใจออกมา เพื่อทำการส่งไปยังวงจรภาคต่อไป
การทำงานของวงจรขยายสัญญาณหัวใจ

วงจรขยายสัญญาณหัวใจมีแผนผัง ไดอะแกรม แสดงการทำงานของส่วนต่างๆดังนี้



เอกสารนี้เป็นเอกสารแผนผังแสดง BLOCK DIAGRAM ของภาค RPE-AMP ในส่วนสัญญาณหัวใจ ซึ่งดำเนินการค้า
 ไม่ว่าจะกรณีใดๆทั้งสิ้น อีกทั้งห้ามมิให้ตัดแปลงเนื้อหา และต้องอ้างอิงถึงเจ้าของเอกสารทุกครั้งที่มีการนำไปใช้

หลักการวัดสัญญาณหัวใจคือ วัดการเปลี่ยนแปลงอิมพีแดนซ์ ที่เกิดขึ้นที่จุดต่อระหว่าง ขั้วไฟฟ้าและผิวหนังบริเวณหน้าอกที่มีการหายใจกระเพื่อมขึ้นลงของผู้ป่วย เราจะใช้วงจรออสซิลเลเตอร์ (OSCILATOR) เป็นตัวสร้างสัญญาณความถี่สูงเพื่อไปมอดดูเลท (MODULATE) กับสัญญาณหัวใจแล้วผ่านวงจรขยายความแตกต่างซึ่งจะขยายสัญญาณความถี่สูงที่มอดดูเลทแล้ว ผ่านวงจรแบนด์พาสฟิลเตอร์เพื่อให้มีความถี่ผ่านเฉพาะช่วงความถี่ของออสซิลเลเตอร์ นั่นคือที่ความถี่นี้สัญญาณจะถูกขยายให้มีขนาดใหญ่ขึ้น จากนั้นจะนำสัญญาณไปตัดไฟตรงที่ไปอัสวงจรแบนด์พาสฟิลเตอร์ออก โดยใช้วงจรกรองสัญญาณความถี่ต่ำ แล้วนำสัญญาณที่ได้ไปผ่านวงจร เร็คติไฟเออร์ (RECTIFIER) เพื่อกรองให้สัญญาณเรียบ และนำไปผ่านวงจรกรองสัญญาณความถี่ต่ำ เพื่อให้ได้ไฟตรงที่เรียบขึ้น ในตอนนี้สัญญาณที่ได้จะเป็นไฟตรง และมีการเปลี่ยนแปลงศักดาตามการเปลี่ยนแปลงของอิมพีแดนซ์ ที่เกิดขึ้นที่ขั้วไฟฟ้า แต่เนื่องจากการเปลี่ยนแปลงศักดาของสัญญาณยังมีขนาดเล็กมากยากแก่การสังเกต จึงต้องนำวงจรขยายมาต่อเพื่อขยายศักดาเปลี่ยนแปลงให้มีค่ามากขึ้น จากนั้นจะนำไปเข้าส่วนออฟโตคัลป์ปลิ่งเพื่อเป็นการ โฟลทตั้ง เช่นเดียวกับกรณีการวัดสัญญาณหัวใจ การวัดอัตราการเต้นของหัวใจ

การวัดอัตราการเต้นของหัวใจ มีหลักการอยู่หลายวิธีเช่น

1. การนับจำนวนครั้งในช่วงเวลาที่แน่นอน ซึ่งต้องใช้เวลานานเพื่อที่จะได้ค่าที่ถูกต้อง เช่น ครึ่งนาที
2. การคูณความถี่ด้วยจำนวนครั้งที่วัดได้ ซึ่งจะใช้เวลาที่น้อยลง
3. การใช้วงจรแปลงความถี่มาเป็นแรงดัน (F TO V CONVERTER) แล้วเปลี่ยนค่าแรงดันกลับมาเป็นอัตราการเต้นของหัวใจ

4. การวัดช่วงเวลาระหว่างการเต้นของหัวใจแต่ละครั้ง (beat to beat) แล้วนำมาคำนวณหาอัตราการเต้นของหัวใจ หรือเปิดตารางเปรียบเทียบเพื่อหาอัตราการเต้นของหัวใจ

สำหรับหลักการที่ใช้ในปริกยูนิฟนัสนี้จะใช้แบบที่ 4 ซึ่งเป็นแบบที่วัดช่วงเวลาระหว่างการเต้นแต่ละครั้ง ซึ่งมีผลดีคือในการวัดอัตราการเต้นจะใช้เวลาน้อยมาก ทำให้เราสามารถวัดในกรณีที่หัวใจเต้นเร็วๆ ได้อย่างถูกต้อง

การคำนวณหาอัตราการเต้นของหัวใจโดยใช้หลักการนี้ สามารถหาได้จากสมการดังต่อไปนี้

เอกสารนี้เป็นเอกสารที่จัดทำขึ้นเพื่อใช้ในการศึกษาเท่านั้น ไม่สามารถนำออกจำหน่ายหรือทำซ้ำโดยไม่ได้รับอนุญาตจากเจ้าของเอกสารทุกครั้งที่มีการนำไปใช้

การวัดช่วงเวลาระหว่างการเดินแต่ละครั้ง ในวงจรนี้จะใช้วงจรมับ (COUNTER) ซึ่งจะนับจำนวนพัลส์ (Pulse) ในช่วงเวลาระหว่างการเดินแต่ละครั้ง โดยให้พัลส์มีความเวลาเท่ากับ 1 มิลลิวินาที ดังนั้นจะได้สมการใหม่คือ

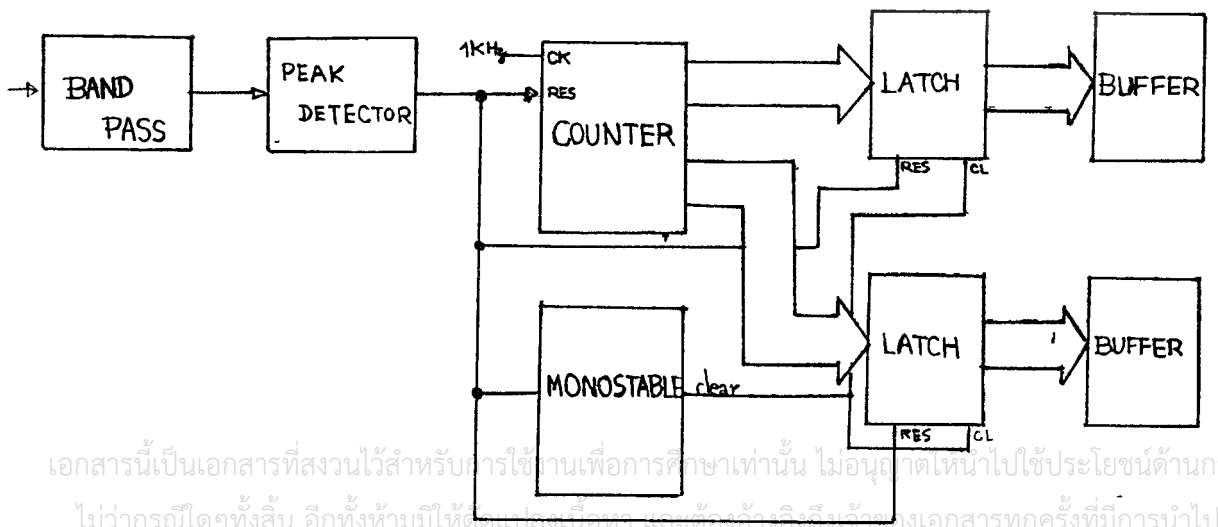
$$\begin{aligned} \text{อัตราการเดินของหัวใจ} &= 60 / (\text{จำนวนพัลส์ที่นับได้} * \text{คาบเวลา}) \\ &= 60 / NT \\ &= 60f / N \end{aligned}$$

;N = จำนวนพัลส์ที่นับได้ ;T = คาบเวลาของพัลส์ ;f = ความถี่ของพัลส์

เราสามารถหาอัตราการเดินของหัวใจได้ โดยเราจะให้ไมโครโปรเซสเซอร์ (MICROPROCESSOR) คำนวณหาอัตราการเดินของหัวใจจากสมการ หรือเราจะสร้างตารางเพื่อเก็บค่าความสัมพันธ์ระหว่าง จำนวนพัลส์กับอัตราการเดินของหัวใจ ซึ่งการให้ไมโครโปรเซสเซอร์ นำค่าของจำนวนพัลส์ไปเปิดตารางหาค่า จะทำงานได้เร็วกว่าแบบแรก แต่ในปริญญานิพนธ์ฉบับนี้จะใช้วิธีแรก เพราะวิธีการให้ไมโครโปรเซสเซอร์ ไปเปิดหาค่าในตารางนั้น จำเป็นต้องใช้หน่วยความจำเพิ่มขึ้นเป็นจำนวนมาก

วงจรมับที่ใช้เป็น 12 บิตไบนารีเคาเตอร์ ซึ่งจะนับค่าตั้งแต่ 0 ถึง 4095 ดังนั้นเราสามารถวัดอัตราการเดินสูงสุดได้มากกว่า 300 ครั้งต่อนาที (เมื่ วงจรมับ นับได้น้อยกว่า 200 พัลส์) และอัตราการเดินต่ำสุดได้น้อยกว่า 20 ครั้งต่อนาที (เมื่ วงจรมับ นับได้มากกว่า 3000 พัลส์)

เมื่อคำนวณหาค่าของอัตราการเดินของหัวใจได้แล้ว ไมโครโปรเซสเซอร์จะส่งค่าที่คำนวณได้นั้น ไปยัง PORT B เพื่อแสดงอัตราการเดินของหัวใจบนจอภาพ หลักการทำงานของวงจรวัดอัตราการเดินของหัวใจ ได้แสดงเป็นบล็อก ไดอะแกรมดังรูป



เอกสารนี้เป็นเอกสารที่สงวนไว้สำหรับการใช้งานเพื่อการศึกษาเท่านั้น ไม่อนุญาตให้นำไปใช้ประโยชน์ด้านการค้าไม่ว่ากรณีใดๆทั้งสิ้น อีกทั้งห้ามมิให้ดัดแปลงเนื้อหา และต้องอ้างอิงถึงเจ้าของเอกสารทุกครั้งที่มีการนำไปใช้

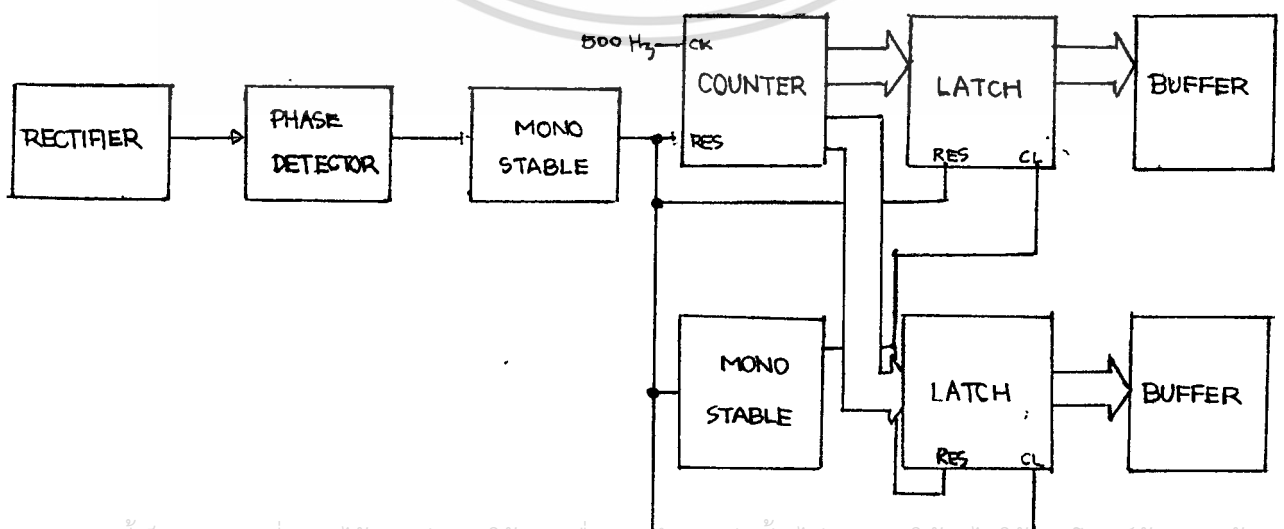
เมื่อสัญญาณไฟฟ้าหัวใจผ่านวงจรตรวจจับยอดคลื่น (PEAK DETECTOR) ก็จะได้สัญญาณไฟฟ้าที่มีลักษณะเป็นพัลส์ ซึ่งจะป้อนเข้าไปที่ขารีเซทของวงจรมับ เพื่อให้วงจรมับเริ่มนับคาบเวลา โดยมีความถี่ของสัญญาณนาฬิกาเท่ากับ 1 KHz เมื่อวงจรมับนับต่อไปเรื่อยๆจนกระทั่งมีพัลส์ใหม่ที่เกิดจากสัญญาณไฟฟ้าของหัวใจอีกลูกหนึ่งเข้ามา จะทำให้มีพัลส์ไปแลทช์ (LATCH) จำนวนครั้งที่วงจรมับ นับได้ และทำการรีเซทวงจรมับให้เริ่มนับใหม่เพื่อหาคาบเวลาต่อไป สัญญาณพัลส์จากวงจรตรวจจับยอดคลื่น ที่ป้อนให้ไมโครโปรเซสเซอร์ มัลติไวเบรเตอร์ เพื่อให้เคลียร์ (CLEAR) ข้อมูลที่แลทช์ไว้ให้เป็นศูนย์หมด ในกรณีที่ไม่มีสัญญาณไฟฟ้าหัวใจเข้ามา หรือเนื่องมาจากจุดวัดที่ต่อจากร่างกายคนไข้หลุด หรือย้ายจุดที่วัดสัญญาณไฟฟ้าหัวใจ

การวัดอัตราการหายใจ

การวัดอัตราการหายใจ จะใช้หลักการเดียวกันกับการวัดอัตราการเต้นของหัวใจ คือ จะวัดคาบเวลาระหว่างการหายใจแต่ละครั้ง และนำค่าที่ได้มาคำนวณหาอัตราการหายใจ แต่มีจุดที่แตกต่างกัน คือ การวัดอัตราการหายใจ จะมีวงจรมับแรกเป็นวงจรตรวจจับการเปลี่ยนแปลงของสัญญาณ (PHASE DETECTOR) และความถี่คล็อกที่ใช้ในวงจรวัดอัตราการหายใจ จะใช้พัลส์ที่มีความถี่เท่ากับ 2 ไมโครวินาที ดังนั้นสมการหาอัตราการหายใจ คือ

$$\begin{aligned} \text{อัตราการหายใจ} &= \text{เวลา 1 นาที} / (\text{จำนวนพัลส์ที่นับได้} * \text{คาบเวลา}) \\ &= 60 / NT \end{aligned}$$

สัญญาณที่เป็นพัลส์ที่ได้จากวงจรตรวจจับการเปลี่ยนแปลง ก็จะส่งไปยังวงจรมับเหมือนวงจรวัดอัตราการเต้นของหัวใจ และมีหลักการทำงานเหมือนกัน



เอกสารนี้เป็นเอกสารที่สงวนไว้สำหรับการใช้งานเพื่อการศึกษาเท่านั้น ไม่อนุญาตให้นำไปใช้ประโยชน์ด้านการค้า ไม่ว่ากรณีใดๆทั้งสิ้น อีกทั้งห้ามมิให้ตัดแปลงเนื้อหา และต้องอ้างอิงถึงเจ้าของเอกสารทุกครั้งที่มีการนำไปใช้

บทที่ 3 การทำงานของวงจร

3.1 วงจรขยายสัญญาณแบบอินสตรูเมนชัน (INSTRUMENTATION AMPLIFIER)

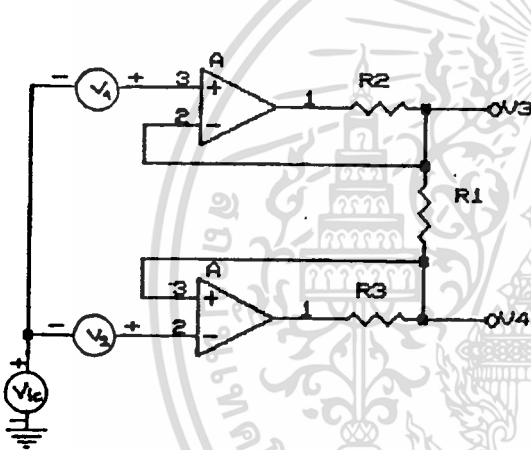
วงจรขยายสัญญาณแบบอินสตรูเมนชันประกอบด้วย

- วงจรขยายความแตกต่างแบบบัฟเฟอร์
- วงจรขยายความแตกต่างแบบสัญญาณออกเดี่ยว

วงจรขยายความแตกต่างแบบบัฟเฟอร์ ประกอบด้วยออปแอมป์ A_1, A_2 จากรูป กำหนดให้ V_{cm} เป็นคอมมอน โหมดอินพุตโวลต์เตจ (COMMON MODE INPUT VOLTAGE)

$V_2 - V_1$ เป็นดิฟเฟอเรนเชียล โหมดอินพุตโวลต์เตจ (DIFFERENTIAL MODE INPUT VOLTAGE)

$V_4 - V_3$ เป็นเอาพุตโวลต์เตจของดิฟเฟอเรนเชียล โหมด



$$V_3 = (1 + R_2/R_1)V_1 - (R_2/R_1)V_2 + V_{cm}$$

$$V_4 = (1 + R_3/R_1)V_2 - (R_3/R_1)V_1 + V_{cm}$$

$$V_4 - V_3 = (V_2 - V_1) / ((R_1 + R_2 + R_3)/R_1)$$

กำหนดให้ $R_2 = R_3$

อัตราการขยายของวงจรขยายความแตกต่างแบบบัฟเฟอร์

$$A_{dm} = 1 + (2R_2/R_1)$$

วงจรขยายความแตกต่างแบบสัญญาณออกเดี่ยว ซึ่งประกอบด้วยออปแอมป์เพียงตัวเดียว

จากรูปจะคำนวณหาอัตราการขยายของวงจร

โดยใช้หลักการ SUPER POSITION

กรณีที่กำหนดให้ $V_2 = 0$ และ $V_{cm} = 0$

$$V_{o1} = -(R_5/R_6)V_1$$

กรณีที่กำหนดให้ $V_1 = 0$ และ $V_{cm} = 0$

$$V_{o2} = (R_7/(R_7 + R_6)) (R_4/(R_4 + R_5)) V_2$$

กำหนดให้ $R_6 = R_4$ และ $R_5 = R_7$

$$V_o = V_{o1} + V_{o2} = (R_5/R_6)(V_2 - V_1)$$

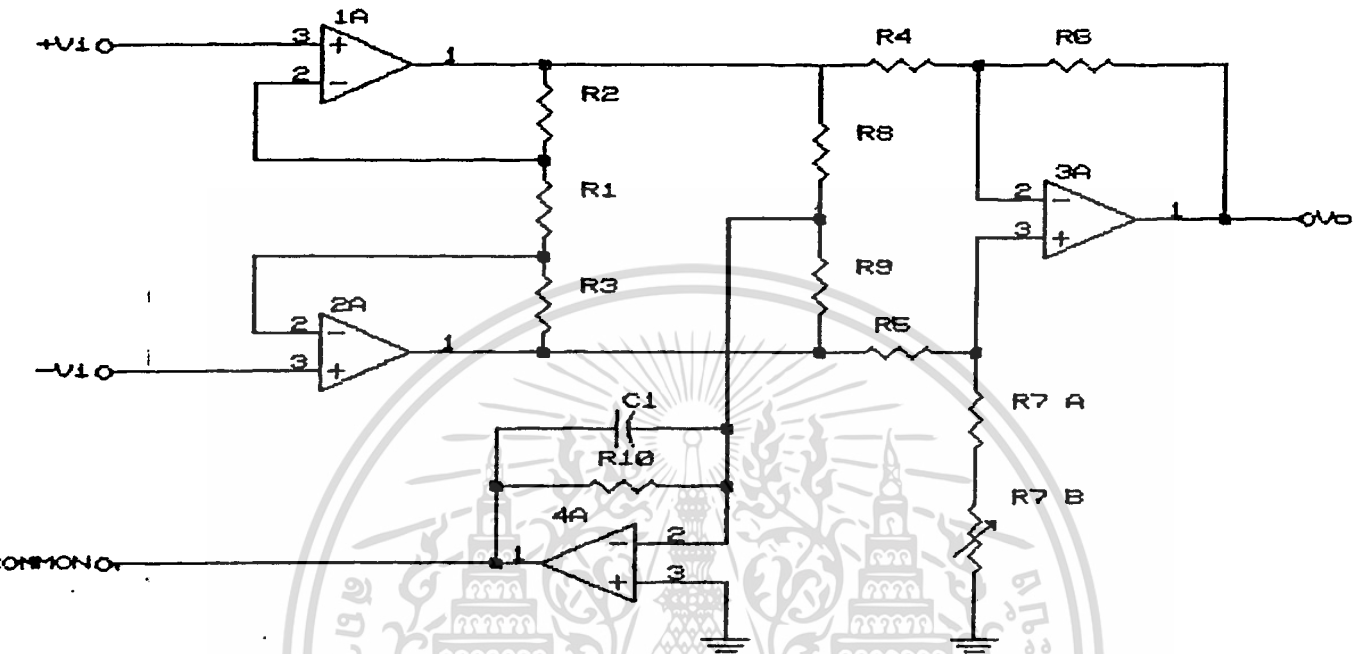
ส่วนออปแอมป์ A_4 จะทำหน้าที่เป็นภาคป้อนกลับแบบลบ เพื่อลดศักดาสัญญาณคอมมอน

โหมด (COMMON MODE POTENTIAL) ซึ่งอาจเกิดขึ้นได้ระหว่างผิวหน้ากับการาวด์ของวงจร

เอกสารนี้เป็นเอกสารลิขสิทธิ์สงวนไว้สำหรับใช้เพื่อการศึกษาเท่านั้น ไม่อนุญาตให้เผยแพร่โดยไม่ได้รับอนุญาตจากทางผู้จัดทำ

ไม่ว่ากรณีใดๆทั้งสิ้น อีกทั้งห้ามมิให้ดัดแปลงเนื้อหา และต้องอ้างอิงถึงเจ้าของเอกสารทุกครั้งที่มีการนำไปใช้

FLOATING และตัวต้านทาน R7 จะใช้เป็นตัวต้านทานปรับค่าได้ และควรมีค่ามากกว่า R_4 เพื่อใช้เป็นตัวรับค่าของอัตราขยายคอมมอนโหมด (COMMON MODE GAIN) ให้มีค่าน้อยที่สุดเพื่อจะทำให้วงจรมีค่า CMMR (COMMON MODE REJECTION RATIO) สูง

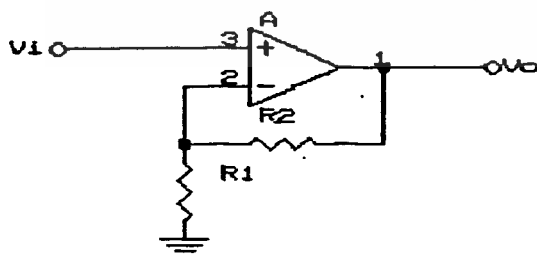


วงจรมีเป็นวงจรขยายความแตกต่างแบบอินสตรูเมนต์ที่สมบูรณ์แบบ

3.2 วงจรขยายแบบไม่กลับค่าไฟฟ้า (NON-INVERTING AMPLIFIER)

วงจรขยายแบบนอนอินเวอร์สตั้งแอมป์ สัญญาณออกทางเอาต์พุตจะมีสัญญาณเฟสเดียวกับ อินพุต แต่จะต่างกันที่มีอัตราขยายด้วย

โดยอัตราขยายของวงจรแบบนอนอินเวอร์สตั้งแอมป์ $A_{CL} = V_o/V_{in} = 1+(R_2/R_1)$



3.3 วงจรกรองสัญญาณความถี่ต่ำผ่าน (LOW PASS FILTER)

วงจรถ่ายใช้งานจะเป็นวงจรกรองสัญญาณความถี่ต่ำผ่านอันดับที่ 3 (THIRD-ORDER LOWPASS FILTER) โดยจะใช้แบบ BESSEL เพราะว่ามีอัตราขยายที่ความถี่ต่ำกว่าจุดคutoff เอกสารนี้เป็นเอกสารที่สงวนไว้สำหรับการใช้งานเพื่อการศึกษาเท่านั้น เมื่อผู้ผู้ใดเห็นไปใช้ประโยชน์ด้านการค้า ไม่ว่าจะกรณีใดๆทั้งสิ้น อีกทั้งห้ามมิให้ตัดแปลงเนื้อหา และต้องอ้างอิงถึงเจ้าของเอกสารทุกครั้งที่มีการนำไปใช้

(FREQUENCY CUT OFF) วงจรนี้มีขั้วเดอที่ 3 เพราะว่ามีโพล (POLE) อยู่ทั้งหมด 3 ตัว อยู่ที่จุด $(-0.942,0)$, $(-0.746,-0.711j)$, $(-0.746,+0.711j)$ ทำให้มีอัตราขยายของวงจรลดลง 18 dB/OCTAVE ที่ความถี่มากกว่าความถี่คัทออฟ

ทรานสเฟอ์ฟังก์ชัน (TRANSFER FUNCTION) ของวงจรกรองความถี่ต่ำผ่านคือ

$$A_{VCL} = V_o/V_i = 1 / (As^3 + Bs^2 + Cs + D)$$

$$\text{เมื่อ } A = C_1C_2C_3R_1R_2R_3$$

$$B = R_3C_2C_3(R_1+R_2)+C_1C_3R_1(R_2+R_3)$$

$$C = C_1R_1+C_3(R_1+R_2+R_3)$$

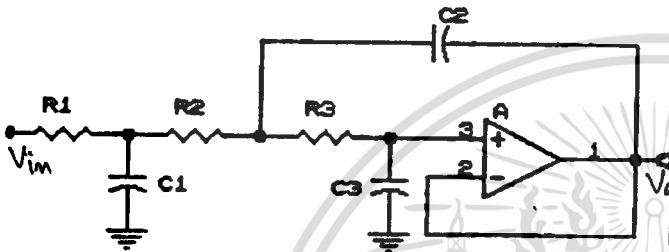
กำหนดให้ค่าของ $R_1=R_2=R_3=R$ และค่า

C ที่คำนวณได้ในอุดมคติคือ

$$C_1'' = 0.988$$

$$C_2'' = 1.423$$

$$C_3'' = 0.2538$$

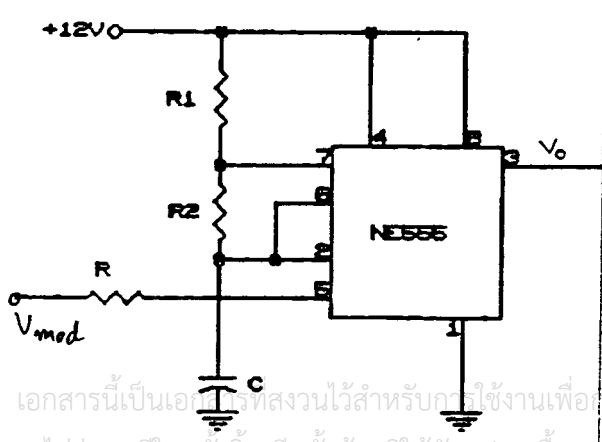


ความถี่คัทออฟ (CUT OFF) $f = 1/(2RC)$: $C_1 = CC_1''$; $C_2 = CC_2''$; $C_3 = CC_3''$

วงจรกรองสัญญาณความถี่ต่ำผ่านแบบนี้ จะมีอัตราขยายของวงจรเท่ากับ 1 ที่ความถี่ต่ำกว่าจุดคัทออฟ

3.4 วงจรมอดูเลชันแบบความถี่ (FREQUENCY MODULATION)

วงจรที่ใช้จะใช้ไอซีตั้งเวลา (TIMER) เบอร์ NE 555 ต่อวงจรเป็นแบบอะสเตเบิลมัลติไวเบรเตอร์ (ASTABLE MULTIVIBRATOR) ดังรูป และขา 5 ของไอซี จะเป็นขาควบคุมศักดาไฟฟ้า (CONTROL VOLTAGE) สำหรับควบคุมแรงดันไฟฟ้าที่ขา CONTROL VOLTAGE



ในตัวของไอซีตั้งเวลา ดังนั้นเมื่อเราป้อนสัญญาณเข้าไปที่ขา 5 จะทำให้ความถี่ของสัญญาณเอาพุทเปลี่ยนไป ดังนั้นวงจรนี้จึงสามารถใช้งานเป็นวงจรมอดูเลชันแบบความถี่ (FREQUENCY MODULATION)

ข้อสังเกตที่ขา 5 ของไอซีตั้งเวลา จะมีความต้านทานที่อินพุทประมาณ 3.3 K ดัง

นั้นถ้าขนาดของสัญญาณมีขนาดใหญ่เกินไปก็

เอกสารนี้เป็นเอกสารที่สงวนไว้สำหรับกรใช้งานเพื่อการศึกษาค้นคว้าเท่านั้น ไม่ควรนำออกเผยแพร่โดยไม่ได้รับอนุญาต การนำออกเผยแพร่โดยไม่ได้รับอนุญาตจะถือว่าผิดกฎหมาย และต้องอ้างอิงถึงเจ้าของเอกสารทุกครั้งที่มีการนำไปใช้

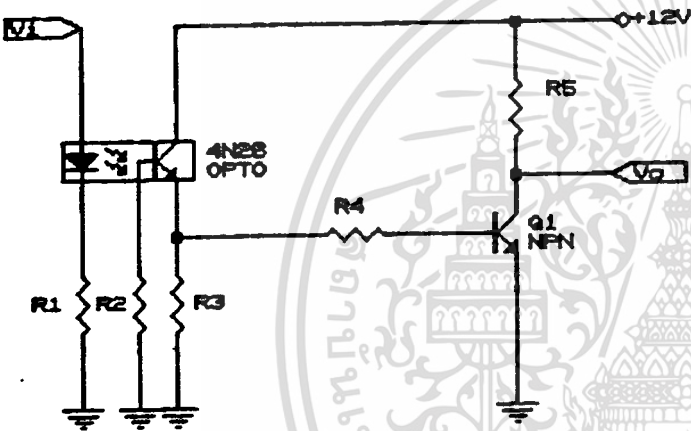
ให้ใส่ R_1 เพื่อลดขนาดแรงดันที่จะนำไปรวมกับศักดาที่ขา 5 เพราะหากว่าสัญญาณที่เข้าไปมีขนาดใหญ่มากเกินไปจะทำให้วงจรมอดดูเล็งขึ้นแบบความถี่จะเกิดการผิดพลาดไม่เป็นเส้นตรง

$$V \text{ ที่มอดดูเล็งขึ้น} = V_{in} R_{in} / (R_1 + R_{in})$$

3.5 วงจรออปโต คัปเปิล (OPTO COUPLE)

เพื่อจะทำการแยกวงจร 2 ส่วนแยกออกจากกันและเป็นการป้องกันอันตรายที่จะเกิดแก่ผู้ปวยจึงจำเป็นต้องใช้วงจรนี้ โดยเมื่อมีสัญญาณอินพุตเป็นระดับสูง จะทำให้ LED สว่าง และ

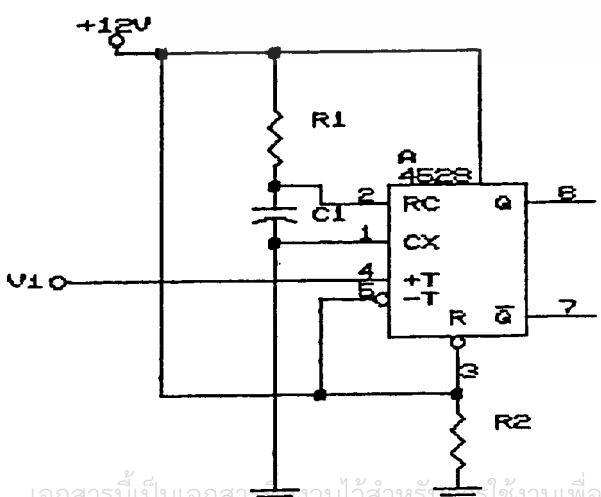
ทำให้ ออปโต ทรานซิสเตอร์ (OPTO TRANSISTOR) ในตัว ออปโต คัปเปิล (OPTO COUPLE) ทำให้มีสัญญาณที่จุด V_1 และ ทรานซิสเตอร์ Q_1 จะทำหน้าที่ขยายสัญญาณที่ได้จากตัว ออปโต คัปเปิล เพื่อให้มีขนาดเพียงพอที่จะนำไปใช้งานในภาคต่อไป



3.6 วงจรโมโนสเตเบิล มัลติไวเบรเตอร์ (MONOSTABLE MULTIVIBRATOR)

เนื่องจากสัญญาณที่ได้มาจาก ออปโต คัปเพอร์ มีความกว้างของสัญญาณพัลส์ (PULSE SIGNAL) ไม่คงที่ จึงจำเป็นต้องมีวงจรโมโนสเตเบิลมัลติไวเบรเตอร์ เพื่อปรับ

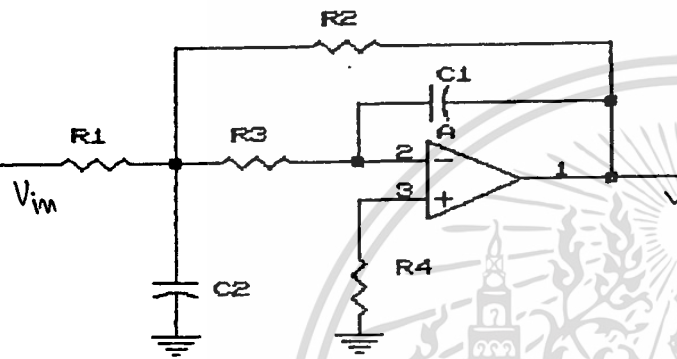
ขนาดของพัลส์ให้มีขนาดคงที่โดยในวงจรนี้จะกำหนดให้ขนาดของพัลส์กว้างประมาณ 10 ไมโครวินาที วงจรโมโนสเตเบิลมัลติไวเบรเตอร์ นี้จะทำงานที่ขอบขาขึ้นของ สัญญาณอินพุต



เอกสารนี้เป็นเอกสารสงวนไว้สำหรับใช้ในงานเพื่อการศึกษาเท่านั้น ไม่อนุญาตให้นำไปใช้ประโยชน์ด้านการค้า ไม่ว่าจะกรณีใดๆทั้งสิ้น อีกทั้งห้ามมิให้ดัดแปลงเนื้อหา และต้องอ้างอิงถึงเจ้าของเอกสารทุกครั้งที่มีการนำไปใช้

3.7 วงจรดีมอดูเลชัน (DEMODULATION)

จะเป็นวงจรกรองความถี่ต่ำผ่าน เพื่อกำจัดความถี่สูงออกเพื่อจะให้เหลือความถี่ต่ำซึ่งเป็นสัญญาณหัวใจ โดยวงจรที่ใช้เป็นกรองความถี่ต่ำผ่านแบบ MULTIPLE FEEDBACK FILTER ดังรูป ในวงจรนี้จะกำหนดค่า Q FACTOR = 0.707 เพราะว่าเป็นจุดที่มีการตอบสนองที่ต่ำที่สุด (MAXIMALLY FLAT RESPONSE) คือมีโอเวอร์ชู้ต (OVER SHOOT) น้อยที่สุด ในวงจรนี้จะมี



อัตราขยาย = $H_o = R_2/R_1$

จุดตัดความถี่สูง (HIGH FREQUENCY CUT OFF)

$$f_{CH} = (2 * 3.14 * (R_2 * R_3 * C_1 * C_2)^{0.5})^{-1}$$

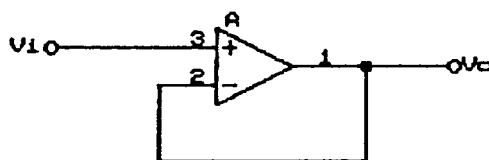
กำหนดให้ค่า $K = C_1/C_2 = 4Q^2 (H_o + 1)$

ความต้านทาน R_4 ที่ทำให้มี ดัชนีออฟเซต

น้อยที่สุด คือ $R_4 = R_3 + (R_1 // R_2)$

3.8 วงจรบัฟเฟอร์ (BUFFER)

ในรูปเป็นวงจรบัฟเฟอร์ที่มีอัตราขยายของวงจรเท่ากับ 1 และค่าความต้านทาน R ที่ต่อไว้เพื่อป้องกันไม่ให้โอซีเสี่ยหาย เมื่อเกิดการลัดวงจรที่เอาพุท (OUTPUT SHORT CIRCUIT)



เอกสารนี้เป็นเอกสารที่สงวนไว้สำหรับการใช้งานเพื่อการศึกษาเท่านั้น ไม่นอนุญาตให้นำไปใช้ประโยชน์ด้านการค้า ไม่ว่าจะกรณีใดๆทั้งสิ้น อีกทั้งห้ามมิให้ดัดแปลงเนื้อหา และต้องอ้างอิงถึงเจ้าของเอกสารทุกครั้งที่มีการนำไปใช้

3.9 ส่วนแสดงผลออกทางจอภาพ

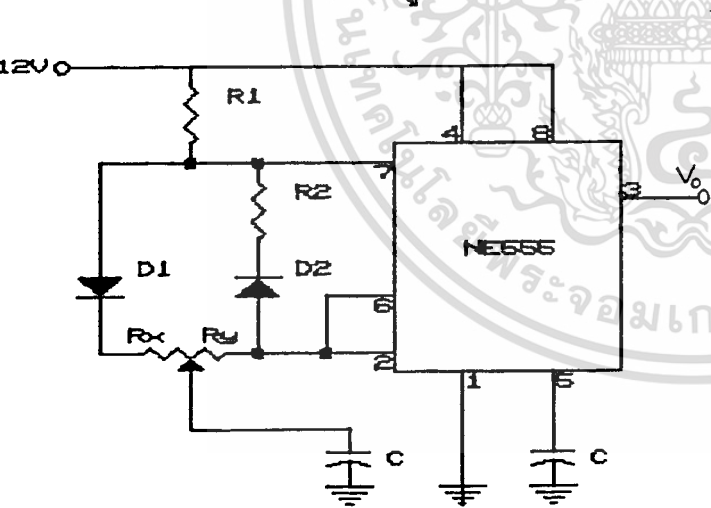
ในส่วนนี้ เราสามารถแบ่งวงจรส่วนต่างๆที่ใช้ในการนำสัญญาณจากส่วนควบคุมมาแสดงผลทางจอภาพได้ดังนี้ คือ

1. ภาคกำเนิดสัญญาณพัลส์ (PULSE GENERATOR)
2. ภาคสวิตช์ ออน-ออฟ (ON-OFF) และ ฟลายแบคทรานส์ฟอร์มเมอร์ (FLYBACK TRANSFORMER)
3. ภาคขยายสัญญาณภาพ (VIDEO AMPLIFIER)
4. ภาคขยายสัญญาณของขดลวดหักเหของจอภาพโทรทัศน์

โดยการทำงานของวงจรภาคต่างๆ สามารถแยกอธิบายได้ดังนี้ คือ

3.9.1 ภาคกำเนิดสัญญาณพัลส์

วงจรในส่วนนี้จะสร้างสัญญาณพัลส์ที่มีความถี่ประมาณ 20 KHZ และสามารถปรับ ดิวตี้ ไซเคิล (DUTY CYCLE) ได้อย่างอิสระโดยที่มีความถี่คงที่ สำหรับในวงจรนี้จะใช้ ไอซี ไทม์ เมอร์ (TIMER) เบอร์ NE-555 มาต่อเป็นวงจร อะสแตเบิลมีลติไวเบรเตอร์ (ASTABLE MULTIVIBRATOR) ดังรูป



ไดโอด D_1 และ D_2 จะเป็นตัวแบ่งแยก วงจรการสะสม (CHARGE) ประจุ และการคาย (DISCHARGE) ประจุของ C ซึ่งจะมีการคำนวณหาคาบเวลาดังนี้

เวลาในช่วงที่ C สะสมประจุ

$$T_{high} = 0.67 (R_1 + R_x)C$$

เวลาในช่วงที่ C คายประจุ

$$T_{low} = 0.67 (R_2 + R_y)C$$

ดังนั้น คาบเวลาที่ได้อคือ $T = 1/(T_{high} + T_{low})$
 ความถี่ที่ได้ $f = 1/T = 1/(0.67(R_1 + R_2 + R_x + R_y)C)$
 ค่า ดิวตี้ ไซเคิลที่ได้ คือ $D = T_{low}/T_{high}$

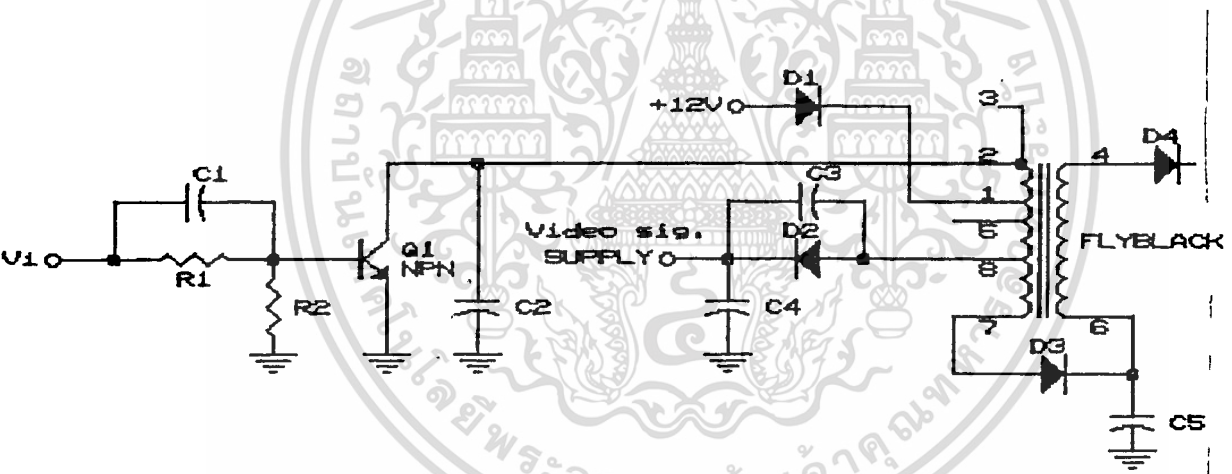
$$D = (R_1 + R_x)/(R_2 + R_y)$$

เอกสารนี้เป็นเอกสารที่สงวนไว้สำหรับการใช้งานเพื่อการศึกษาเท่านั้น ไม่นิยมนำไปใช้ประโยชน์ด้านการค้า ไม่ว่าจะกรณีใดๆทั้งสิ้น อีกทั้งห้ามมิให้ตัดแปลงเนื้อหา และต้องอ้างอิงถึงเจ้าของเอกสารทุกครั้งที่มีการนำไปใช้

3.9.2 วงจรส่วนสวิทช์ ออน-ออฟ และฟลายแบลคทรานส์ฟอร์มเมอร์

ในวงจรส่วนนี้จะใช้ สวิทช์ทรานซิสเตอร์ (SWITCHING TRANSISTOR) ทำงานเป็นสวิทช์ ออน-ออฟ เมื่อมีสัญญาณที่เข้ามาที่ขาเบสของทรานซิสเตอร์มีระดับต่ำ (0 โวลต์) จะทำให้ทรานซิสเตอร์คัทออฟ คือ ไม่มีกระแสไหลผ่าน ขาคอลเลคเตอร์ของทรานซิสเตอร์ แสดงว่าเป็นการออฟ และเมื่อมีสัญญาณเข้ามาที่ขาเบส มีระดับสูง จะทำให้ทรานซิสเตอร์อิ่มตัว (SATURATION) คือมีกระแสไหลผ่านขาคอลเลคเตอร์ แสดงว่าเป็นการออน R_1 และ R_2 จะทำหน้าที่ลดแรงดันไฟฟ้าที่เข้ามาที่ขาเบส เพื่อป้องกันไม่ให้ทรานซิสเตอร์เสียหายได้

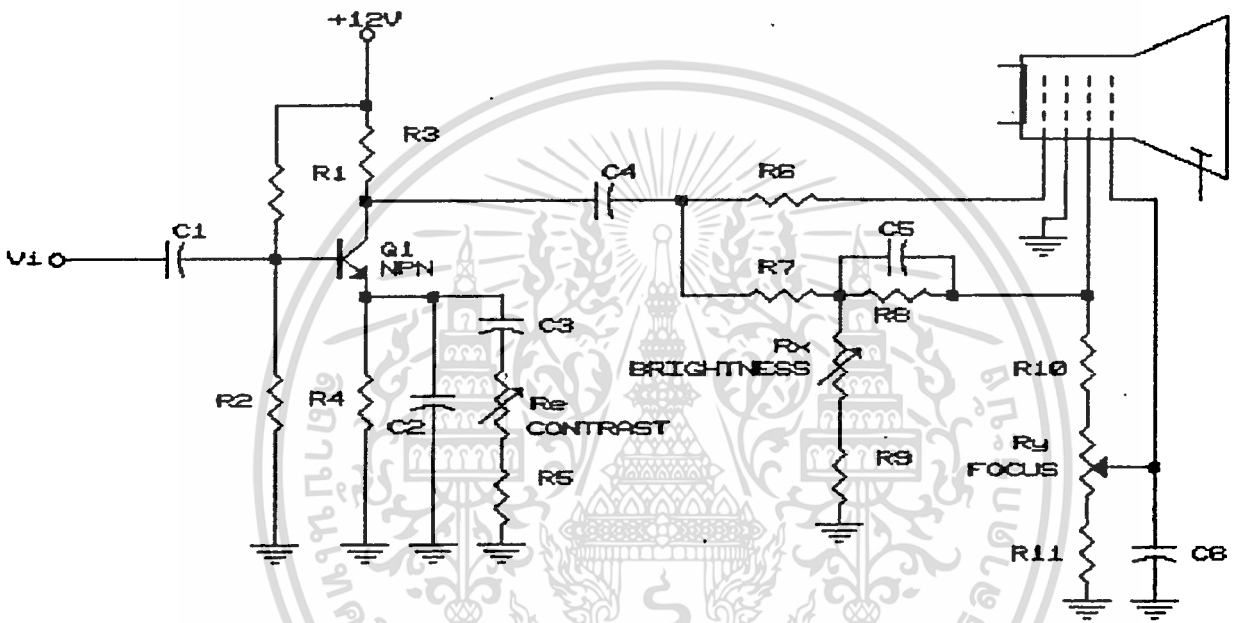
ในช่วงที่ทรานซิสเตอร์อ้อนั้น จะอ้อนได้ช้าเนื่องจากมีเวลาไต่ขึ้น (RISE TIME) มากจึงต้องเพิ่ม C_1 เพื่อลด RISE TIME และ C_2 เพิ่มเข้ามาเพื่อทำให้วงจรสามารถขับโหลดที่เป็นขดลวดได้ (ซึ่งเป็น ฟลายแบลคทรานส์ฟอร์มเมอร์)



ฟลายแบลคทรานส์ฟอร์มเมอร์ เป็นหม้อแปลงที่ใช้ในการแปลงไฟต่ำทางด้านปฐมภูมิ (PRIMARY) ให้เป็นไฟสูงทางด้านทุติยภูมิ (SECONDARY) โดยขา 2 จะต่อเข้ากับขาคอลเลคเตอร์ของสวิทช์ ทรานซิสเตอร์ ที่ขา 1 จะป้อนศักดาไฟฟ้า 12 โวลต์ โดยจะมี ไดโอดต่ออยู่เพื่อป้องกันแรงดันไฟฟ้าที่กระชาก ซึ่งเกิดจากการมีกระแสไหลผ่านและไม่มีไหลผ่านฟลายแบลคทรานส์ฟอร์มเมอร์ สัญญาณที่ได้จากขาคอลเลคเตอร์เป็นสัญญาณรูปคลื่นสี่เหลี่ยม (SQUARE WAVE) ทำให้แรงดันที่ได้จากขา 8 เป็นไฟสลับ จึงต้องนำมาผ่านวงจรเรกติไฟเออร์เพื่อเปลี่ยนเป็นเอ๊กไฟตรงผ่านเป็นไฟเลี้ยงให้กับภาคขยายสัญญาณภาพ (VIDEO AMP) และที่ขา 7 ก็จะถูกเรกติไฟเออร์ค้ำ ไม่ว่ากรณีใดๆทั้งสิ้น อีกทั้งห้ามมิให้ตัดแปลงเนื้อหา และต้องอ้างอิงถึงเจ้าของเอกสารทุกครั้งที่มีการนำไปใช้

ไฟเออร์ เช่นเดียวกัน เพื่อให้ได้ศักดาไฟฟ้าไปควบคุม ขา 2 ซึ่งเป็นขากรีดของหลอดภาพ และ
 ยังต่อไปยัง ขา 6 ทางด้านกูดิยภูมิเพื่อเพิ่มแรงดันทางไฟฟ้าให้สูงขึ้น ศักดาไฟฟ้าที่ได้จากด้านกูดิย
 ภูมิจะมีแรงดันไฟฟ้าสูงมาก (HIGH VOLTAGE) ซึ่งวัดได้ประมาณ KV โดยจะนำไป ต่อที่
 ขาอาโนดของหลอดภาพ

3.9.3 วงจรขยายสัญญาณภาพ (VIDEO AMPLIFIER)



จากรูปเป็นวงจรขยายสัญญาณแบบอิมิตเตอร์ร่วม (COMMON EMITTER) ที่มี R_e
 สำหรับปรับค่าอัตราขยายของวงจรขยายสัญญาณ ซึ่งเป็นการปรับความเข้ม (CONTRAST) ของภาพ
 โดยหมายถึงการปรับความแตกต่างระหว่างส่วนที่เป็นสีขาว และส่วนที่เป็นสีดำ การปรับให้ค่าของ
 R_e มีค่าน้อยจะทำให้อัตราขยายมีค่าสูงมาก ลักษณะของสัญญาณที่ได้จะมีความเข้มมาก และในทำ
 นองเดียวกัน ถ้าค่า R_e มีค่ามากจะทำให้ค่าอัตราขยายของวงจรมีค่าน้อย ลักษณะของภาพที่ได้
 จะมีความเข้มน้อยไปด้วย สัญญาณที่ออกจากขาคอลเลคเตอร์ ส่วนหนึ่งจะนำไปเข้าที่ขา 6 ของ
 หลอดภาพ เพื่อปรับระดับของศักดาไฟฟ้าที่ขา 6 ซึ่งเป็นการปรับระดับความเข้มของสัญญาณภาพ
 ที่ขา 2 ของหลอดภาพซึ่งเป็นขากรีด จะมีศักดาไฟฟ้าคงที่ ที่มาจากสัญญาณไฟตรงที่ได้มาจากการ
 เรคตีไฟร์ที่ส่วนของฟลายแบลคทราานเฟอรัมเมอร์ โดยมีค่าประมาณ 125 โวลท์ ดังนั้นเราจึง
 สามารถปรับระดับศักดาไฟฟ้าที่เข้าไปยังขา 6 ได้โดยการปรับที่ความต้านทานปรับค่าได้ R_x
 ขนาด 2.2 เมกะโอห์มซึ่งเป็นการปรับความสว่าง (BRIGHTNESS) นั้นเอง ความสว่างของ

เอกสารนี้เป็นเอกสารที่สงวนไว้สำหรับการศึกษาเท่านั้น ไม่อนุญาตให้ไปเผยแพร่โดยไม่ได้รับอนุญาต
 หมายความว่าแจ้งถึงความเข้มของแสงสว่างภาพ ถ้าเราปรับให้ความต้านทานปรับค่าได้มีความ
 ไม่ว่าจะกรณีใดๆทั้งสิ้น อีกทั้งห้ามมิให้ตัดแปลงเนื้อหา และต้องอ้างอิงถึงเจ้าของเอกสารทุกครั้งที่มีการนำไปใช้

ด้านทานมาก สัญญาณรวมที่ได้ที่ขา 6 จะมีค่ามากภาพที่ได้ก็จะสว่างมาก ในทำนองเดียวกัน ถ้าปรับให้ตัวต้านทานแบบปรับค่าได้ มีค่าน้อย ก็จะทำให้ภาพที่ได้มีความสว่างน้อยไปด้วย

ที่ขา 1 ซึ่งเป็นขากริดของหลอดภาพจะมีความต้านทานแบบปรับค่าได้ขนาด 2.2 เมกกะโอห์ม R_g ทำหน้าที่ในการแบ่งศักดาไฟฟ้าที่ได้จากการเรคตีไฟร์ที่ขา 6 ของ ฟลายแบลคทรานส์ฟอร์มเมอร์ โดยศักดาที่ได้จะเป็นการปรับความชัดเจนหรือเป็นการปรับโฟกัส (FOCUS) ของสัญญาณภาพ คือการปรับลำของอิเล็กตรอน (ELECTRON) ที่จะผ่านกริดและวิ่งเข้ากระทบที่จอภาพโดยให้มีลำแคบ หรือกว้างเพียงใดตามความต้องการ

ส่วนที่ขา 4 และขา 5 เป็นไส้หลอดของหลอดภาพ เราจะจุดไส้หลอดของหลอดภาพ โดยการต่อขา 4 ลงกราวด์ และขา 5 ต่อตัวต้านทาน 20 โอห์มและป้อนโวลท์เตจ 5 โวลท์ ซึ่งจะทำให้สามารถเห็นจุดเรืองแสงที่จอภาพได้

3.9.4 ภาคขยายสัญญาณของขดลวดหักเห

ภาคขยายกำลังเป็นภาคที่ขยายสัญญาณเพื่อเอาไปแสดงบนจอภาพ โดยมีโหลดเป็นขดลวดหักเห (YOKE) วงจรขยายกำลังภาคนี้ เป็นวงจรขยายแบบทรานส์คอนดักแตนซ์ (TRANSCONDUCTANCE) คือ จะขยายสัญญาณอินพุท ที่เป็นแรงดันไฟฟ้า (VOLTAGE) และให้เอาพุท เป็นกระแส (CURRENT) ซึ่งวงจรมีถึง 2 ชุด เพื่อใช้ขับขดลวดหักเหทั้งในแนวราบ (HORIZONTAL) และในแนวตั้ง (VERTICAL)

หลักการทำงานของวงจรมีดังนี้ ภาคอินพุทภาคแรก จะเป็นแบบวงจรขยายความแตกต่าง (DIFFERENTIAL PAIR) ทำหน้าที่เปลี่ยนสัญญาณโวลเตจมาเป็นกระแส โดยที่จะขยายขนาดของสัญญาณด้วยที่ขาอิมิตเตอร์ (EMITTER) ของทรานซิสเตอร์ (TRANSISTOR) Q_1, Q_2 มีความต้านทานปรับค่าได้ ขนาด 100 โอห์ม ทำหน้าที่ปรับออฟเซตโวลเตจ (OFFSET VOLTAGE) และซีเนอร์ไดโอด (ZENER DIODE) ทำหน้าที่ให้โวลเตจไบอัส วงจรภาคถัดมา จะทำหน้าที่ขยายกระแสที่มาจากภาคแรกให้มากขึ้นโดยใช้ ทรานซิสเตอร์ Q_3, Q_4 และใช้ ทรานซิสเตอร์ Q_5, Q_6 เป็นวงจรกระแสคงที่ (CURRENT MIRROR) C_3 20pF จะทำหน้าที่เป็นตัวส่งผ่าน (FEED FORWARD) เพื่อให้ความถี่สูงผ่าน เป็นการป้องกันการออสซิลเลท (OSCILLATE) ทรานซิสเตอร์ Q_7 ทำหน้าที่เป็นตัวให้ไบอัสโวลเตจแก่ ทรานซิสเตอร์ Q_8, Q_9 ซึ่งเป็น ทรานซิสเตอร์กำลัง (POWER TRANSISTOR) และมีความต้านทานปรับค่าได้ ค่า 10 กิโลโอห์มเป็นตัวปรับกระแสไบอัส ภาคที่ 3 เป็นมัลติเพอร์โดยทรานซิสเตอร์ Q_8, Q_9 ทำงานเอกสารนี้เป็นเอกสารที่สงวนไว้สำหรับการใช้งานเพื่อการศึกษาเท่านั้น ไม่อนุญาตให้ไปใช้ประโยชน์ในการค้า เป็นวงจรขยายกำลัง คลาสเอบี (POWER AMPLIFIER CLASS AB) ในส่วนของการบินไมวารณี่ใดๆทั้งสิ้น อีกทั้งห้ามมิให้ดัดแปลงเนื้อหา และต้องอ้างอิงถึงเจ้าของเอกสารทุกครั้งที่มีการนำไปใช้

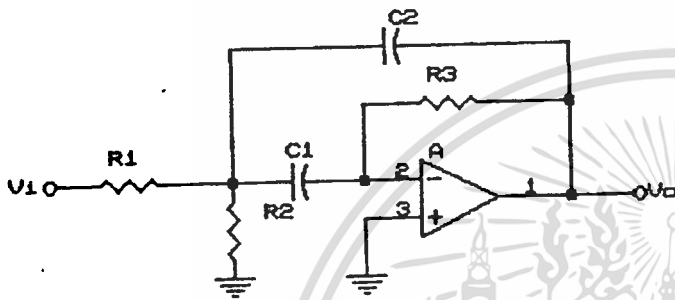
กลับ (FEED BACK) R_{17} ทำหน้าที่ลดแรงดันกระชาก (DAMPING) ของโหลด R_2 ทำหน้าที่เป็นตัวตรวจจับโวลเตจ (SENSE VOLTAGE) จากเอาพุท คือเปลี่ยนกระแสที่ไหลผ่านโหลดเป็นแรงดันไฟฟ้าและมี R_{16} จะทำหน้าที่ป้อนกลับ โวลเตจที่ตรวจจับได้กลับไปยังอินพุท



เอกสารนี้เป็นเอกสารที่สงวนไว้สำหรับการใช้งานเพื่อการศึกษาเท่านั้น ไม่อนุญาตให้นำไปใช้ประโยชน์ด้านการค้า
ไม่ว่ากรณีใดๆทั้งสิ้น อีกทั้งห้ามมิให้ดัดแปลงเนื้อหา และต้องอ้างอิงถึงเจ้าของเอกสารทุกครั้งที่มีการนำไปใช้

3.10 วงจรแบนด์พาสฟิลเตอร์ (BANDPASS FILTER)

วงจรแบนพาสฟิลเตอร์ที่ใช้ในวงจรวัดอัตราการเต้นของหัวใจจะใช้วงจรแบนด์พาสแบบ MULTIPLE FEEDBACK เพราะว่าใช้ออปแอมป์ เพียงตัวเดียว สามารถปรับความถี่ได้โดยการปรับค่าตัวต้านทาน R_2 เพียงตัวเดียวและถ้าค่า Q FACTOR มีค่าน้อยกว่า 10 จะทำให้ SENSITIVITY ของ Q และ F_o มีค่าน้อยและยังสามารถปรับค่า R_3 เพื่อปรับค่า Q และ อัตราขยายของวงจรได้



ทรานเฟอร์ฟังก์ชันของวงจร

$$A_{VC} = V_o/V_i = -As/(s^2+Bs+C)$$

$$A = 1/R_1 C_1$$

$$B = (1/C_1 + 1/C_2)/R_3$$

$$C = (1/R_1 + 1/R_2)/R_3 C_1 C_2$$

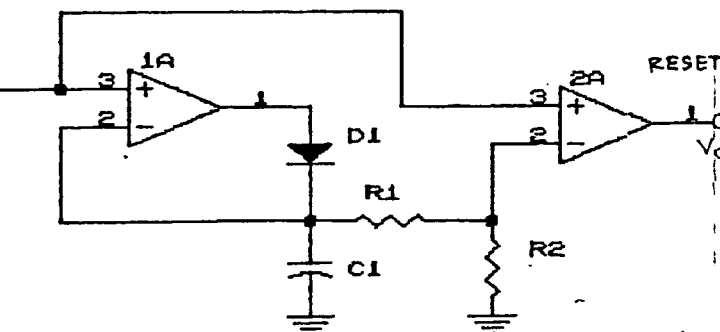
อัตราขยายโวลต์เฉลี่ย ที่ ความถี่ $f_o(H) = (R_3 C_2)/(R_1 (C_1 + C_2))$

ค่าความถี่แบนด์พาส $f_o = (2*3.14)^{-1} ((1/R_1 + 1/R_2)/R_3 C_1 C_2)^{0.5}$

ค่า Q FACTOR $= (R_3 (1/R_1 + 1/R_2))/((C_2/C_1)^{0.5} + (C_1 + C_2)^{0.5})$

3.11 วงจรตรวจจับยอดคลื่น (PEAK DETECTOR)

เป็นวงจรที่จะตรวจจับยอดคลื่นและเปลี่ยนเป็นสัญญาณพลัย โดยวงจรนี้จะใช้ออปแอมป์ 2 ตัวดังรูป จะเห็นว่าออปแอมป์ A1 จะทำหน้าที่เป็น HALF WAVE RECTIFIER ทำให้มี



กระแสไหลสะสมประจุ C และ C จะคายอยู่ตลอดเวลาทำให้ศักดาไฟฟ้าที่คร่อม C เป็นระดับที่จะนำมาใช้ในการเปรียบเทียบกับสัญญาณอินพุท หากต้องการให้ศักดาไฟฟ้าที่คร่อม C มีค่าสูงก็จะกำหนดให้ R มีค่าสูงด้วย และออปแอมป์ตัวที่ 2 ทำงานเป็น วงจรเปรียบเทียบแรงดัน (COMPARATOR)

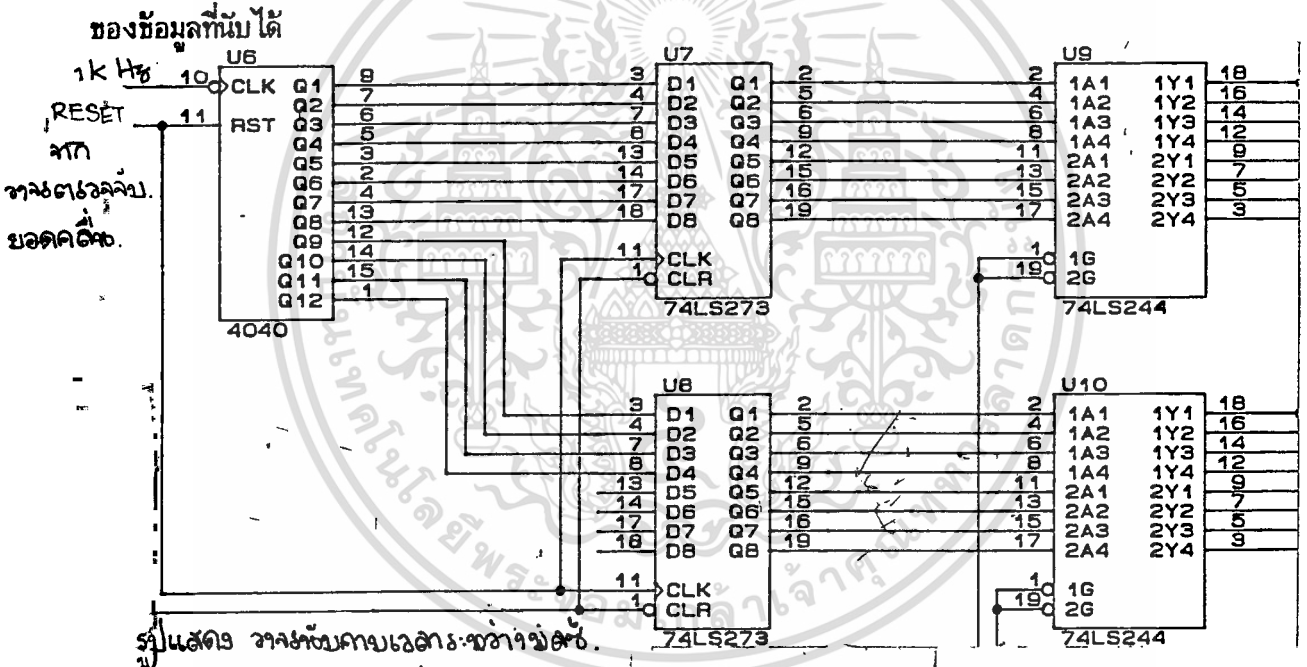
เมื่ออินพุทขา - เป็นศักดาไฟฟ้าเฉลี่ย และ

เอกสารนี้เป็นเอกสารที่สงวนไว้สำหรับการใช้งานเพื่อการศึกษาเท่านั้น ไม่อนุญาตให้นำไปใช้ประโยชน์ด้านการค้า ไม่ว่ากรณีใดๆทั้งสิ้น อีกทั้งห้ามมิให้ตัดแปลงเนื้อหา และต้องอ้างอิงถึงเจ้าของเอกสารทุกครั้งที่มีการนำไปใช้

ขา + จะต่อกับอินพุตตั้งนั้นถ้าอินพุตมีสัญญาณ Q-R-S เข้ามาจะทำให้เอาพุต ที่ได้มีลักษณะเป็นพัลส์

3.12 วงจรนับคาบเวลาระหว่างพัลส์

วงจรมับคาบเวลาประกอบด้วย IC COUNTER และแลตซ์ ข้อมูลโดยใช้ IC D FLIP FLOP สัญญาณที่ป้อนให้กับวงจรมับ เป็นสัญญาณพัลส์ที่ได้มาจากวงจรถรวจจับยอดคลื่น เป็นสัญญาณ RESET ให้วงจรมับ เคลียร์ข้อมูลเป็นศูนย์หมด และเริ่มนับข้อมูลใหม่โดยมีความถี่ที่ใช้นับเท่ากับ 1KHZ และจะนับต่อไปเรื่อย ๆ จนกว่าจะมีสัญญาณพัลส์ลูกต่อไป ซึ่งสัญญาณพัลส์ลูกต่อมานั้นจะเป็น CLOCK ให้ IC D-FLIP-FLOP แลตซ์ข้อมูลไว้ก่อนที่จะมีการ RESET ข้อมูลใน IC COUNTER การอ่านข้อมูลจากวงจรมับจะทำได้โดยให้ไมโครโปรเซสเซอร์ อ่านข้อมูลออกจาก IC BUFFER 74244 โดย PORT 60 เป็นข้อมูลไบต์ต่ำของข้อมูลที่นับได้ และ PORT 61 เป็นข้อมูลไบต์สูง



รูปแสดง วงจรนับคาบเวลาระหว่างพัลส์

3.13 วงจรตรวจจับการเปลี่ยนแปลงของเฟส

วงจรถรวจจับการเปลี่ยนแปลงเฟสของสัญญาณจะประกอบด้วยวงจรถ่างๆ ได้แก่ วงจรเร็คตีไฟเออร์ วงจรเปรียบเทียบแรงดัน (COMPARATOR) และวงจรมอนิเตอร์แบบมัลติไวเบเตอร์ วงจรนี้จะเปลี่ยนเฟสของสัญญาณหลายใจให้เป็นสัญญาณพัลส์ โดยมีหลักการการทำงานของวงจรรูปต่าง ๆ ดังนี้

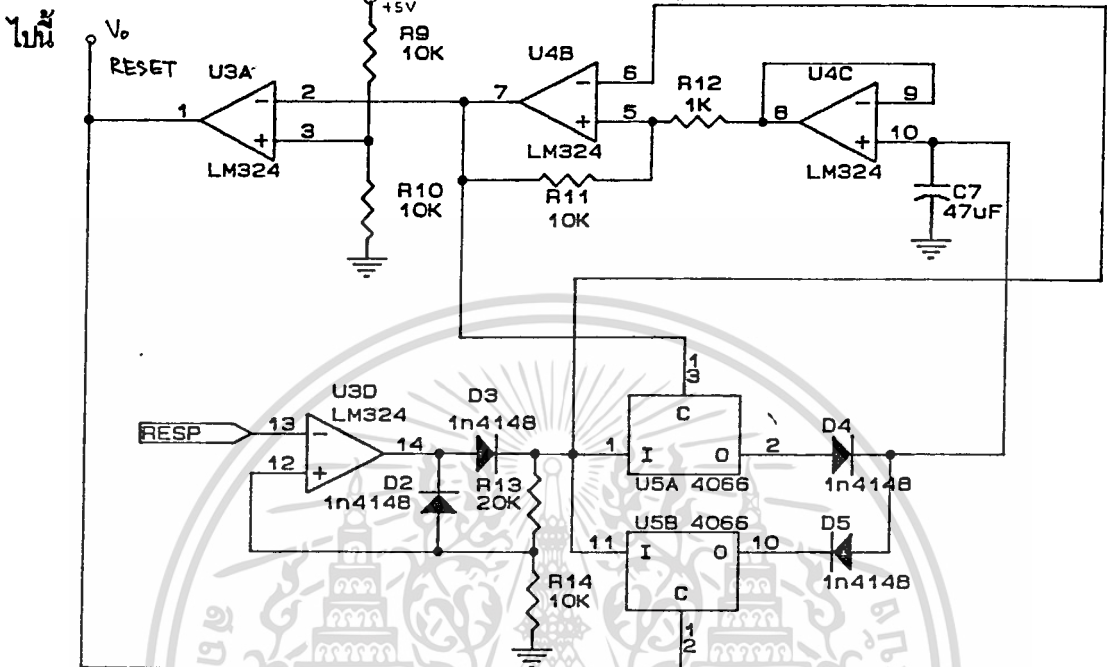
วงจรรีคตีไฟเออร์ จะใช้เป็นวงจรมอนิเตอร์สแตตัส ฮาล์ฟเวฟ เร็คตีไฟเออร์ (NONINVERTING HALF WAVE RECTIFIER) การทำงานของวงจรมอนิเตอร์จะมีอยู่ 2 ช่วงคือ

กรณีที่อินพุตเป็นบวก ทำให้ไดโอด D1 เป็นรีเวอร์สไบอัส (REVERSE BIAS)

และไดโอด D2 เป็นฟอร์เวิร์ดไบอัส (FORWARD BIAS) ดังนั้นทำให้อัตราการขยายของ

ไม่ว่ากรณีใดๆทั้งสิ้น อีกทั้งห้ามมิให้ตัดแปลงเนื้อหา และต้องอ้างอิงถึงเจ้าของเอกสารทุกครั้งที่มีการนำไปใช้

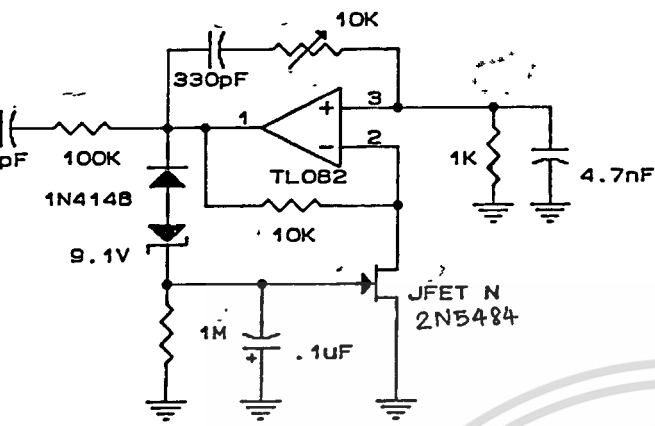
วงจรเท่ากับ $1+(R_f/R_1)$ และในกรณีที่อินพุตเป็นลบ จะทำให้ไดโอด D1 เป็น ฟอร์เวิร์ดไบอัส และไดโอด D2 เป็นรีเวอร์สไบอัส อัตราขยายของวงจรจะเป็น 0 และสัญญาณเอาพุทจะต่อเข้ายังวงจรต่อไป เพื่อเปลี่ยนสัญญาณที่ได้ให้เป็นสัญญาณรูปพัลส์ โดยจะมีหลักการทำงานดังต่อไปนี้



เมื่อเริ่มต้น C จะไม่มีประจุทำให้ศักดาไฟฟ้าที่คร่อมอยู่เท่ากับ ศูนย์ เมื่อมีอินพุตเข้ามาจะทำให้เอาพุทของออปแอมป์ A_1 เป็น ศูนย์ และเอาพุทของออปแอมป์ A_2 เป็น บวก ทำให้อานาลอกสวิตช์ (ANALOG SWITCH) S_1 OFF และ S_2 ON จะทำให้มีกระแสไหลไปสะสมใน C จนกระทั่งสัญญาณอินพุทเริ่มมีขนาดลดลง จะทำให้ศักดาไฟฟ้าที่ขามวกของออปแอมป์ A_2 มากกว่าขาลบ จะทำให้เอาพุทของ A_2 เป็นบวก และที่เอาพุทของออปแอมป์ A_3 จะเปลี่ยนเป็น ศูนย์ ดังนั้น S_1 จะ ON และ S_2 จะ OFF ซึ่งเป็นกรคายประจุที่อยู่ใน C จะเห็นว่าเอาพุทที่ได้มีลักษณะเป็นพัลส์ที่มีขนาดกว้าง จึงต้องนำไปผ่านวงจร โมโนสเตเบิล เพื่อลดความกว้างของพัลส์ จากนั้นก็นำสัญญาณที่ได้ไปป้อนเข้าสู่วงจรนับต่อไป เหมือนวงจรมับของวงจรวัดอัตราการเต้นของหัวใจ แต่จะแตกต่างกันแต่เพียงความถี่ของสัญญาณพัลส์ที่ป้อนให้วงจรมับเท่านั้น ในวงจรวัดอัตราการหายใจจะใช้พัลส์ที่มีความถี่ เท่ากับ 500 Hz

เอกสารนี้เป็นเอกสารที่สงวนไว้สำหรับการใช้งานเพื่อการศึกษาเท่านั้น ไม่อนุญาตให้นำไปใช้ประโยชน์ด้านการค้า ไม่ว่าจะกรณีใดๆทั้งสิ้น อีกทั้งห้ามมิให้ดัดแปลงเนื้อหา และต้องอ้างอิงถึงเจ้าของเอกสารทุกครั้งที่มีการนำไปใช้

3.14 วงจรกำเนิดความถี่รูปซายน์ (SINE WAVE GENERATOR)



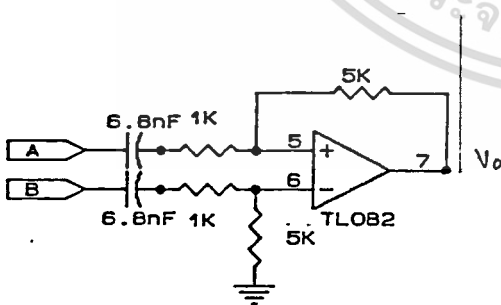
วงจรถ่ายทอดความถี่สัญญาณรูปซายน์ที่นำมาใช้เป็นวงจรแบบเวียนบริดจ์ (WEIN - BRIDGE) เนื่องจากมีความเพี้ยนต่ำ (LOW DISTORTION) จากรูป ความต้านทาน R_1, R_2 และตัวเก็บประจุ C_1, C_2 จะทำหน้าที่เป็นตัวกำหนดความถี่ โดยความถี่ที่ต้องการคำนวณได้จาก

$$f = 1 / (R_1 R_2 C_1 C_2)^{1/2}$$

ข้อดีของวงจรแบบนี้คือ มีวงจรถ่ายทอดขนาดของสัญญาณโดยอัตโนมัติ (AGC) สำหรับหลักการการทำงานของวงจรคือ เมื่อเอาพุทมีขนาดของสัญญาณใหญ่กว่า $2(V_Z + V_D)$ จะทำให้ซีเนอร์ไดโอดเกิดการเบรคดาวน์ (ZENER BREAKDOWN) และมีกระแสไหลผ่านตัวไดโอดทั้งสอง ไปสะสมที่ตัวเก็บประจุ C_2 เกิดคักคาไฟไปไบอัสเฟิร์ท เพื่อความคุมอัตราขยายลูปปิดของออปแอมป์ เพื่อให้มีขนาดของสัญญาณที่เอาพุทคงที่ สำหรับ R_2, C_2 ทำหน้าที่เป็นตัวปรับเวลาการตอบสนองของสัญญาณ

3.15 วงจรขยายความแตกต่าง

จะเห็นว่าต่างจากวงจรขยายความแตกต่างที่ใช้กับสัญญาณไฟฟ้าหัวใจ เนื่องจาก สัญญาณหัวใจที่ได้รับมาเป็นสัญญาณแบบแอมพลิจูดมอดดูเลชั่น (AMPLITUDE MODULATION) กับ

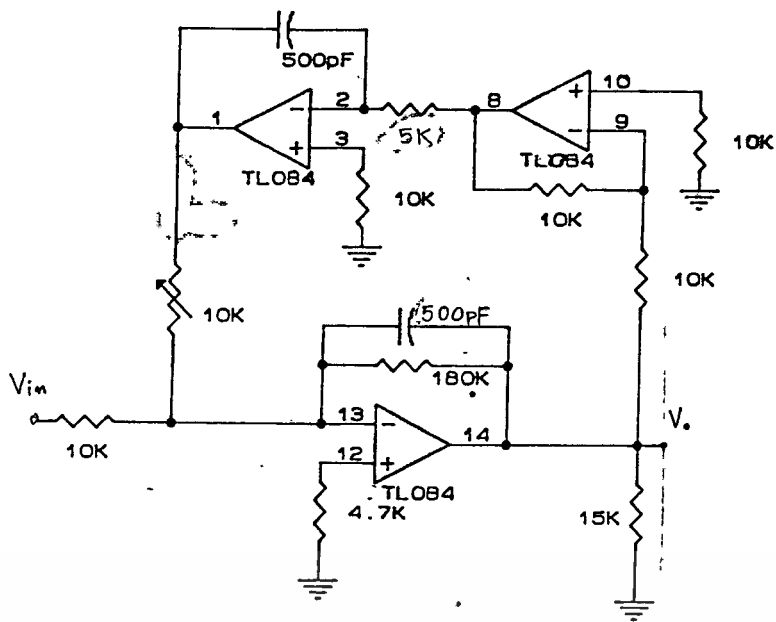


ความถี่พาหะ (CARRIER) 60 KHz ด้วยที่อินพุททั้งสองจึงจำเป็นต้องมี C_1, C_2 เพื่อขยายเฉพาะสัญญาณหัวใจ สำหรับสัญญาณที่บ่อนเข้าที่อินพุททั้งสอง มาจากเอาพุทของวงจรขยายความแตกต่างแบบบัฟเฟอร์ในส่วนของวงจรขยายสัญญาณหัวใจ

3.16 วงจรแบนพาสฟิลเตอร์

สาเหตุที่เลือกใช้วงจรแบนพาสฟิลเตอร์แบบ สเตทวาริเอเบิ้ล (STATE VARIABLE BANDPASS FILTER) เนื่องจากสามารถปรับความถี่แบนพาสและแบนด์วิดท์ได้อย่างอิสระต่อกัน

เอกสารนี้เป็นเอกสารที่สงวนไว้สำหรับการใช้งานเพื่อการศึกษาเท่านั้น ไม่อนุญาตให้นำไปใช้ประโยชน์ด้านการค้า ไม่ว่ากรณีใดๆทั้งสิ้น อีกทั้งห้ามมิให้ดัดแปลงเนื้อหา และต้องอ้างอิงถึงเจ้าของเอกสารทุกครั้งที่มีการนำไปใช้



การปรับความถี่แบนด์พาสทำได้โดยปรับค่าความต้านทานชนิดปรับค่าได้ R_{F2} ส่วน
 แบนด์วิดท์ปรับได้จาก ตัวต้านทานชนิดปรับค่าได้ R_a

-อัตราขยายสัญญาณ

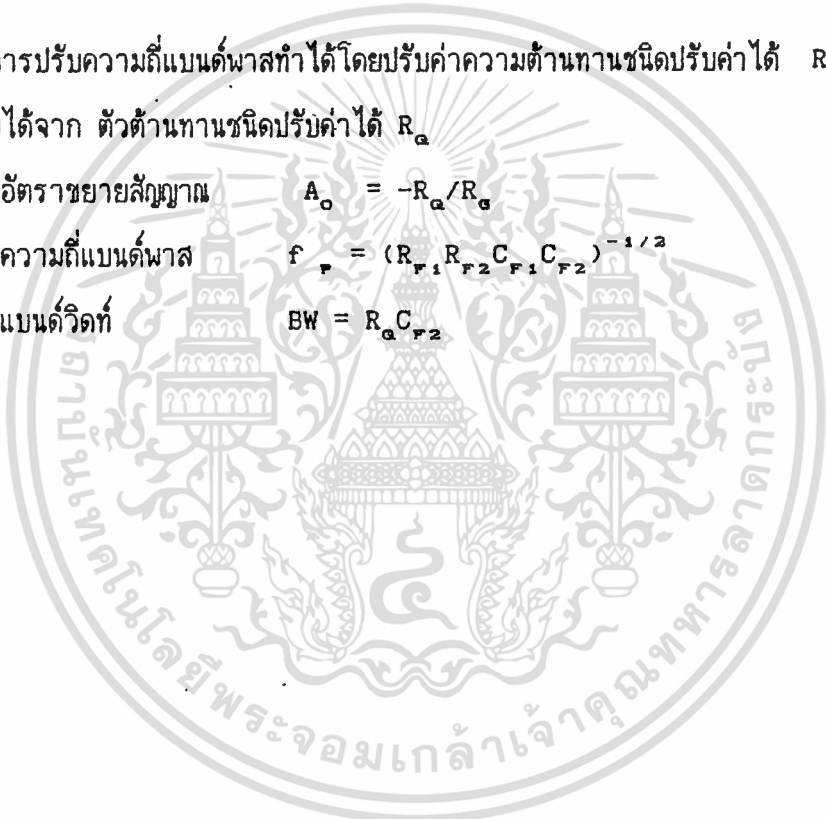
$$A_o = -R_a/R_g$$

-ความถี่แบนด์พาส

$$f_p = (R_{F1}R_{F2}C_{F1}C_{F2})^{-1/2}$$

-แบนด์วิดท์

$$BW = R_aC_{F2}$$

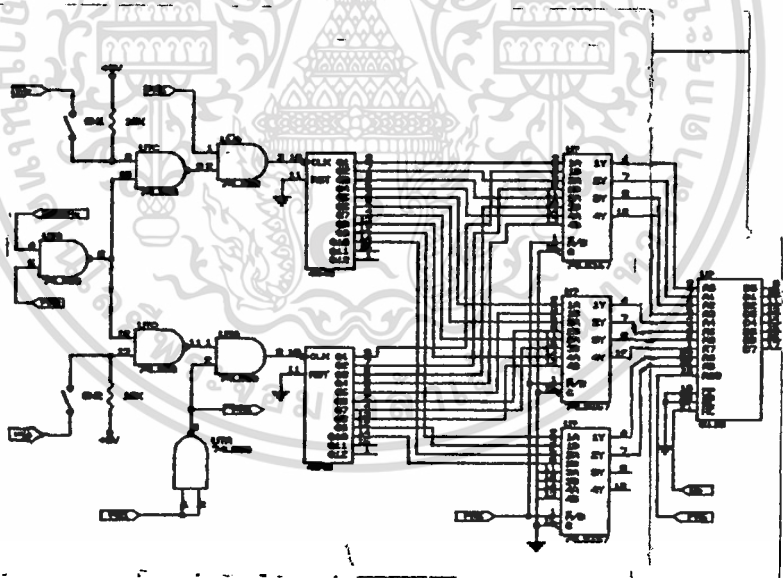


เอกสารนี้เป็นเอกสารที่สงวนไว้สำหรับการใช้งานเพื่อการศึกษาเท่านั้น ไม่อนุญาตให้นำไปใช้ประโยชน์ด้านการค้า
 ไม่ว่าจะกรณีใดๆทั้งสิ้น อีกทั้งห้ามมิให้ดัดแปลงเนื้อหา และต้องอ้างอิงถึงเจ้าของเอกสารทุกครั้งที่มีการนำไปใช้

3.17 วงจรหน่วยความจำ

วงจรหน่วยความจำจะประกอบด้วย ส่วนของหน่วยความจำชนิด RAM , วงจรภาคมัลติเพล็กซ์ (MULTIPLEX) , วงจรนับเวลา (COUNTER) และวงจรส่วนที่เป็นเกท (GATE) โดยมีหลักการทำงานคือ เมื่อมีสัญญาณควบคุม A_0 เป็น 1 จะทำให้ สัญญาณนาฬิกา (CLOCK) ความถี่ 250 KHz ผ่าน แอนด์เกตตัวที่ 1 จากนั้นสัญญาณ A_1 จะเป็นตัวเลือกให้สัญญาณพัลส์ ความถี่ 250 KHz ผ่านไปยังวงจรมับของช่องสัญญาณใดช่องสัญญาณหนึ่งในจำนวน 2 ชุด เมื่อมีสัญญาณพัลส์ความถี่ 250 KHz เข้าสู่วงจรมับซึ่งจะนับเป็นแบบไบนารี โดยจำนวนของพัลส์ที่ไม่ถูกนับรวมกับพัลส์ที่เกิดจากสัญญาณเขียน (WRITE) จะมีจำนวน 1024 ลูก วงจรมับแต่ละภาคจะนับอิสระต่อกัน โดยที่ชุดบนจะเป็นช่องสัญญาณ A และชุดล่างก็จะเป็นช่องสัญญาณ B

ส่วนวงจรมัลติเพล็กซ์ จะใช้ ไอซีเบอร์ 74157 ทำหน้าที่เป็นเลือกสัญญาณข้อมูลจากวงจรมับเพื่อไปเป็นแอดเดรสให้ RAM โดยสัญญาณ A_2 จะเลือกว่าจะเป็นข้อมูลจากวงจรมับชุดใด

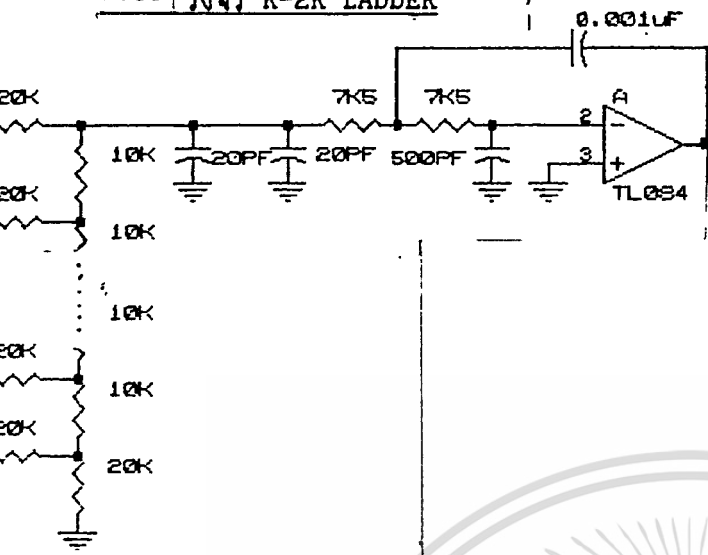


รูปแสดง วงจรหน่วยความจำ

และในวงจรเกทจะมีอินพุทของพัลส์ ที่เกิดจากการเขียนข้อมูลลงในหน่วยความจำแรม ซึ่งลักษณะการทำงานของหน่วยความจำชนิดนี้ คือจะมีการอ่านข้อมูลจากหน่วยความจำเป็นจำนวน 1024 ไบท์ก่อน จากนั้นจึงจะเขียนข้อมูลลงไปเป็นจำนวน 1 ไบท์ (เป็นการดำเนินงานต่อหนึ่งช่องสัญญาณ)

เอกสารนี้เป็นเอกสารที่สงวนไว้สำหรับการใช้งานเพื่อการศึกษาเท่านั้น ไม่อนุญาตให้นำไปใช้ประโยชน์ด้านการค้า
ไม่ว่ากรณีใดๆทั้งสิ้น อีกทั้งห้ามมิให้ดัดแปลงเนื้อหา และต้องอ้างอิงถึงเจ้าของเอกสารทุกครั้งที่มีการนำไปใช้

3.18 วงจร R-2R LADDER

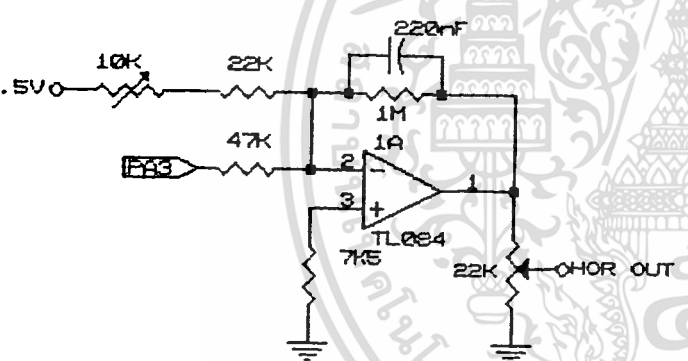


วงจรส่วนนี้จะทำหน้าที่เปลี่ยนสัญญาณดิจิทัล
ไปเป็นสัญญาณอนาล็อก โดยมีความสัมพันธ์
ระหว่างเอาพุทกับอินพุท ดังสมการนี้

$$V_o = V_{in} (D_7/2 + D_6/4 + \dots \\ \dots + D_1/128 + D_0/256)$$

โดยที่ $D_0 - D_7$ เป็น 1 หรือ 0

3.19 วงจรสร้างสัญญาณเรสเทอรั



สัญญาณเรสเทอรัที่สร้างมีความถี่ 62.5

KHz สัญญาณนี้ถูกสร้างโดยการนำเอาสัญญาณนาฬิกาความถี่ 125 KHz มาผ่านวงจรหารสอง (โดยใช้ JK-FLIP FLOP)

จากนั้นจะนำสัญญาณ 62.5 KHz ซึ่งมีลักษณะเป็นรูปสี่เหลี่ยม ไปผ่านวงจรอินทิเกรท เพื่อเปลี่ยนให้เป็นสัญญาณรูปสามเหลี่ยม จากรูปความต้านทาน R_2 ประมาณ 10 M ใช้ในการให้ไบอัสแก่ออปแอมป์ ส่วน

ความต้านทานปรับค่าได้ R_4 จะเป็นตัวปรับค่าดีซีออฟเซ็ทของสัญญาณเอาพุท

วงจรดังกล่าวสามารถแสดงด้วยสมการ

$$V_o = -(1/R_1 C_f) \int V_{in} dt$$

INTEGRATOR CROSSOVER FREQUENCY: $f_1 = 1/2\pi R_1 C_f$

ส่วนวงจรสร้างสัญญาณรูปฟันเลื่อย ที่ใช้ในส่วนสแกนจอภาพในแนวนอน จะสร้างโดยใช้สัญญาณอินพุทที่มีอัตรา ไซเคิล ตามต้องการป้อนเข้าไปยังวงจรอินทิเกรท ดังรูป

เอกสารนี้เป็นเอกสารที่สงวนไว้สำหรับการใช้งานเพื่อการศึกษาเท่านั้น ไม่อนุญาตให้นำไปใช้ประโยชน์ด้านการค้า
ไม่ว่ากรณีใดๆทั้งสิ้น อีกทั้งห้ามมิให้ตัดแปลงเนื้อหา และต้องอ้างอิงถึงเจ้าของเอกสารทุกครั้งที่มีการนำไปใช้

3.20 การทำงานของส่วนควบคุม

ส่วนควบคุมการทำงานของเครื่องวัดสัญญาณไฟฟ้าและหัวใจ 2 ช่องสัญญาณจะใช้ไมโครโปรเซสเซอร์ โดยจะสร้างสัญญาณควบคุมการทำงานต่าง ๆ ได้แก่

ส่วนสร้างสัญญาณฟันเลื่อย (SAWTOOTH) สำหรับขดลวดในแนวนอน

ส่วนสร้างสัญญาณควบคุมการทำงานของวงจรแปลงสัญญาณไฟฟ้าเป็นสัญญาณดิจิตอล

ส่วนสร้างสัญญาณควบคุมสำหรับการอ่านข้อมูลในหน่วยความจำมาใช้และการเขียนข้อมูลในหน่วยความจำ

ส่วนสร้างสัญญาณควบคุมการแสดงผลอักษรบนจอภาพ

ส่วนสร้างสัญญาณควบคุมการมัลติเพล็กซ์ ของสัญญาณสำหรับขดลวดในแนวตั้ง

ไมโครโปรเซสเซอร์ยังทำงานอื่น ๆ ได้แก่การนำข้อมูลจากวงจรนับคาบเวลาระหว่างสัญญาณ มาคำนวณหาอัตราการเต้นหรืออัตราการหายใจ ของสัญญาณโดยการทำงานต่าง ๆ จะใช้โปรแกรมในการสร้างสัญญาณควบคุมและคำนวณหาค่าต่าง ๆ

3.21 วงจรควบคุมการทำงาน

วงจรควบคุมจะใช้เป็นไมโครโปรเซสเซอร์ โดยจะใช้ Z-80 ที่มีความถี่ของสัญญาณนาฬิกา = 40 MHz และจะใช้โปรแกรมในการสร้างสัญญาณ โดยจะมีวงจรของส่วนควบคุมที่เพิ่มขึ้นจากวงจรของไมโครโปรเซสเซอร์ Z-80 ดังรูป

ซึ่งจะมีการกำหนดค่าต่าง ๆ สำหรับการเริ่มทำงานของโปรแกรกดังนี้

PORT F3 เป็น CONTROL WORD ของ 8255

F0 เป็น PORT A ของ 8255

F1 เป็น PORT B ของ 8255

F2 เป็น PORT C ของ 8255

PORT 60 เป็นข้อมูล LOW BYTE ของคาบเวลาระหว่างสัญญาณไฟฟ้าหัวใจ

PORT 61 เป็นข้อมูล HIGH BYTE ของคาบเวลาระหว่างสัญญาณไฟฟ้าหัวใจ

PORT 62 เป็นข้อมูล LOW BYTE ของคาบเวลาระหว่างสัญญาณหายใจ

PORT 63 เป็นข้อมูล HIGH BYTE ของคาบเวลาระหว่างสัญญาณไฟฟ้าหายใจ

กำหนดให้ IX = 1800

IY = 1900

ADDRESS 1831	เป็นค่าสำหรับการหาค่าเฉลี่ยของสัญญาณ
IX+0	เก็บข้อมูลที่อ่านได้จาก PORT 60
IX+1	เก็บข้อมูลที่อ่านได้จาก PORT 61
IX+2	เก็บข้อมูลที่อ่านได้จาก PORT 62
IX+3	เก็บข้อมูลที่อ่านได้จาก PORT 63
IX+4	เก็บข้อมูลของ LOW BYTE อัตราการเต้นของหัวใจสะสม
IX+5	เก็บข้อมูลของ HIGH BYTE อัตราการเต้นของหัวใจสะสม
IX+6	เก็บข้อมูลของ LOW BYTE อัตราการเต้นของหายใจสะสม
IX+7	เก็บข้อมูลของ HIGH BYTE อัตราการเต้นของหายใจสะสม
IX+10H	เก็บข้อมูลหลักร้อยละของอัตราการเต้นของสัญญาณไฟฟ้าหัวใจ
IX+11H	เก็บข้อมูลหลักสิบของอัตราการเต้นของสัญญาณไฟฟ้าหัวใจ
IX+12H	เก็บข้อมูลหลักหน่วยของอัตราการเต้นของสัญญาณไฟฟ้าหัวใจ
IX+13H	
IX+14H	
IX+15H	เก็บข้อมูลสำหรับแสดงคำว่า " ครึ่งนาที H "
IX+16H	
IX+17H	
IY+0	เก็บข้อมูล LOW BYTE ของค่าเฉลี่ยของคาบเวลาของ อัตราการเต้นของหัวใจ
IY+1	เก็บข้อมูล HIGH BYTE ของค่าเฉลี่ยของคาบเวลาของ อัตราการเต้นของหัวใจ
IY+2	เก็บข้อมูล LOW BYTE ของค่าเฉลี่ยของคาบเวลาของ อัตราการเต้นของหายใจ
IY+3	เก็บข้อมูล HIGH BYTE ของค่าเฉลี่ยของคาบเวลาของ อัตราการเต้นของหายใจ

เอกสารนี้เป็นเอกสารที่สงวนลิขสิทธิ์การใช้งาน เก็บข้อมูล LOW BYTE ของค่าเฉลี่ยอัตราการเต้นของหัวใจ
ไม่ว่ากรณีใดๆทั้งสิ้น อีกทั้งห้ามมิให้ตัดแปลงเนื้อหา และต้องอ้างอิงถึงเจ้าของเอกสารทุกครั้งที่มีการนำไปใช้

	หัวใจ (เป็นเลขฐาน16)
IY+5	เก็บข้อมูล HIGH BYTE ของค่าเฉลี่ยอัตราการเต้นของหัวใจ (เป็นเลขฐาน16)
IY+6	เก็บข้อมูล LOW BYTE ของค่าเฉลี่ยอัตราการเต้นของหายใจ (เป็นเลขฐาน16)
IY+7	เก็บข้อมูล HIGH BYTE ของค่าเฉลี่ยอัตราการเต้นของหายใจ (เป็นเลขฐาน16)
IY+8	เก็บข้อมูลหลักสิบและหลักหน่วยของอัตราการเต้นของหัวใจ
IY+9	เก็บข้อมูลหลักร้อยและหลักหน่วยของอัตราการเต้นของหัวใจ
IY+0AH	เก็บข้อมูลหลักสิบและหลักหน่วยของอัตราการเต้นของหายใจ
IY+0BH	เก็บข้อมูลหลักร้อยและหลักหน่วยของอัตราการเต้นของหายใจ
IY+10H	เก็บข้อมูลหลักร้อยสำหรับแสดงค่าอัตราการหายใจ บนจอภาพ
IY+11H	เก็บข้อมูลหลักสิบสำหรับแสดงค่าอัตราการหายใจ บนจอภาพ
IY+12H	เก็บข้อมูลหลักหน่วยสำหรับแสดงค่าอัตราการหายใจ บนจอภาพ
IY+13H	
IY+14H	
IY+15H	เก็บข้อมูลสำหรับแสดงคำว่า " ครึ่ง:นาที R "
IY+16H	
IY+17H	

และ PORT A ของ 8255 จะ เป็นสัญญาณควบคุม โดยจะมีการกำหนดสัญญาณต่าง ๆ ดังนี้

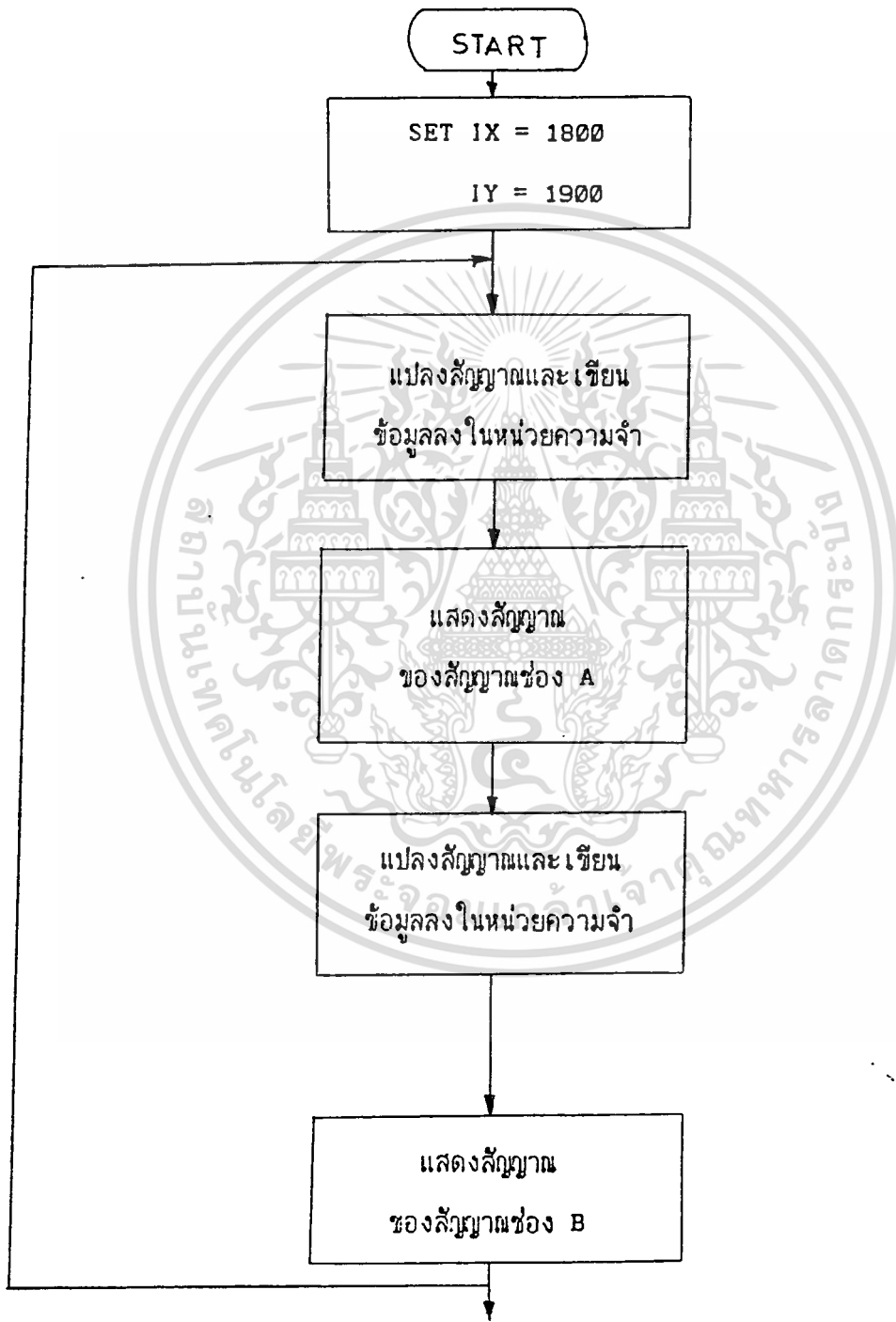
บิต 0 เป็นสัญญาณสำหรับ อ่านค่าจากหน่วยความจำ เพื่อแสดงผลออกจอภาพ

- 1 เป็นสัญญาณสำหรับ ให้มีการแสดงตัวอักษรออกทางจอภาพ
- 2 เป็นสัญญาณสำหรับ การกำหนดให้แสดงสัญญาณของทางจอภาพ
- 3 เป็นสัญญาณสำหรับสร้างสัญญาณรูปฟัน เลื่อยในขดลวดแวนอน
- 4 สัญญาณสำหรับกำหนดให้มีการแปลงค่าของสัญญาณไฟฟ้า เป็นดิจิตอล
- 5 สัญญาณสำหรับกำหนดให้มีการ เลือกช่องของสัญญาณ
- 6 สัญญาณสำหรับกำหนดให้มี การเขียนข้อมูลดิจิตอลลงในหน่วยความจำ

7 สัญญาณสำหรับการกำหนดให้ สัญญาณรอสเตอร์ทำงานกับส่วนสัญญาณภาพ

เอกสารนี้เป็นเอกสารที่สงวนไว้สำหรับการใช้งานเพื่อการศึกษาเท่านั้น ไม่อนุญาตให้ทำไปใช้ประโยชน์ด้านการค้า
ไม่ว่ากรณีใดๆทั้งสิ้น อีกทั้งห้ามมิให้ตัดแปลงเนื้อหา และต้องอ้างอิงถึงเจ้าของเอกสารทุกครั้งที่มีการนำไปใช้

PORT B ของ 8255 เป็นข้อมูลสำหรับแสดงตัวอักษรบนจอภาพโดยใช้
 บิต 0,1,2,3,4 เป็นตัวกำหนดค่าให้วงจรสร้างสัญญาณภาพ
 การทำงานของโปรแกรมที่ใช้งาน (FLOW CHART)



เอกสารนี้เป็นเอกสารที่สงวนไว้สำหรับการใช้งานเพื่อการศึกษาเท่านั้น ไม่อนุญาตให้นำไปใช้ประโยชน์ด้านการค้า
 ไม่ว่ากรณีใดๆทั้งสิ้น อีกทั้งห้ามมิให้ดัดแปลงเนื้อหา และต้องอ้างอิงถึงเจ้าของเอกสารทุกครั้งที่มีการนำไปใช้

โปรแกรม

```
LD IX , 1800H
LD IY , 1900H
LD A , 81H ; SET PORT 8255
OUT ( F3 ) , A
LD A , 08H
OUT ( F0 ) , A
LOOP CALL WRITE
CALL DELAY
CALL SCAN A
JR NEXT
NEXT : CALL WRITE
CALL DELAY
CALL SCAN B
JR LOOP
; WRITE SUBROUTINE
LD A , 18H
OUT ( F0 ) , A
LD A , 08H
OUT ( F0 ) , A
LD B , 24H
A1 : DEC B
JR NZ , A1
LD A , 48J
OUT ( F0 ) , A
LD A , 08H
OUT ( F0 ) , A
```

เอกสารนี้เป็นเอกสารที่สงวนไว้สำหรับการศึกษาเท่านั้น ไม่อนุญาตให้นำไปใช้ประโยชน์ด้านการค้า
ไม่ว่ากรณีใดๆทั้งสิ้น อีกทั้งห้ามมิให้ตัดแปลงเนื้อหา และต้องอ้างอิงถึงเจ้าของเอกสารทุกครั้งที่มีการนำไปใช้

```

        OUT    ( F0 ) , A
        LD     A , 38H
A2 :    DEC    B
        JR     NZ , A2
        NOP
        LD     A , 68H
        OUT    ( F0 ) , A
        LD     A , 28H
        OUT    ( F0 ) , A
        RET
; DELAYSUBROUTINE
        LD     B , 1AH
A3 :    NOP
        DJ     NZ , A3
        LD     B , 49H
A4 :    DEC    B
        JR     NZ , A4
        RET
SCAN A SUBROUTINE
        LD     A , 01H
        OUT    ( F0 ) , A
        LD     B , 1EH
        DEC    B
        JR     NZ , A
        CALL   DELAY1
        LD     A , 05H
        OUT    ( F0 ) , A
        CALL   CHECK-COUNT

```

เอกสารนี้เป็นเอกสารที่สงวนไว้สำหรับการใช้งานเพื่อการศึกษาเท่านั้น ไม่อนุญาตให้นำไปใช้ประโยชน์ด้านการค้า
ไม่ว่ากรณีใดๆทั้งสิ้น อีกทั้งห้ามมิให้ดัดแปลงเนื้อหา และต้องอ้างอิงถึงเจ้าของเอกสารทุกครั้งที่มีการนำไปใช้

```

        JR    . NZ , NEXT1
        CALL  READ_DATA .
        CALL  AVG_HEART
        CALL  AVG_RESP
        CALL  HEART_RATE
        CALL  HEART_BCD
        CALL  HEART_DISPLAY

NEXT 1:
        LD    B , B0H
A5:     NOP
        DJNZ  A5
        LD    B , C1H
A6:     DEC   B
        JR    NZ , A6
        LD    A , ( IX+10H )
        OUT  ( F1 ) , A
        LD    A , 82H
        OUT  ( F0 ) , A
        LD    HL , 1811H
        LD    B , 07H
A8:     LD    C , 3CH
A7:     DEC   C
        JR    NZ , A7
        LD    A , ( HL )
        OUT  ( F1 ) , A
        INC  HL
        DJNZ A8
        LD    B , 48H

```

เอกสารนี้เป็นเอกสารที่สงวนไว้สำหรับกรใช้เฉพาะเพื่อการศึกษาเท่านั้น ไม่นอนุญาตให้นำไปใช้ประโยชน์ด้านการค้า
ไม่ว่ากรณีใดๆทั้งสิ้น อีกทั้งห้ามมิให้ดัดแปลงเนื้อหา และต้องอ้างอิงถึงเจ้าของเอกสารทุกครั้งที่มีการนำไปใช้

```

A9:   DEC    B
      JR     NZ , A9
      SET   0 , ( HL )
      LD    A , 08H
      OUT   ( F0 ) , A
      RET

```

SCAN B SUBROUTINE

```

      LD    A , 21H
      OUT   ( F0 ) , A
      LD    B , 1EH
B1:   DEC    B
      JR     NZ , B1
      CALL  DELAY1
      LD    A , 25H
      OUT   ( F0 ) , A
      CALL  CHECK_COUNT
      JR     NZ , NEXT2
      CALL  READ_DATA
      CALL  AVG_HEART
      CALL  AVG_RESP
      CALL  AVG_RATE
      CALL  RESP_BCD
      CALL  RESP_DISPLAY
      LD    B , AFH
B2:   NOP
      DJNZ  B2

```

เอกสารนี้เป็นเอกสารที่สงวนลิขสิทธิ์สำหรับ B, C2H เพื่อการศึกษาเท่านั้น ไม่อนุญาตให้นำไปใช้ประโยชน์ด้านการค้า
ไม่ว่ากรณีใดๆ B3: นั้น อีกที่ DEC จะมีให้ B แปลงเนื้อหา และต้องอ้างอิงถึงเจ้าของเอกสารทุกครั้งที่มีการนำไปใช้

```

LD H , ( IX+5 )
LD E , L
LD D , H
LD B , 04H

```

```

C3: SRL D
RR E
DJNZ C3

```

```

XOR A

```

```

SBC HL , DE

```

```

LD E , ( IX+0 )

```

```

LD D , ( IX+1 )

```

```

ADC HL , DE

```

```

LD ( IX+4 ) , L

```

```

LD ( IX+5 ) , H

```

```

LD B , 04H

```

```

C4: SRL H
RR L
DJNZ C4

```

```

LD ( IY+0 ) , L

```

```

LD ( IY+1 ) , H

```

```

RET

```

AVG_RESP SUBROUTINE

```

LD L , ( IX+6 )

```

```

LD H , ( IX+7 )

```

```

LD E , L

```

```

LD D , H

```

```

C5: SRL D

```

```

RR E

```

เอกสารนี้เป็นเอกสารที่สงวนไว้สำหรับการใช้งานเพื่อการศึกษาเท่านั้น ไม่อนุญาตให้นำไปใช้ประโยชน์ด้านการค้า
ไม่ว่ากรณีใดๆทั้งสิ้น อีกทั้งห้ามมิให้ดัดแปลงเนื้อหา และต้องอ้างอิงถึงเจ้าของเอกสารทุกครั้งที่มีการนำไปใช้

```

      JR    NZ , B3
      LD    A , ( 1Y+10H )
      OUT   ( F0 ) , A
      LD    A , A2H
      OUT   ( F0 ) , A
      LD    HL , 1911H
      LD    B , 07H
      LD    C , 3CH
B5:   DEC   C
B4:   JR    NZ , B4
      LD    A , ( HL )
      OUT   ( F1 ) , A
      INC   HL
      DJNZ  B5
      LD    B , 48H
B6:   DEC   B
      JR    NZ , B6
      SET  0 , ( HL )
      LD    A , 08H
      OUT   ( F0 ) , A
      RET

```

CHECK_COUNT SUBROUTINE

```

      LD    HL , 1830H
      LD    A , ( HL )
      DEC   A
      JR    Z , OUT

```

```

      LD    ( HL ) , A

```

```

      LD    B , C8H

```

เอกสารนี้เป็นเอกสารที่สงวนไว้สำหรับการใช้ภายในเพื่อการศึกษาเท่านั้น ไม่อนุญาตให้นำไปใช้ประโยชน์ด้านการค้า
ไม่ว่ากรณีใดๆทั้งสิ้น อีกทั้งห้ามมิให้คัดลอกสงวนเนื้อหา และต้องอ้างอิงถึงเจ้าของเอกสารทุกครั้งที่มีการนำไปใช้

```

C1:   DEC   B
      JR   NZ , C1
      LD   B , B3H

C2:   DEC   B
      JR   NZ , C2

      NOP
      NOP
      NOP
      OR   0FH

```

```

OUT:  INC   HL
      LD   A , ( HL )
      DEC  HL
      LD   A , ( HL )
      AND  00H
      RET

```

READ_DATA SUBROUTINE

```

IN   A , 60H
LD   ( IX+0 ) , A
LD   A , 61H
LD   ( IX+1 ) , A
LD   A , 62H
LD   ( IX+2 ) , A
LD   A , 63H
LD   ( IX+3 ) , A
RET

```

AVG_HEART SUBROUTINE

เอกสารนี้เป็นเอกสารที่สงวนไว้สำหรับการใช้งานเพื่อการศึกษาเท่านั้น ไม่อนุญาตให้นำไปใช้ประโยชน์ด้านการค้า
 LD L , (IX+4)
 ไม่ว่าจะกรณีใดๆทั้งสิ้น อีกทั้งห้ามมิให้ดัดแปลงเนื้อหา และต้องอ้างอิงถึงเจ้าของเอกสารทุกครั้งที่มีการนำไปใช้

```

DJNZ C5
XOR A
SBC HL , DE
LD E , ( IX+2 )
LD D , ( IX+3 )
ADC HL , DE
LD ( IX+6 ) , L
LD ( IX+7 ) , H
LD B , 04H
C6: SRL H
RR L
DJNZ C6
LD ( IY+2 ) , L
LD ( IY+3 ) , H
RET
HEART_RATE SUBROUTINE
LD E , ( IY+0 )
LD D , ( IY+1 )
LD A , E
OR D
JR Z , ST
LD C , 60H
LD A , EAH
CALL DIV _16
LD ( IY+4 ) , C
LD ( IY+5 ) , A
RET

```

เอกสารนี้เป็นเอกสารที่สงวนไว้สำหรับเอกรใช้งานเพื่อการศึกษาเท่านั้น ไม่อนุญาตให้นำไปใช้ประโยชน์ด้านการค้า
 ST: LD B , 5AH
 ไม่ว่าจะกรณีใดๆทั้งสิ้น อีกทั้งห้ามมิให้ดัดแปลงเนื้อหา และต้องอ้างอิงถึงเจ้าของเอกสารทุกครั้งที่มีการนำไปใช้

```

C7:   DEC    B

      JR     NZ , C7

      LD     HL , 0000H

      LD     ( 1Y+4 ) , 00H

      LD     ( 1Y+5 ) , 00H

      RET

```

RESP_RATE SUBROUTINE

```

      LD     E , ( 1Y+2 )

      LD     D , ( 1Y+3 )

      LD     A , E

      OR     D

      JR     Z , ST13

      LD     C , 30H

      LD     A , 75H

      CALL  DIV_16

      LD     ( 1Y+6 ) , C

      LD     ( 1Y+7 ) , A

      RET

```

```

S1:   LD     B , 55AH

C8:   DEC    B

      JR     NZ , C8

      LD     HL , 0000H

      LD     ( 1Y+6 ) , 00H

      LD     ( 1Y+7 ) , 00H

      RET

```

HEART_DISPLAY SUBROUTINE

```

      LD     A , ( 1Y+8 )

```

เอกสารนี้เป็นเอกสารที่สงวนลิขสิทธิ์ไว้เพื่อการศึกษาเท่านั้น ไม่อนุญาตให้นำไปใช้ประโยชน์ด้านการค้า
ไม่ว่ากรณีใดๆทั้งสิ้น อีกทั้งห้ามมิให้ดัดแปลงเนื้อหา และต้องอ้างอิงถึงเจ้าของเอกสารทุกครั้งที่มีการนำไปใช้

```

AND    0FH

LD     ( IX+12H ) , A

LD     A , B

SRL   A

SRL   A

SRL   A

SRL   A

LD     ( IX+11H ) , A

LD     A , ( IY+9 )

AND    0FH

LD     ( IX+10H ) , A

LD     ( IX+13H ) , 0AH

LD     ( IX+14H ) , 0BH

LD     ( IX+15H ) , 0CH

LD     ( IX+16H ) , 0DH

LD     ( IX+17H ) , 0EH

RET

```

RESP_DISPLAY SUBROUTINE

```

LD     A , ( IY+0AH )

LD     B , A

AND    0FH

LD     ( IY+12H ) , A

LD     A , B

SRL   A

SRL   A

SRL   A

SRL   A

```

เอกสารนี้เป็นเอกสารที่สงวนไว้ LD หรือการ (IY+11H),A ศึกษาเท่านั้น ไม่อนุญาตให้นำไปใช้ประโยชน์ด้านการค้า
ไม่ว่ากรณีใดๆทั้งสิ้น อีกทั้งห้ามมิให้ตัดแปลงเนื้อหา และต้องอ้างอิงถึงเจ้าของเอกสารทุกครั้งที่มีการนำไปใช้

```
LD      A,(1Y+0BH)
AND     0FH
LD      (1Y+10H),A
LD      (1Y+13H),0AH
LD      (1Y+14H),0BH
LD      (1Y+15H),0CH
LD      (1Y+16H),0DH
LD      (1Y+17H),0FH
RET
```

HEART BCD

```
LD      A,(1Y+4)
LD      (1820H),A
LD      A,(1Y+5)
LD      (1821H),A
CALL    HEX TO BCD
LD      A,(1822H)
LD      (1Y+8),A
LD      A,(1823H)
LD      (1Y+9),A
RET
```

RESP BCD

```
LD      A,(1Y+6)
LD      (1820H),A
LD      A,(1Y+7)
LD      (1821H),A
CALL    HEX TO BCD
LD      A,(1822H)
```

เอกสารนี้เป็นเอกสารที่สงวนลิขสิทธิ์ (LD) สำหรับ (1Y+0AH), A การศึกษาเท่านั้น ไม่อนุญาตให้นำไปใช้ประโยชน์ด้านการค้า
ไม่ว่ากรณีใดๆทั้งสิ้น อีกทั้งห้ามมิให้ดัดแปลงเนื้อหา และต้องอ้างอิงถึงเจ้าของเอกสารทุกครั้งที่มีการนำไปใช้

```

LD (1Y+0AH),A
LD A,(1823H)
LD (1Y+0BH),A
RET

```

HEX TO BCD SUBROUTINE

```

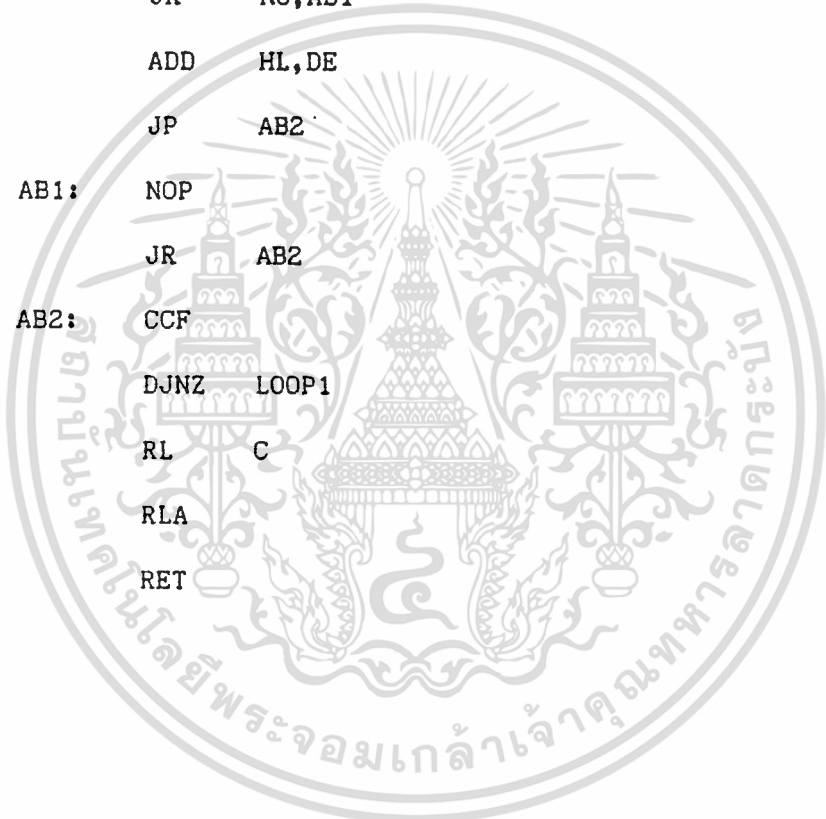
XOR A
LD HL,1822H
LD (HL),A
INC HL
LD (HL),A
LD C,10H
LOOP: LD L,20H
LD B,02H
SHLB: RL (HL)
INC HL
DJNZ SHLB
LD L,22H
LD B,02H
BCDADJ: LD A,(HL)
ADC A,A
DAA
LD (HL),A
INC HL
DJNZ BCDADJ
DEC C
JR NZ,LOOP
RET

```

เอกสารนี้เป็นเอกสารที่สงวนไว้สำหรับการใช้งานเพื่อการศึกษาเท่านั้น ไม่อนุญาตให้นำไปใช้ประโยชน์ด้านการค้า
ไม่ว่ากรณีใดๆทั้งสิ้น อีกทั้งห้ามมิให้ดัดแปลงเนื้อหา และต้องอ้างอิงถึงเจ้าของเอกสารทุกครั้งที่มีการนำไปใช้

DIVE 16 SUBROUTINE²

```
LD HL,0000
LD B,10H
LOOP 1: RL C
        RLA
        ADC HL,HL
        SBC HL,DE
        JR NC,AB1
        ADD HL,DE
        JP AB2
AB1: NOP
        JR AB2
AB2: CCF
        DJNZ LOOP1
        RL C
        RLA
        RET
```



เอกสารนี้เป็นเอกสารที่สงวนไว้สำหรับการใช้งานเพื่อการศึกษาเท่านั้น ไม่อนุญาตให้นำไปใช้ประโยชน์ด้านการค้า
ไม่ว่ากรณีใดๆทั้งสิ้น อีกทั้งห้ามมิให้ดัดแปลงเนื้อหา และต้องอ้างอิงถึงเจ้าของเอกสารทุกครั้งที่มีการนำไปใช้

บทที่ 4 การทดลองและผลการทดลอง

- ภาชนะขยายสัญญาณภาคแรก จะมีการแสดงสัญญาณที่จุดต่างๆดังต่อไปนี้

สัญญาณที่จุด A

สัญญาณที่จุด B

สัญญาณที่จุด C

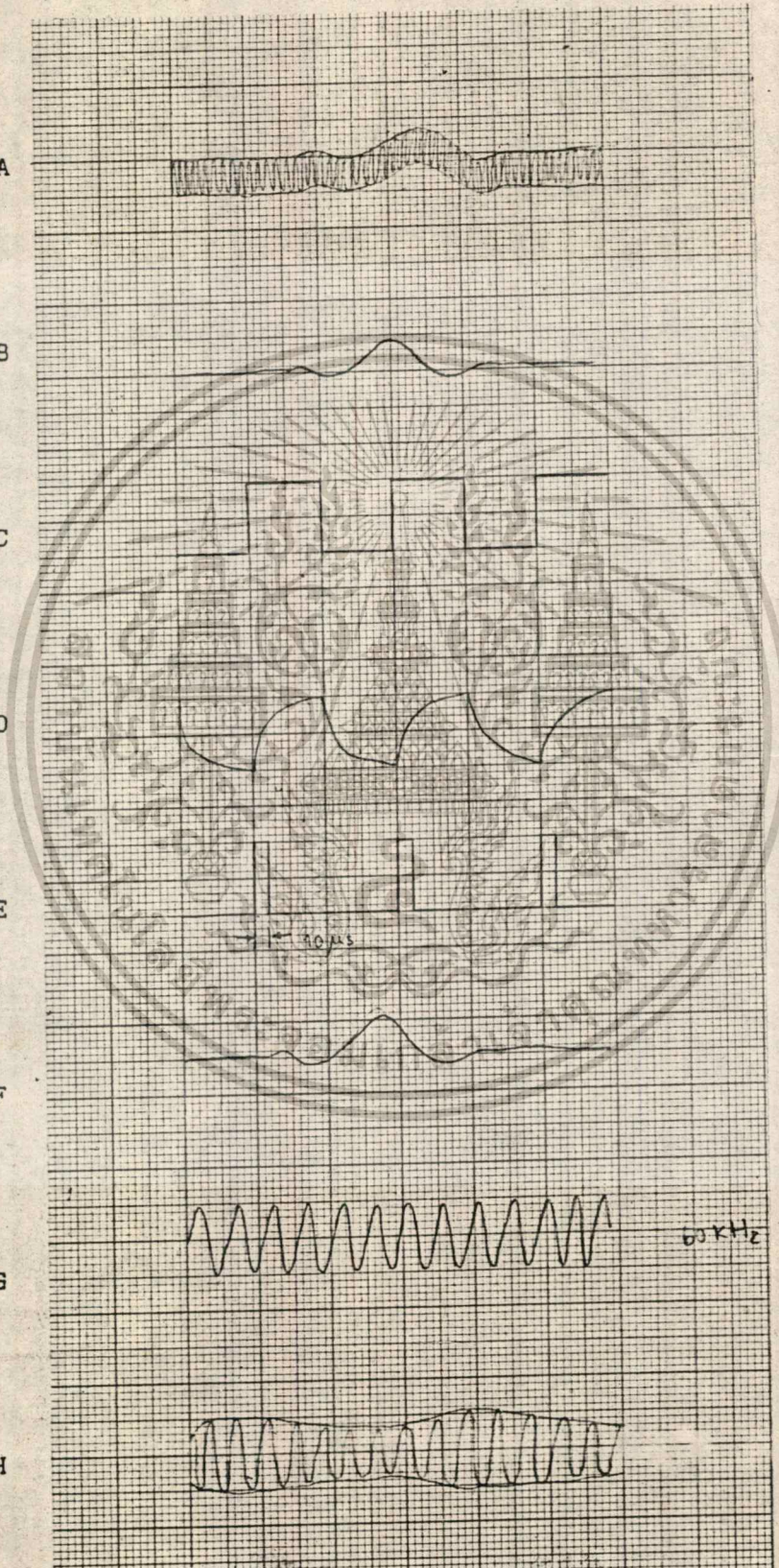
สัญญาณที่จุด D

สัญญาณที่จุด E

สัญญาณที่จุด F

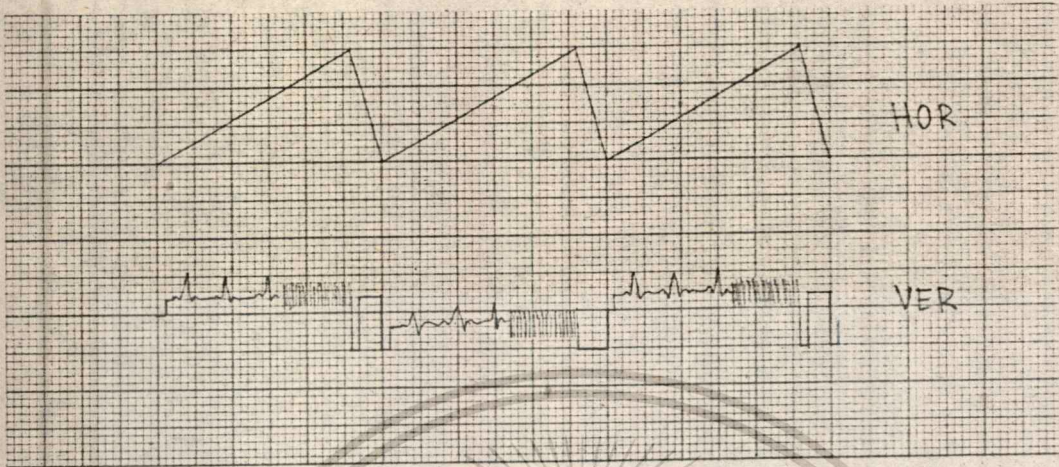
สัญญาณที่จุด G

สัญญาณที่จุด H

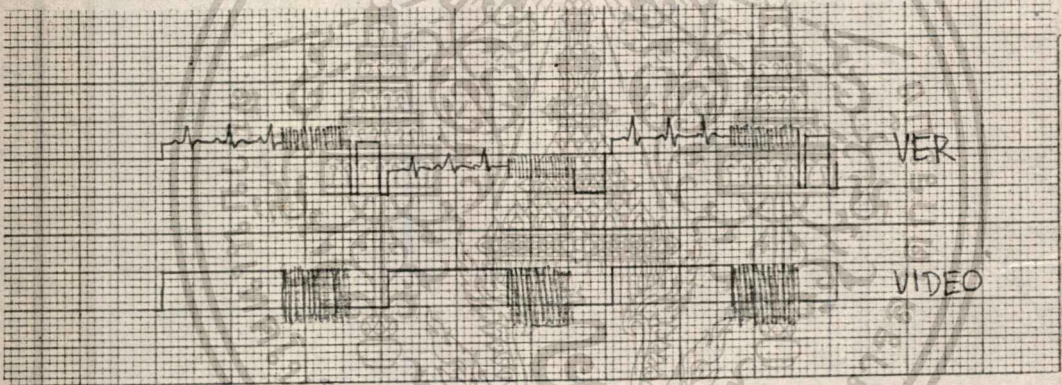


เอกสารนี้เป็นเอกสารที่สงวนไว้สำหรับการใช้งานเพื่อวัตถุประสงค์เฉพาะเท่านั้น เมื่ออนุญาตให้มาไปใช้ประโยชน์ด้านการค้า
ไม่ว่ากรณีใดๆทั้งสิ้น อีกทั้งห้ามมิให้ดัดแปลงเนื้อหา และต้องอ้างอิงถึงเจ้าของเอกสารทุกครั้งที่มีกรนำไปใช้

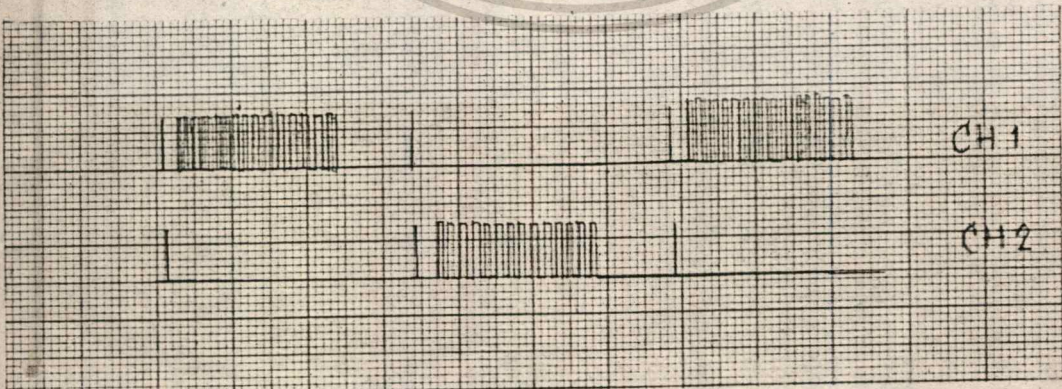
-ภาคแสดงสัญญาณไฟฟ้าออกจอกภาพ มีรูปสัญญาณต่างๆดังต่อไปนี้



สัญญาณไฟฟ้าในแนวตั้งกับสัญญาณไฟฟ้าในแนวรวม

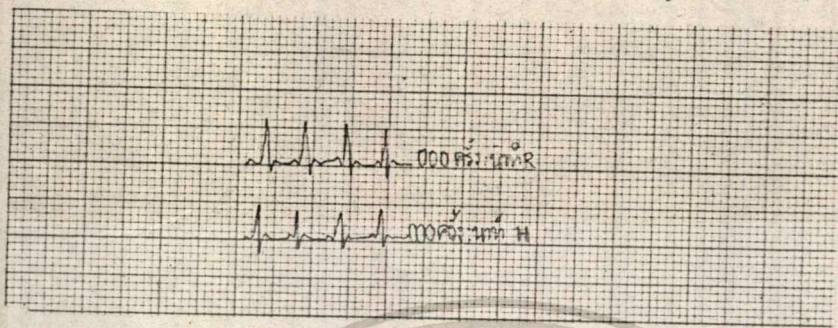


สัญญาณไฟฟ้าในแนวตั้งกับสัญญาณวิดีโอ



เอกสารนี้เป็นเอกสารที่สงวนลิขสิทธิ์ของช่องที่ 1 กับช่องที่ 2 ห้ามไปใช้ประโยชน์ด้านการค้า
ไม่ว่ากรณีใดๆทั้งสิ้น อีกทั้งห้ามมิให้ตัดแปลงเนื้อหา และต้องอ้างอิงถึงเจ้าของเอกสารทุกครั้งที่มีการนำไปใช้

ภาพที่จะปรากฏบนจอภาพ คือ



-ภาพที่ปรากฏบนจอภาพบริเวณเริ่มของจอภาพจะมีอาการพลัว เนื่องจากวงจรขยายกำลังของขดลวดหักเห เกิดการอิ่มตัวที่บริเวณเริ่มของจอภาพ เพราะไม่สามารถจ่ายแรงดันไฟฟ้าให้แก่ขดลวดได้เพียงพอ

-ส่วนสร้างสัญญาณวีดีโอ ไม่สามารถทำงานอักษรอยู่โดยไม่หมุนได้ โดยการใช้การทำงานของซอเฟวร์อย่างเดียวยังเพิ่มวงจรบางส่วนเพื่อให้วงจรสามารถทำงานพร้อมกันได้

-ความถี่ของจอภาพปกติความถี่ในแนวนอนจะมีค่าเท่ากับ 15 KHz และความถี่ในแนวตั้งจะเท่ากับ 50 KHz แต่ในปริกฏยานี้จะมีความถี่ในแนวนอนเท่ากับ 145 KHz โดยประมาณ

$$\begin{aligned} \text{โดยคำนวณมาจากเวลาที่ใช้ในการแสดงสัญญาณแต่ละช่อง} &= 27608 * (4 * 10^6)^{-1} \\ &= 6.902 * 10^{-3} \end{aligned}$$

ดังนั้นความถี่จะเท่ากับ 144.9 Hz

และความถี่ในแนวตั้งจะเท่ากับ ความถี่ของสัญญาณเรสเทอรั คือ 62.5 KHz

บทที่ 5 สรุป

เครื่องแสดงสัญญาณไฟฟ้าหัวใจและหายใจ 2 ช่องสัญญาณ ได้พัฒนาขึ้นเพื่อใช้งานร่วมกับไมโครโปรเซสเซอร์ เพื่อให้ระบบสามารถทำงานได้ง่ายขึ้น และสามารถเปลี่ยนการทำงานของวงจรได้ง่าย โดยการพัฒนาทางด้านซอฟต์แวร์ ซึ่งง่ายเพราะไม่จำเป็นต้องออกแบบส่วนสร้างสัญญาณควบคุมใหม่หมด เนื่องจากเป็นระบบฮาร์ดแวร์ ซึ่งเป็นการยากแก่การปรับปรุง

ปัญหาและข้อเสนอแนะเพื่อเป็นแนวทางในการพัฒนาระบบนี้มาใช้งาน คือ

1. เนื่องจากวงจรควบคุมเป็นไมโครโปรเซสเซอร์ ถ้าแหล่งจ่ายไฟเกิดมีปัญหาขึ้น เช่น ไฟดับ เป็นช่วงเวลาสั้นๆ จะทำให้ไมโครโปรเซสเซอร์หยุดการทำงาน ดังนั้นจำเป็นต้องมีการรีเซท และเริ่มให้โปรแกรมทำงานใหม่ จึงต้องออกแบบให้ไมโครโปรเซสเซอร์สามารถทำงานได้ทันทีเมื่อเกิดการรีเซท

2. เนื่องจากการแสดงตัวอักษรบนจอภาพนั้น ระบบต้องมีการทำงานที่พร้อมกัน และการควบคุมด้วยไมโครโปรเซสเซอร์นั้นเป็นการยาก การแก้ไขคือ ควรออกแบบฮาร์ดแวร์บางส่วน เพื่อให้ระบบสามารถทำงานได้พร้อมกัน เช่นในการสร้างสัญญาณวิดีโอ จะมีการสร้างสัญญาณRES เพื่อไปรีเซทวงจรสร้างฐานเวลา เพื่อให้ระบบสามารถทำงานได้พร้อมกัน

3. จอภาพที่นำมาใช้งานเป็นจอภาพขนาดเล็กและมีความโค้งของจอภาพมาก ทำให้ภาพที่ได้ไม่เป็นลิเนียร์ลิตี ซึ่งวิธีแก้ไขได้เช่น การปรับสัญญาณที่พื้นเสถียรเพื่อให้ภาพที่เห็นมีความเป็นลิเนียร์ลิตี หรือเปลี่ยนเป็นหลอดภาพที่มีความยาวมากขึ้น

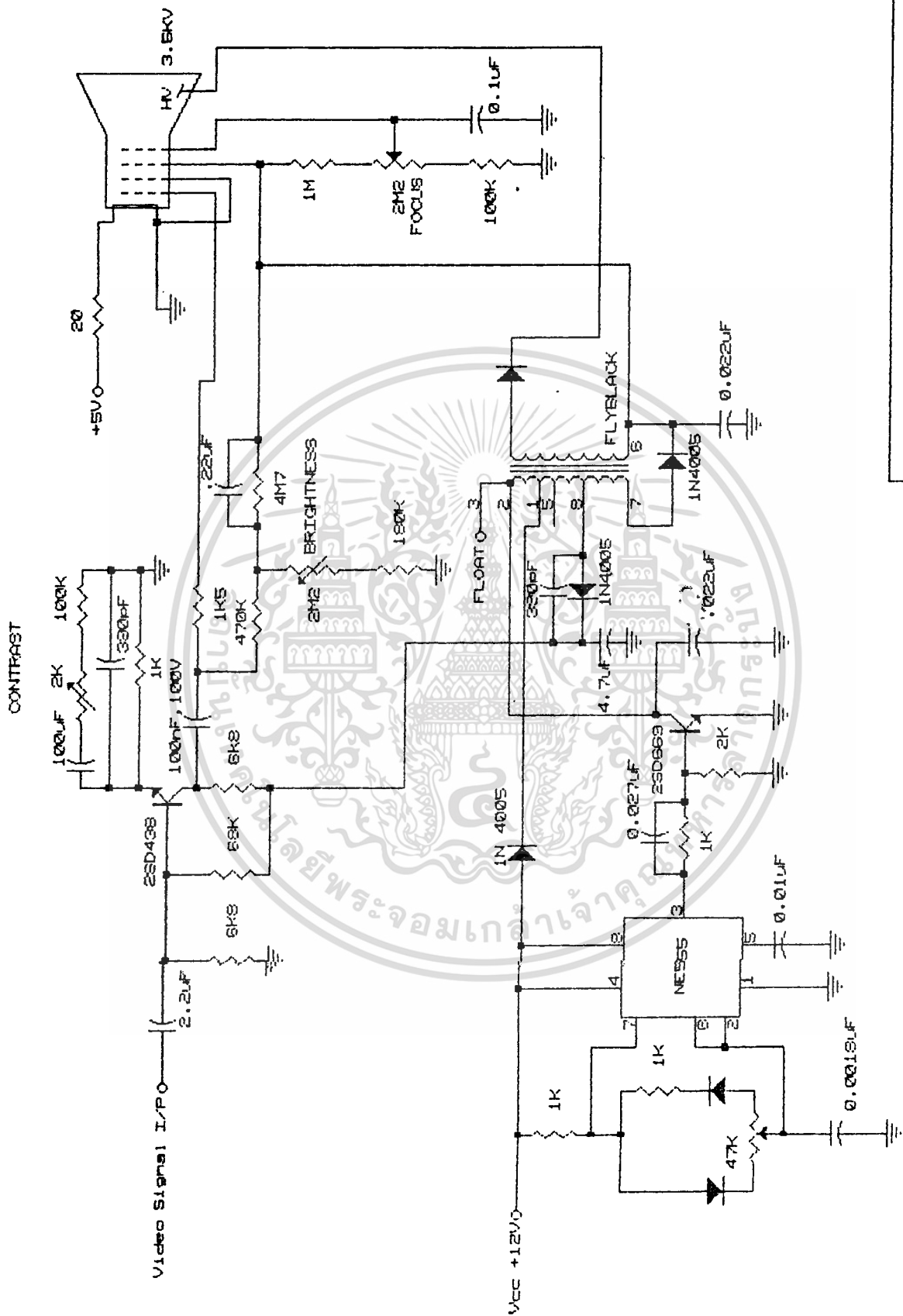
4. ภาพที่ได้มีการลั่นเนื่องมาจากการนำไมโครโปรเซสเซอร์มาควบคุมการทำงาน ทำให้ระบบทำงานไม่พร้อมกัน แก้ไขโดยการปรับปรุงส่วนฮาร์ดแวร์ให้สามารถทำงานพร้อมกับซอฟต์แวร์ได้ยิ่งขึ้น

5. ภาพที่ปรากฏเป็นภาพของสัญญาณไฟฟ้าหัวใจและหายใจเท่านั้น ซึ่งเมื่อมีการใช้ไมโครโปรเซสเซอร์มาควบคุม ทำง่ายต่อการควบคุมการสร้างสัญญาณภาพ จึงควรมีการแนะนำให้สามารถแสดงสัญญาณได้มากขึ้นเช่น สัญญาณแสดงแรงดันของเส้นเลือด เป็นต้น

ภาคผนวก
วงจรรที่ใช้งานจริงทั้งหมด

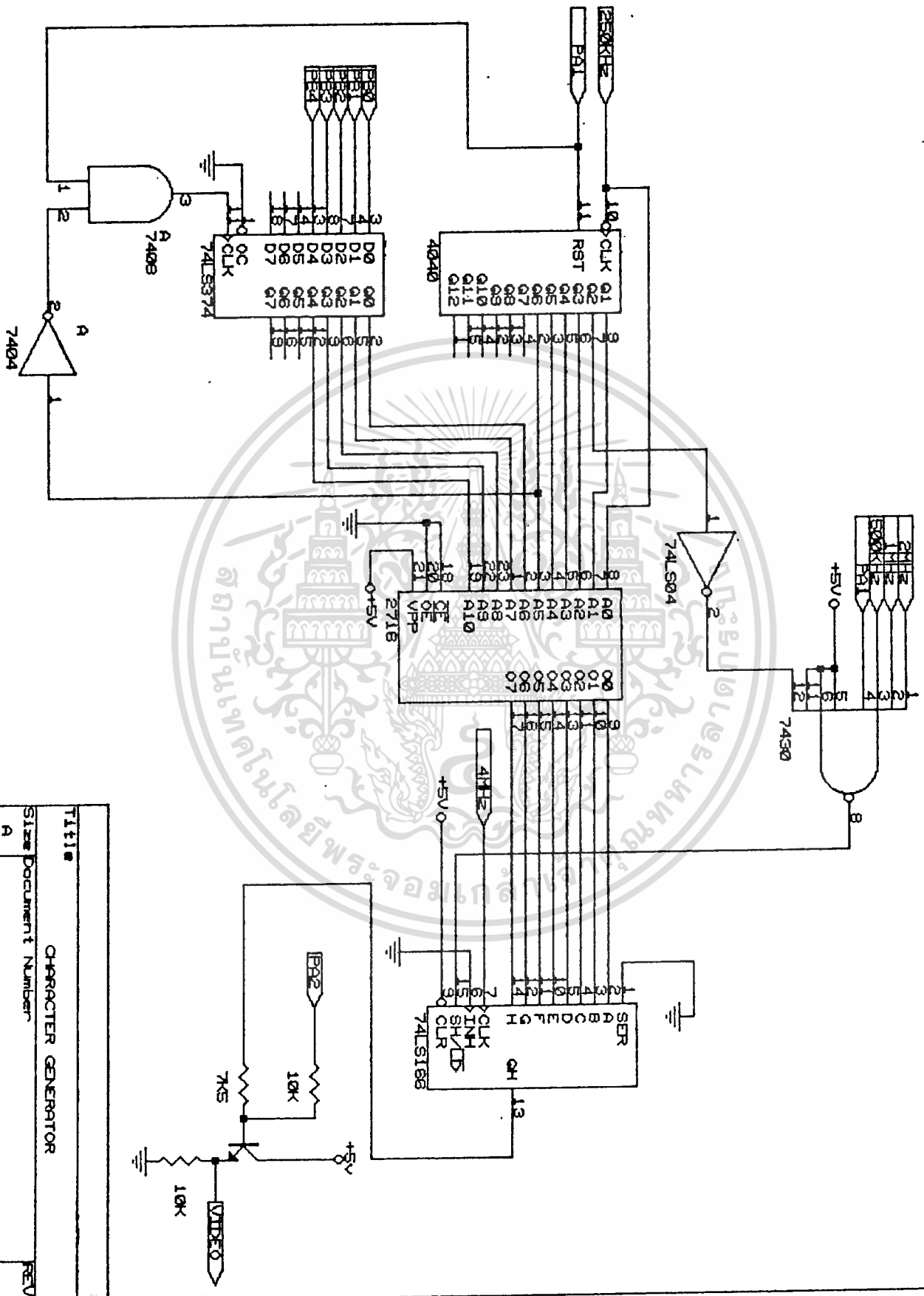


เอกสารนี้เป็นเอกสารที่สงวนไว้สำหรับการใช้งานเพื่อการศึกษาเท่านั้น ไม่อนุญาตให้นำไปใช้ประโยชน์ด้านการค้า
ไม่ว่ากรณีใดๆทั้งสิ้น อีกทั้งห้ามมิให้ดัดแปลงเนื้อหา และต้องอ้างอิงถึงเจ้าของเอกสารทุกครั้งที่มีการนำไปใช้



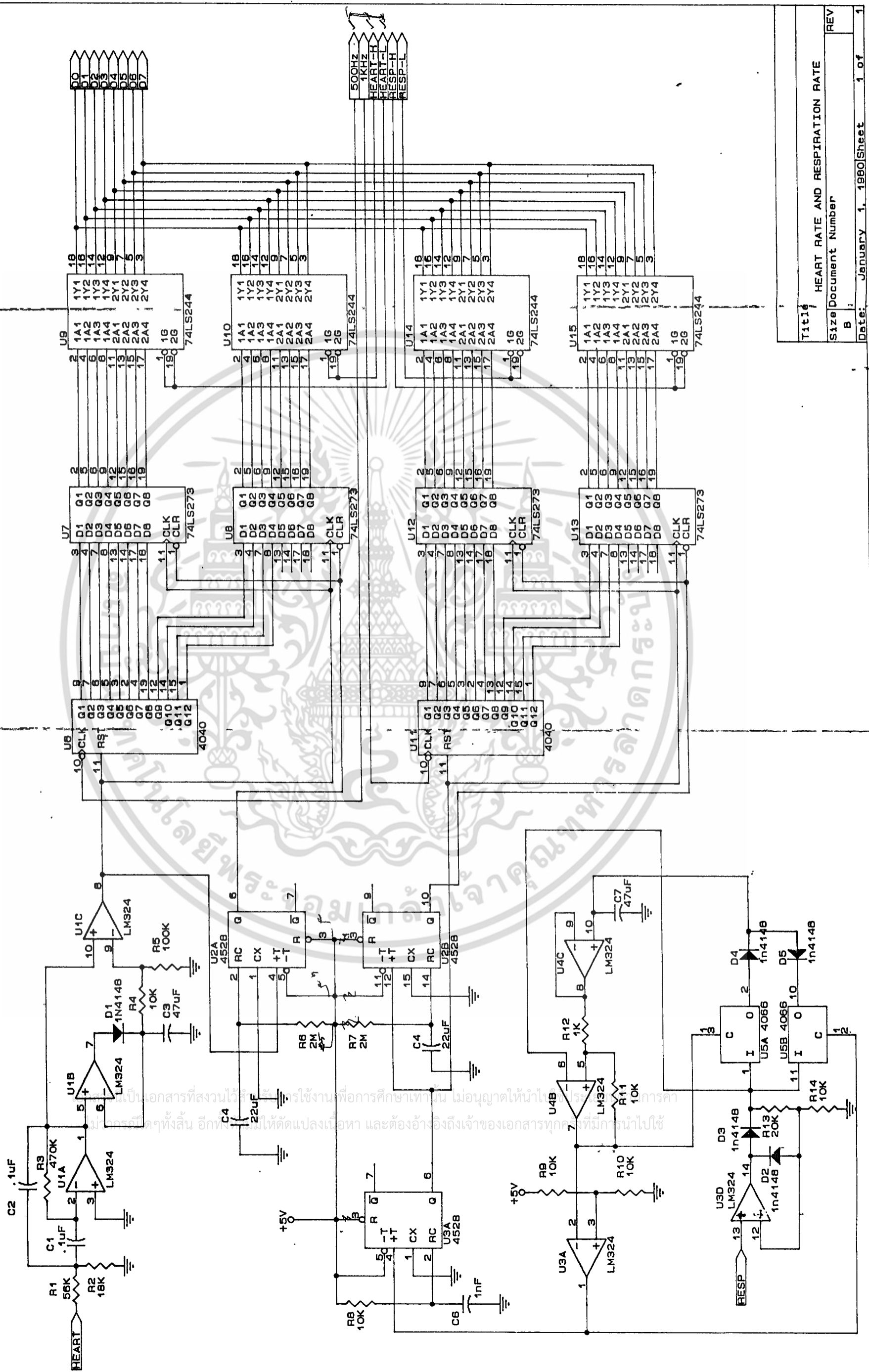
Size	Document Number
A	
Date:	January 1, 1980 Sheet of

เอกสารนี้เป็นเอกสารที่สงวนไว้สำหรับการใช้งานเพื่อการศึกษาเท่านั้น ไม่อนุญาตให้นำไปใช้ประโยชน์ด้านการค้า
ไม่ว่ากรณีใดๆทั้งสิ้น อีกทั้งห้ามมิให้ดัดแปลงเนื้อหา และต้องอ้างอิงถึงเจ้าของเอกสารทุกครั้งที่มีการนำไปใช้

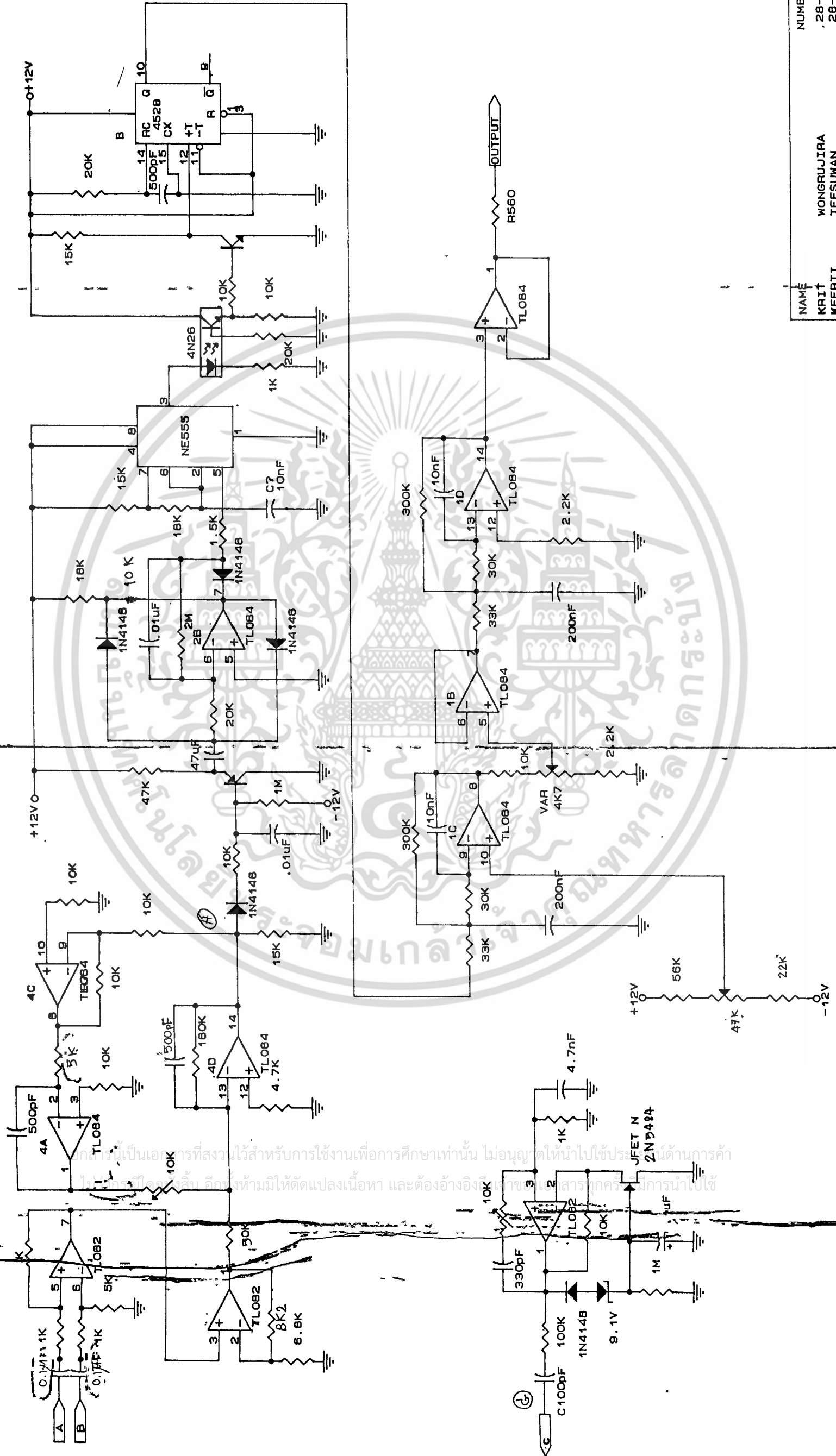


Title		CHARACTER GENERATOR
Size Document Number		A
Date:	January 3, 1980	Sheet 1 of 1

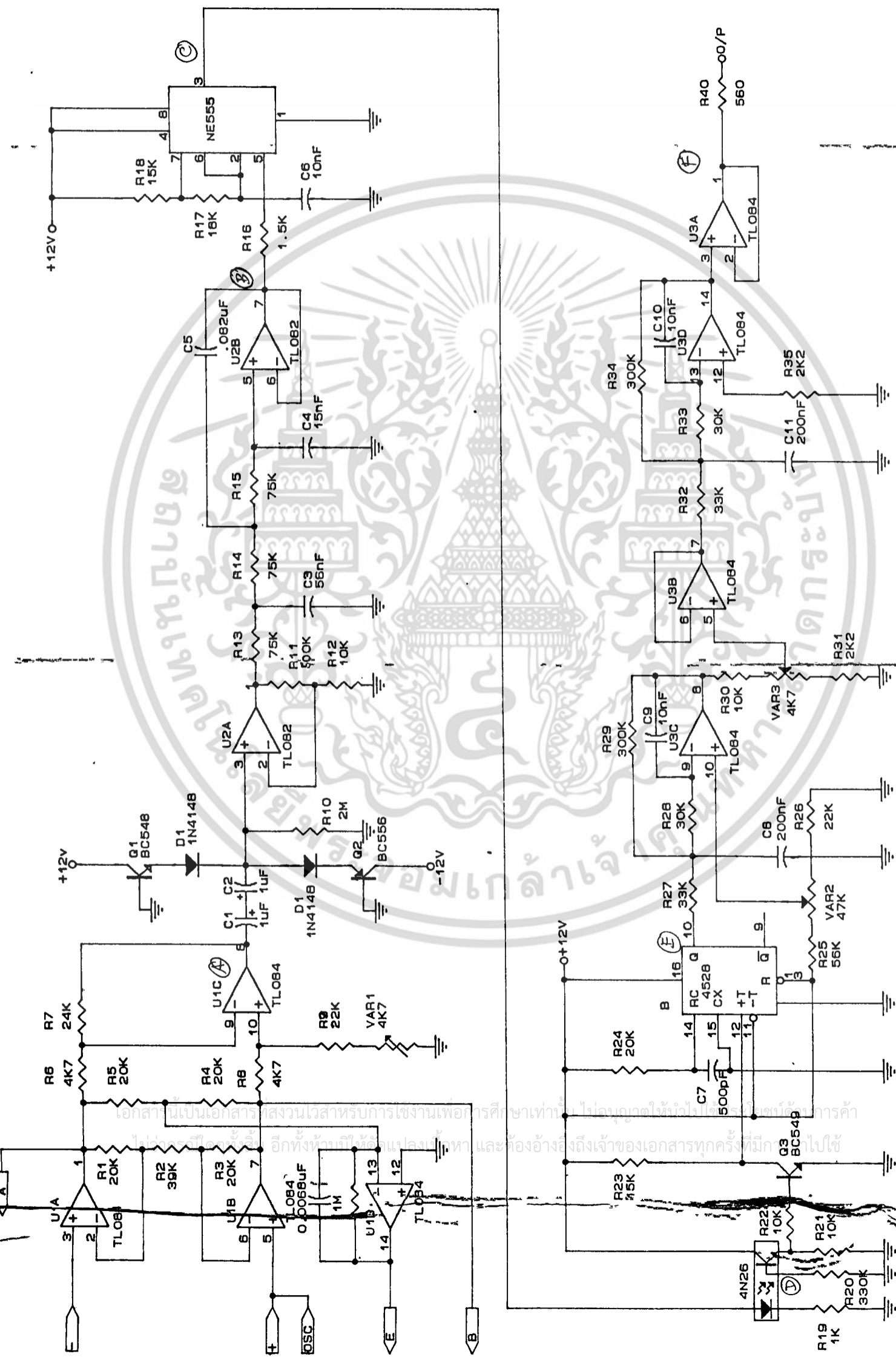
เอกสารนี้เป็นเอกสารที่สงวนไว้สำหรับการใช้งานเพื่อการศึกษาเท่านั้น ไม่อนุญาตให้นำไปใช้ประโยชน์ด้านการค้า
 ไม่ว่ากรณีใดๆทั้งสิ้น อีกทั้งห้ามมิให้ดัดแปลงเนื้อหา และต้องอ้างอิงถึงเจ้าของเอกสารทุกครั้งที่มีการนำไปใช้



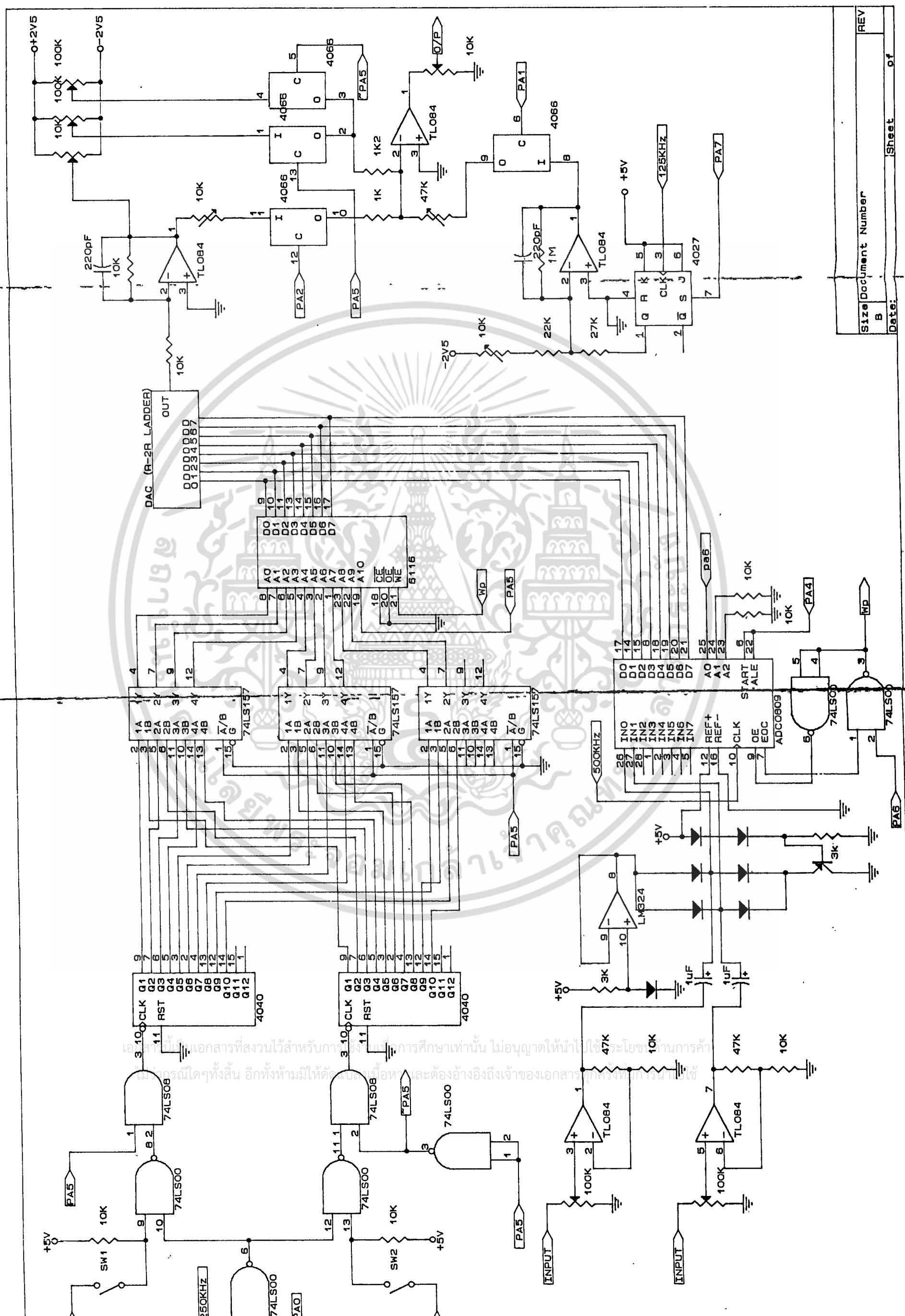
Title	HEART RATE AND RESPIRATION RATE
Size	Document Number
REV	B
Date	January 1, 1980
Sheet	1 of 1



NAME	NUMBER
KRIT	28-1018
KEERTI	28-1028
CHIRASAK	28-1049
CHALERMPOL	28-1055
Title	
PREAMPLIFIER 2	
Size	Document Number 458
B	REV
Date:	February 10, 1989
Sheet	2 of 2



KREERATI	TEESUMAN	28-1028
KRIT	WONGRUJIRA	28-1018
CHIRASAK	PRASITSAK	28-1049
CHALERMPOL	SIRIPORNMONGKOLCHAI	28-1055
Title PREAMPLIFIER		
Size	Document Number	1
REV		123
Date:	January 1, 1980	Sheet 1 of 2



เอกสารนี้เป็นเอกสารที่สงวนไว้สำหรับการใช้งานในการศึกษาเท่านั้น ไม่อนุญาตให้นำไปใช้ประโยชน์ทางการค้า
 ไม่ควรเผยแพร่โดยไม่ได้รับอนุญาต หากมีข้อผิดพลาดประการใดขออภัยและต้องอ้างอิงถึงเจ้าของเอกสารที่แท้จริง

concerned with reading the previous conversion result and starting the conversion by using the I/O clock. The internal system clock will drive the "conversion crunching" circuitry so that the control hardware and software need not be concerned with this task.

When \overline{CS} is high, the Data Out pin is in a high-impedance condition and the I/O clock pin is disabled. This feature allows each of these pins, with the exception of \overline{CS} , to share a control logic point with its counterpart pin when additional TLC548 or TLC549 devices are used. This serves to minimize the required control logic pins when using multiple TLC548 and TLC549 devices.

The control sequence has been designed to minimize the time and effort required to initiate conversion and obtain the conversion result. A normal control sequence is:

1. \overline{CS} is brought low. To minimize errors caused by noise at the \overline{CS} input, the internal circuitry waits for two rising edges and then a falling edge of the internal system clock after a \overline{CS} (high-to-low) transition before the transition is recognized. This technique is used to protect the device against noise when the device is used in a noisy environment. The MSB of the previous conversion result will automatically appear on the data out pin.
2. The negative edges of the first four I/O clocks shift out the 2nd, 3rd, 4th, and 5th most significant bits of the previous conversion result. The on-chip sample-and-hold begins sampling the analog input after the 4th falling edge. The sampling operation basically involves the charging of internal capacitors to the level of the analog input voltage.
3. Three more clock cycles are then applied to the I/O pin and the 6th, 7th, and 8th conversion bits are shifted out on the negative edges of these clock cycles.
4. The final (8th) clock cycle is applied to the I/O Clock pin. The on-chip sample-and-hold begins the hold function upon the falling edge of this clock cycle. The hold function will continue for the next four internal system clock cycles. After these four system clock cycles, the hold function ends and conversion is performed during the next 32 system clock cycles, giving a total of 36 cycles. After the 8th I/O clock cycle, \overline{CS} must go high or the I/O clock must remain low for at least 36 system clock cycles to allow for the hold and conversion functions.

\overline{CS} can be kept low during periods of multiple conversion. Also, if \overline{CS} is taken high it must remain high until the end of conversion. Otherwise, a falling edge of \overline{CS} will cause a reset condition, which will abort the conversion in progress.

A new conversion may be started and the ongoing conversion simultaneously aborted by performing steps 1 through 4 before the 36 system clock cycles occur. Such action will yield the conversion result of the previous conversion and not the ongoing conversion.

For certain applications, such as strobing, it is necessary to start conversion at a specific point in time. These devices will accommodate these applications. Although the on-chip sample-and-hold begins sampling upon the negative edge of the 4th I/O clock cycle, the hold function does not begin until the negative edge of the 8th I/O clock cycle, until the moment at which the analog signal must be converted. The TLC548 and TLC549 will continue sampling the analog input until the 8th falling edge of the I/O clock. The control circuitry or software will then immediately lower the I/O clock signal and start the holding function to hold the analog signal at the desired point in time and start conversion.

TL0808, TL0809 LOW-POWER CMOS ANALOG-TO-DIGITAL CONVERTERS WITH 8-CHANNEL MULTIPLEXERS

The TL0808 and TL0809 are monolithic CMOS 8-bit A/D converters. They will operate with a 3-V supply making them ideal for battery type applications. Conversion time is 100 μ s and they consume typically only 0.3 mW of power. They feature latched three-state outputs and latched address inputs. These A/D devices eliminate the possibility of missing codes, nonmonotonicity, and the need for zero or full-scale adjustment. The pin layout is shown in Figure 11-82. This grouping of input and address lines permits efficient pc board layout.

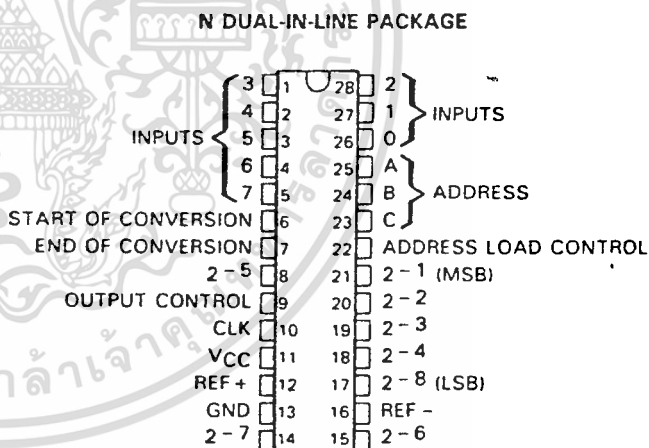


Figure 11-82. TL0808 and TL0809 Pinouts (Top View)

Description

The TL0808 and TL0809 are monolithic CMOS devices with a 8-channel multiplexer, an 8-bit analog-to-digital (A/D) converter, and microprocessor-compatible control logic. See Figure 11-83 for the functional block diagram and function table. The 8-channel multiplexer can be controlled by a microprocessor through a 3-bit address decoder with address load to select any one of eight single-ended analog switches connected directly to the comparator. The 8-bit A/D converter uses the successive-approximation conversion technique featuring a high-impedance threshold detector, a

switched-capacitor array, a sample-and-hold, and a successive approximation register (SAR).

The comparison and conversion methods used eliminate the possibility of missing codes, nonmonotonicity, and the need for zero or full-scale adjustment. Also featured are three-state output latches from the SAR and latched inputs to the multiplexer address decoder. The single 3-V supply and extremely low power requirements make the TL0808 and TL0809 especially useful for a wide variety of

applications including portable battery and LCD applications. Ratiometric conversion is made possible by access to the reference voltage input terminals.

Principles of Operation

The TL0808/0809 each consists of an analog signal multiplexer, an 8-bit successive-approximation converter, and related control and output circuitry.

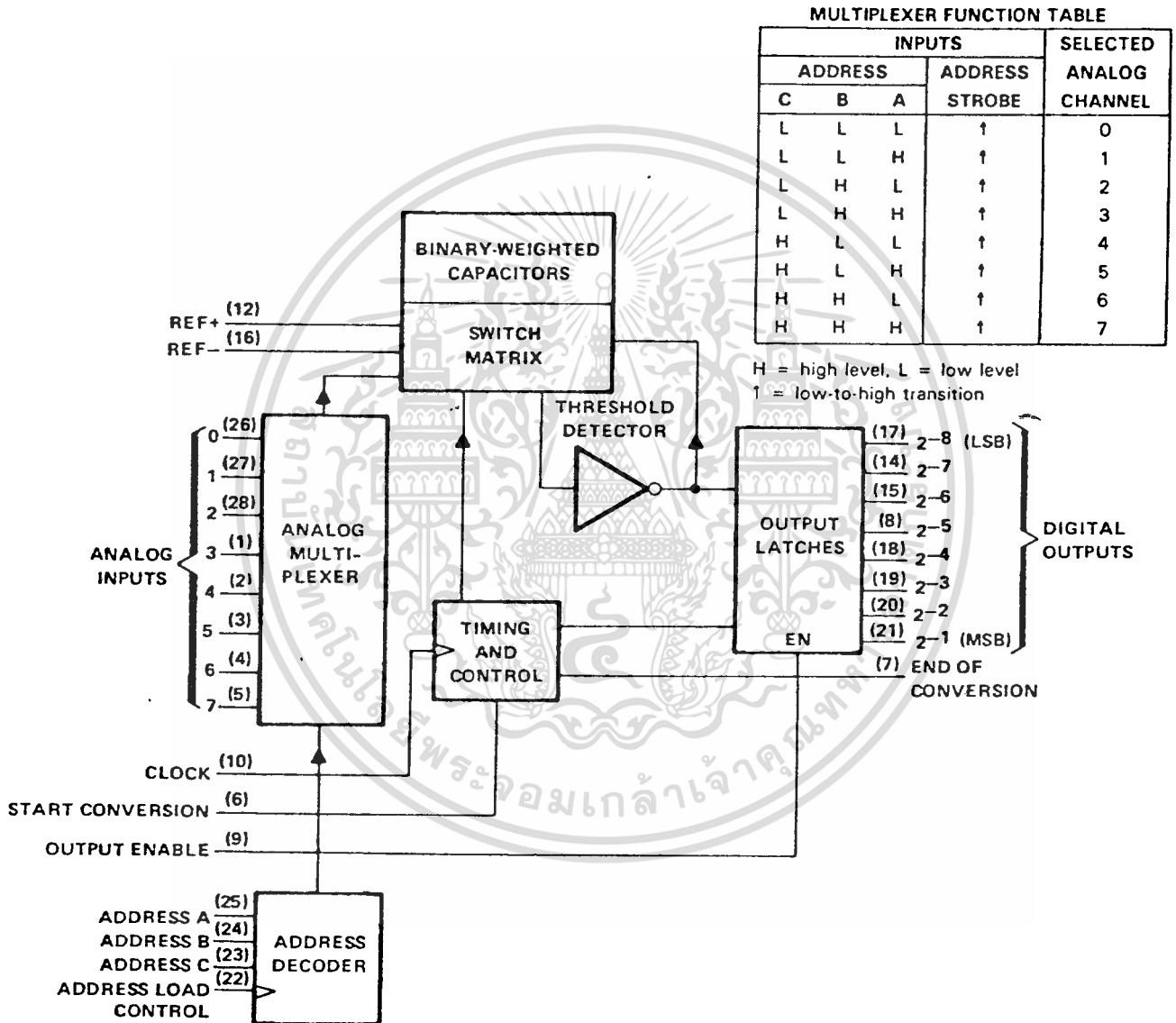


Figure 11-83. Functional Block Diagram (Positive Logic)

Multiplexer

See Figure 11-84 for the operating sequence timing. The analog multiplexer selects 1 of 8 single-ended input channels as determined by the address decoder. The Address Load Control clocks the address code into the decoder on a low-to-high transition. The output latch is reset by the positive-going edge of the start pulse. Sampling also starts with the positive-going edge of the start pulse and lasts for 32 clock periods. The conversion process may be interrupted by a new start pulse before the end of 64 clock periods. The previous data will be lost if a new start-of-conversion occurs before the 64th clock pulse. Continuous conversion may be accomplished by connecting the End-of-Conversion output to the start input. If used in this mode, an external pulse should be applied after power-up to assure start up.

Converter

The CMOS threshold detector in the successive-approximation conversion system determines each bit by examining the charge on a series of binary-weighted capacitors as shown in Figure 11-85. The conversion process uses successive approximation, but it relies on charge redistribution rather than a successive-approximation register (and reference DAC) to count and weight the bits from MSB to LSB.

In the first phase of the conversion process, the analog input is sampled by closing switch SC and all ST switches, and by simultaneously charging all the capacitors to the input voltage. In the next phase of the conversion process, all SC and ST switches are opened and the threshold detector begins identifying bits by identifying the charge (voltage) on each capacitor relative to the reference voltage. In the switching sequence, all eight capacitors are examined separately until all eight bits are identified, and then the charge-convert sequence is repeated.

In the first step of the conversion phase, the threshold detector looks at the first capacitor (weight = 128). Node 128 is switched to the reference voltage, and the equivalent nodes of all the other capacitors on the ladder are switched to REF -. If the voltage at the summing node is greater than the trip-point of the threshold detector (approximately one-half the VCC voltage), a bit is placed in the output register, and the 128-weight capacitor is switched to REF -. If the voltage at the summing node is less than the trip point of the threshold detector, this 128-weight capacitor remains connected to REF + through the remainder of the capacitor-sampling (bit-counting) process. The process is repeated for the 64-weight capacitor, the 32-weight capacitor, and so on, until all bits are counted.

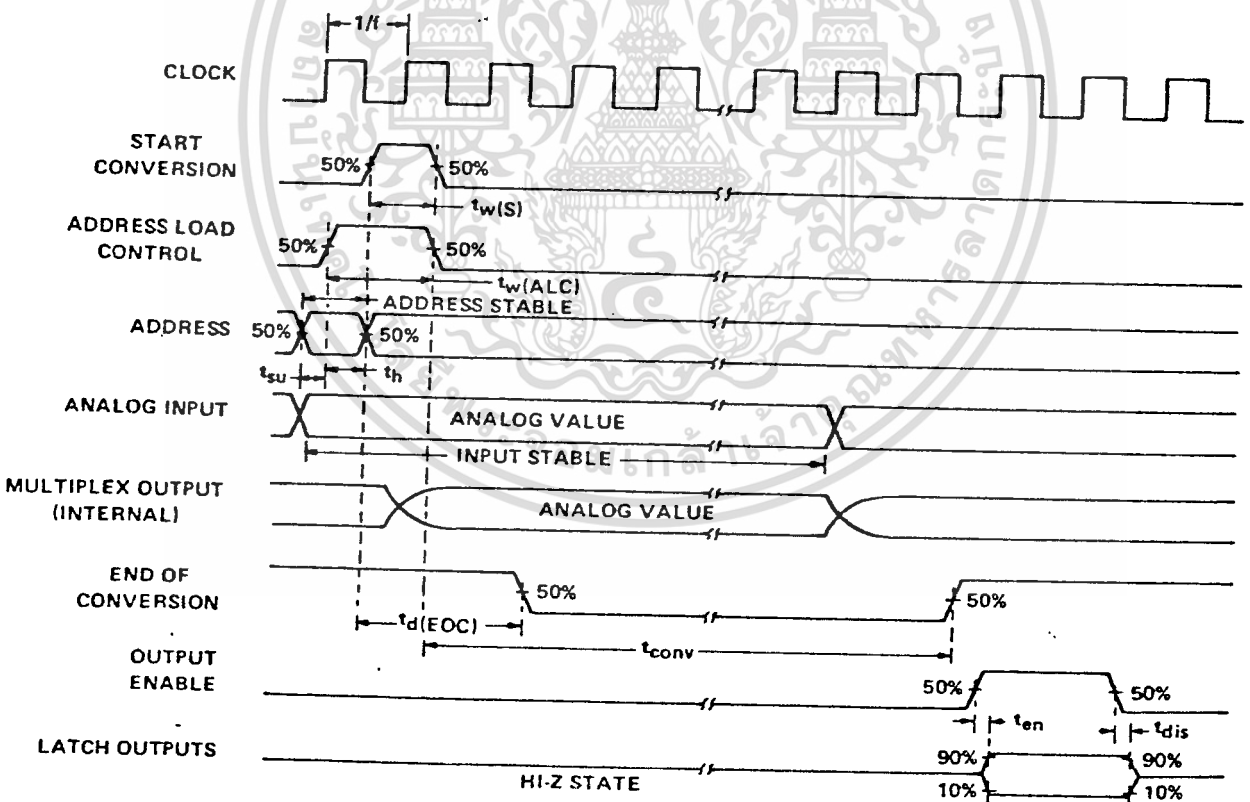


Figure 11-84. Operating Sequence

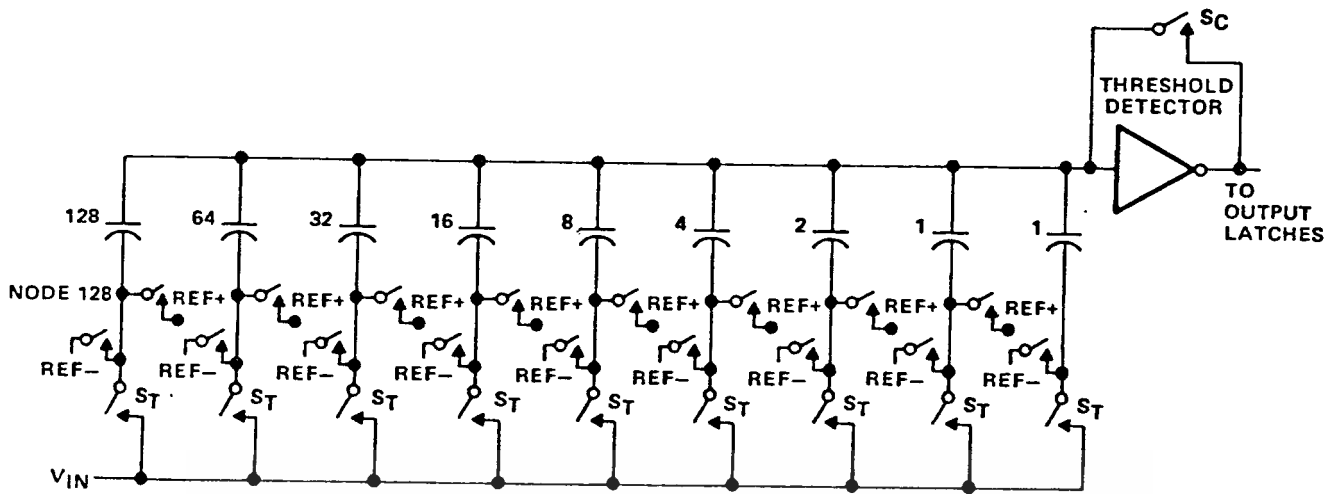


Figure 11-85. Simplified Model of the Successive-Approximation System

A/D CONVERTER APPLICATIONS

A/D converters are used in industrial control systems, automatic testing systems, communications and signal analysis systems, consumer appliance controls, displays, and automotive applications. Digital methods, especially with microprocessors, can provide powerful tools for dealing with analog functions in all of these applications.

An expanding use of A/D conversions is in digital signal processing. Television stations use this highly specialized technique to perform isolation and special effects seen on sports telecasts. However, digital signal processing is not limited to television. The medical community uses it to create and store visual images from computerized CAT scanners and ultrasound analysis equipment. Digital signal processing is also used by the military in radar, sonar, missile tracking, and secure communications. Geologists also use these techniques in analyzing earth science data, and astronomers apply the techniques in using radio telescopes.

Because the majority of applications for A/D converters involve the use of microprocessors, primary emphasis in this section has been directed toward interfaces for A/D converters and a variety of popular microprocessors. Most of the applications present hardware configurations and associated software that can be used with the following microprocessor integrated circuits:

1. Zilog Z80A and Z80
2. Intel 8051 and 8052
3. Intel 8048 and 8049
4. Motorola 6805
5. Motorola 6800, 6802, 6809, and 6809E
6. Rockwell 6502 and 6522 VIA

These microprocessors are representative of devices being used today and their inclusion in this book should not be implied as recommendation, or that other devices should not be considered for specific applications. Likewise, the circuits and software are presented only as working examples of each type of interface.

INTERFACE FOR ADC0803, ADC0804, AND ADC0805 CONVERTERS TO ZILOG Z80A AND Z80 MICROPROCESSORS

This application illustrates the circuit configuration and the associated software that can be used to operate the ADC080X family of A/D converters with the ZILOG Z80A and Z80. The A/D circuits are 8-bit successive-approximation A/D converters that feature microprocessor-compatible control logic and parallel communication with the microprocessor via the data bus. The configuration features are as follows:

1. Minimum circuitry
2. Low cost
3. Very fast communication between the microprocessor and A/D converter
4. Optional microprocessor-interrupt acknowledgement of the end of conversion
5. Differential analog voltage inputs, which reject both common-mode voltages and the offset of the zero-input analog voltage value
6. Optional on-board generation of the A/D clock signal with an external resistor and capacitor.

The basic differences between the A/D converters in this family are given in Table 11-9.

Table 11-9. Differences Between Devices in the ADC080X A/D Converter Family (Note 1)

	0803	0804	0805	UNIT
Total maximum adjusted error (with full-scale adjust)	$\pm 1/2$	—	—	LSB
Total maximum unadjusted error ($V_{ref}/2 = 2.5\text{ V}$)	—	—	—	LSB
Total maximum unadjusted error ($V_{ref}/2 = \text{open}$)	—	± 1	± 1	LSB
Operating free-air temperature range	-40	0	-40	
	to 85	to 70	to 85	°C

NOTE 1: Conversion accuracies listed are with V_{CC} at 5 V and the clock frequency at 640 kHz. If a faster clock is used, conversion time will decrease proportionately and the accuracy will tend to decrease slightly.

Circuitry

Figure 11-86 shows the interconnection between the microprocessor and the A/D converter. The A/D converter write \overline{WR} and read \overline{RD} signals, which are generated by the microprocessor, are not masked by an addressing scheme. However, if additional I/O devices were placed on the data bus, masking could be easily designed.

The SN74393 dual binary counter generates a 500 kHz clock signal for the A/D converter. Any binary counter may be used instead of the SN74393. In addition, any clock signal within the clock frequency specification may be used. Another way to generate the clock signal is to use an external resistor and capacitor in conjunction with the CLK IN and CLK OUT pins of the A/D converter. The configuration and frequency equation for this method are shown in Figure 11-87.

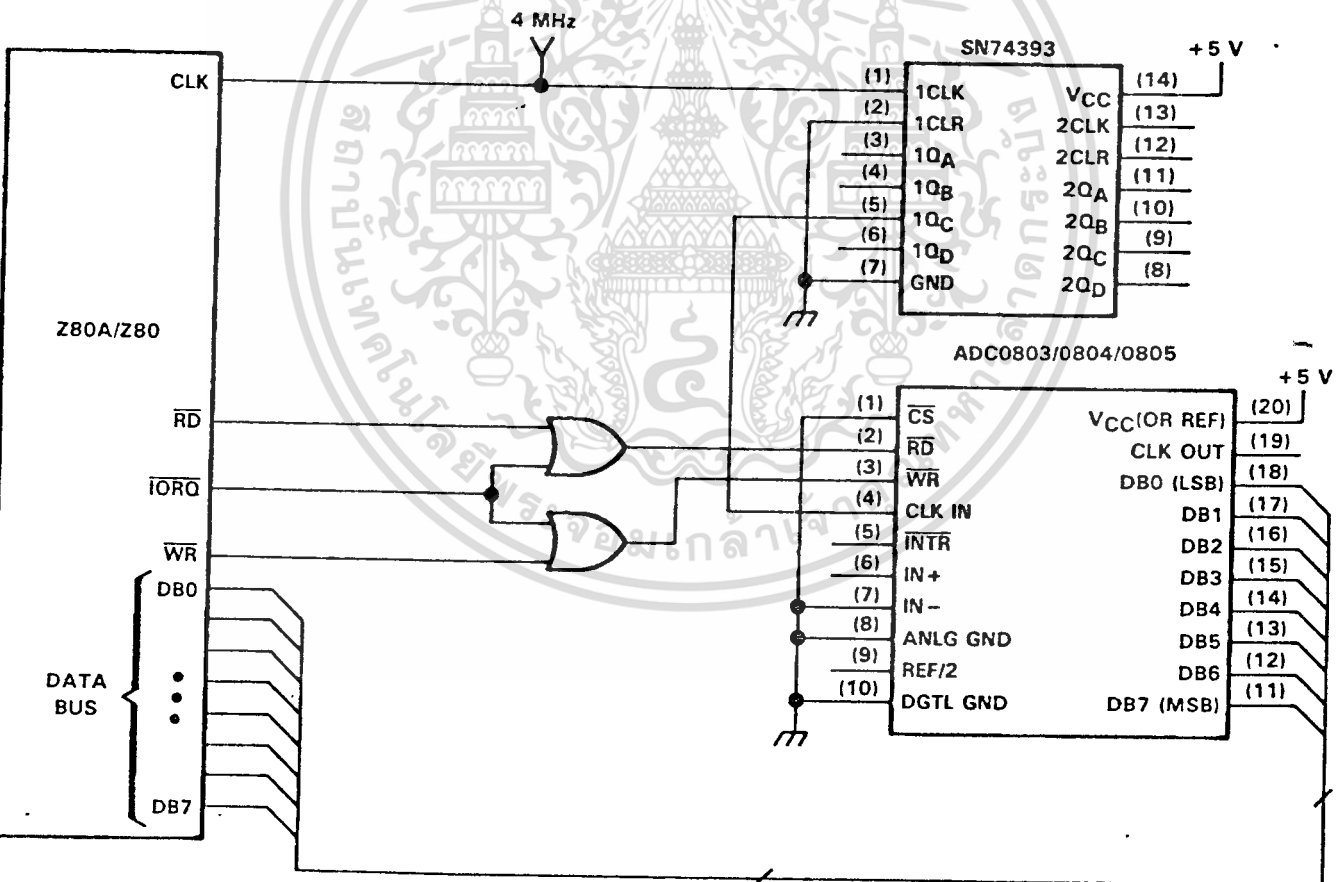


Figure 11-86. Circuit Diagram for Z80A/Z80 to ADC0804/0805 Interface

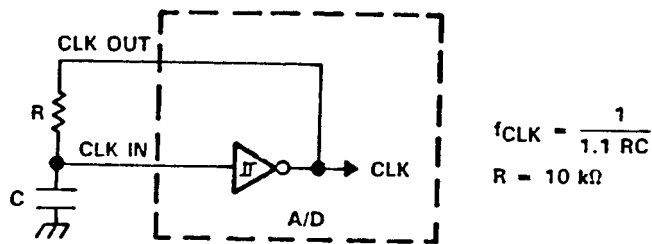


Figure 11-87. Configuration and Equations for On-Board Clock Generator

Software

The following software listing presents the software for this interface. The software is minimal due to the microprocessor-compatibility of the A/D converter. In allowing time for conversion, the designer can use any delay that is convenient, including a timer function. Another method is to use the $\overline{\text{INTR}}$ signal on the A/D converter to start a microprocessor interrupt routine that reads the conversion result. If an on-board clock generator like the one shown in Figure 11-87 is used, the conversion time will vary with the tolerances of the resistor and capacitor. In this situation, the designer can allow a conservative delay to assure that the conversion is complete before reading the result. Another method might be to wait for an acknowledgement of the $\overline{\text{INTR}}$ signal and use this to inform the microprocessor of a completed conversion.

Timing Diagram

Figure 11-88 shows the timing diagram for the interface. With a 500 kHz clock, the conversion time is 140.5 μs and the A/D $\overline{\text{INTR}}$ pin is reset when the $\overline{\text{RD}}$ signal goes low.

```

;
; Software for Z80/Z80A, ADC0803,
; ADC0804, ADC0805, Interface
;
;
;
FF 00 WRITE: EQU FFH ;Interface write address
FF 00 READ: EQU FFH ;Interface read address
;The above addresses could be
;anything unless they are used
;to drive an address decode
;circuit, which addresses
;the A/D IC
;
0000 D3 FF START: OUT (WRITE),A ;Start conversion of analog
;channel; the contents of the
;accumulator are not important;
;the write pulse however, is.
;
;Before reading the conversion result, a slightly
;greater than 140 microsecond delay (with a 500 kHz
;A/D clock), to allow for conversion time, can be
;selected in any way which is convenient for the designer.
;
; OR
;The microprocessor can continue to perform main
;program software and the conversion result can be
;retrieved by an interrupt routine, which is initiated
;by the  $\overline{\text{INTR}}$ (bar) signal, which signifies the end of
;conversion, on pin 5.
;
0002 DB FF IN A, (READ) ;Read conversion result
;into the A register
0004 - END

```

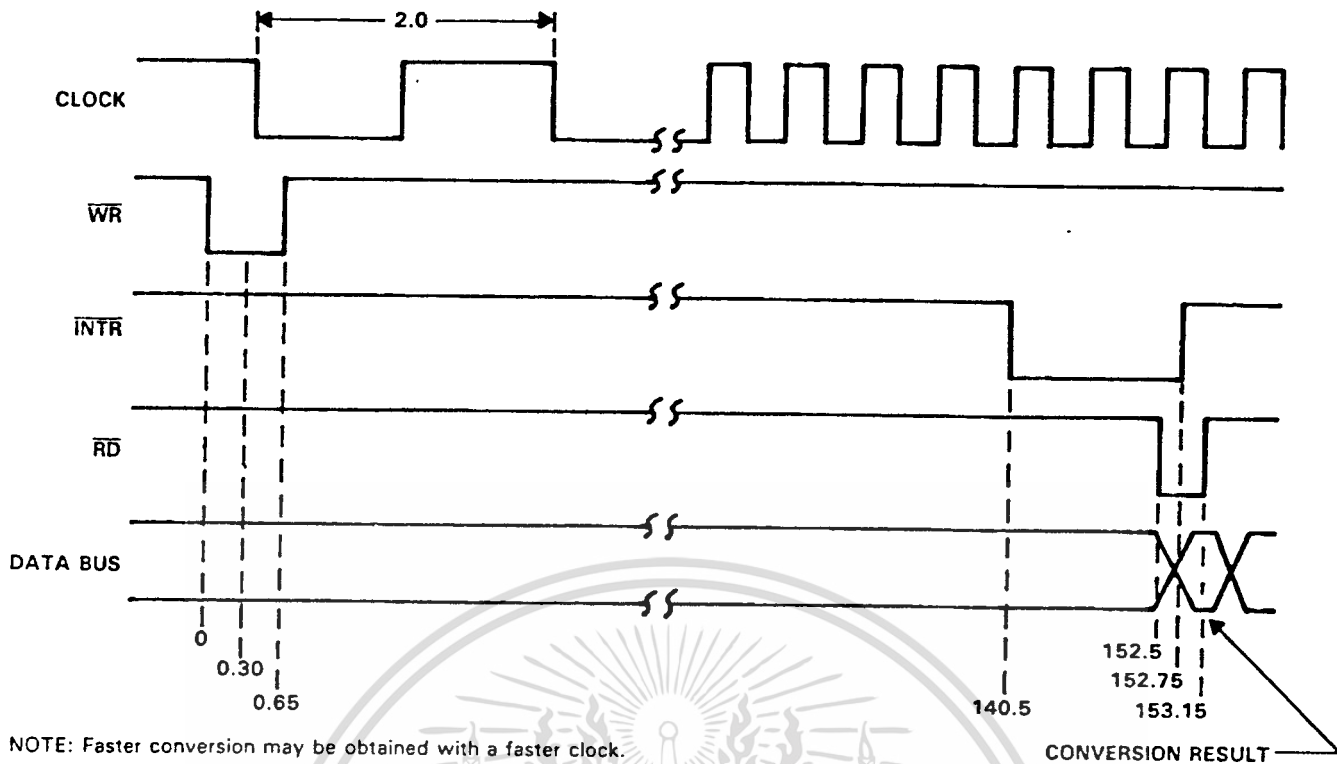


Figure 11-88. Timing Diagram for Z80A/Z80 to ADC0803/0804/0805 Interface

INTERFACE FOR ADC0803, ADC0804, AND ADC0805 CONVERTERS TO THE ROCKWELL 6502 MICROPROCESSOR

This application shows the circuit configuration and the associated software that can be used to operate this family of A/D converters with the Rockwell 6502 microprocessor. The interface circuit diagram is shown in Figure 11-89.

A data conversion cycle begins by performing a write to the ADC080X with a Start (STA) accumulator instruction. The conversion requires between 66 and 73 clock cycles. The ADC080X provides an interrupt request signal when the conversion is complete. The circuit timing is shown in Figure 11-90.

An alternate method for retrieving the conversion result would be to use a wait state in a software delay loop until the conversion results are read into the 6502 with an LDA instruction. A software listing for a typical interrupt service routine is shown. Note that the circuit employs a minimum of address decoding hardware; some applications may require additional decoding hardware.

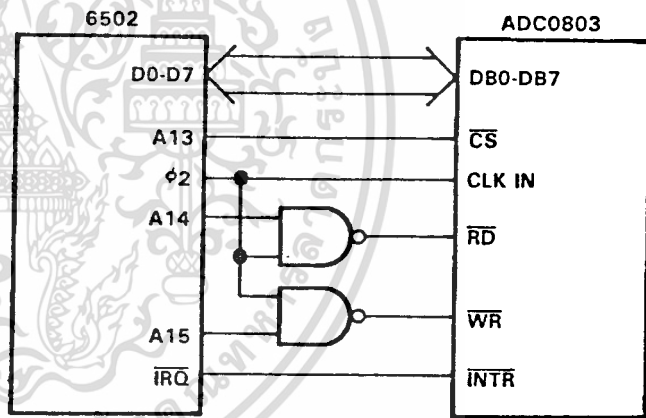


Figure 11-89. 6502 to ADC0803/0804/0805 Interface Circuit Diagram

```

; Register Assignments for ADC0803, ADC0804,
; and ADC0805 to 6502 Interface
;
WRITE: .EQU 8800H
READ: .EQU 4800H
;
;
MAIN:

```

```

STA WRITE ;Start conversion

```

```

ISR: PHA ;Save contents of accumulator
LDA READ ;Read conversion results
STA DATA ;Store results in memory
PLA ;Restore accumulator
RTI ;Return to main program

```

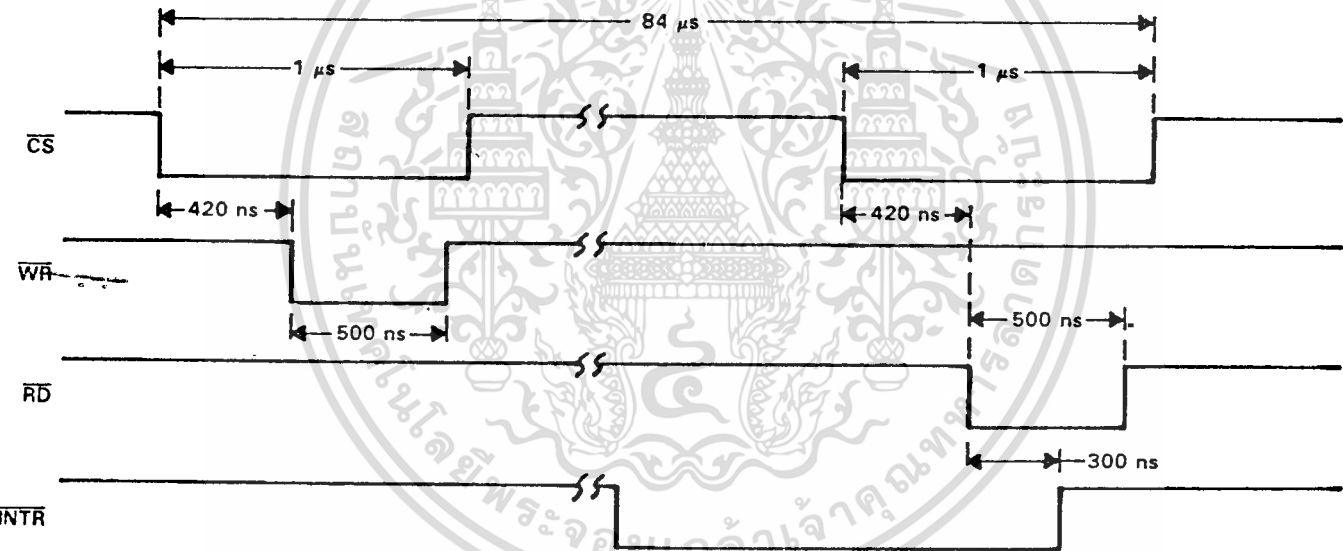


Figure 11-90. 6502 to ADC0803/0804/0805 Interface Timing Diagram

INTERFACE FOR ADC0808, ADC0809, TL0808, TL0809, TL520, TL521 AND TL522 CONVERTERS TO ZILOG Z80A AND Z80 MICROPROCESSORS

This application presents the circuit configuration and the associated software that can be used to operate this family of A/D converters with the ZILOG Z80A and Z80. These A/D circuits are 8-bit successive-approximation A/D converters that feature microprocessor-compatible control logic and parallel communication with the microprocessor via the data bus. This configuration features:

1. Minimum circuitry
2. Low cost

3. Very fast communication between the microprocessor and A/D converter
4. Optional microprocessor-interrupt acknowledgment of the end of conversion
5. Convenient control of the analog multiplexer.

Some of the basic differences between the A/D converters in these families are listed in Table 11-10. However, these are not the only differences. The TL0808 and TL0809 and ADC0808 and ADC0809 have the same pinout, but the TL520, TL521, and TL522 pinout is different from the 0808 and 0809.

Table 11-10. Differences Between ADC/TL0808-ADC/TL0809 and TL520-TL522 A/D Converter Families (Note 1)

	VCC SUPPLY (volts)	CONVERSION (μ s)
TL0808/TL0809	2.75 V to 5.5 V	100 μ s
ADC0808/ADC0809	4.5 V to 6 V	100 μ s
TL520	3 V to 5.5 V	70 μ s
TL521	3 V to 5.5 V	100 μ s
TL522	2.75 V to 5.5 V	200 μ s

NOTE 1: The conversion times require a 640 kHz clock. If faster conversion is desired, a faster clock is required. Both conversion time and conversion accuracy are specified in the data sheets when using a 640 kHz clock. If a faster clock is used, conversion time will decrease proportionately and the accuracy may stay within the 640 kHz specification or decrease slightly.

Figure 11-91 shows the interconnection points between the microprocessor and the A/D converter for a typical interface application.

Figure 11-92 shows the interconnection between the microprocessor and the TL0808 and TL0809 and ADC0808 and ADC0809 A/D converters. The interface will also work with the TL520, TL521, and TL522 if the different pinout is considered. The SN74393 dual binary counter is used to

generate a 500 kHz clock for the A/D converter. Any binary counter may be used instead of the SN74393 or any clock signal within the A/D converter clock frequency specification may be used. The microprocessor-generated A/D control and address signals are not masked by an addressing scheme; however, if additional I/O devices are placed on the data bus, masking would be necessary.

Timing Diagram

Figure 11-93 is the timing diagram for the interface. With a 500 kHz A/D clock, the conversion time for the TL0808, TL0809, ADC0808, or ADC0809 devices is 130 μ s with the EOC signal going low about 6 μ s after activation of the output enable signal.

Software

The associated program listing presents the software routines for this interface. The coding is minimal due to the microprocessor-compatibility of the A/D converters. This code is written so that it may be easily incorporated into a subroutine if desired. In allowing time for conversion, the designer may use any delay which is convenient, including a timer function, or the End of Conversion (EOC) signal on the A/D converter to initiate a microprocessor interrupt routine that reads the conversion result.

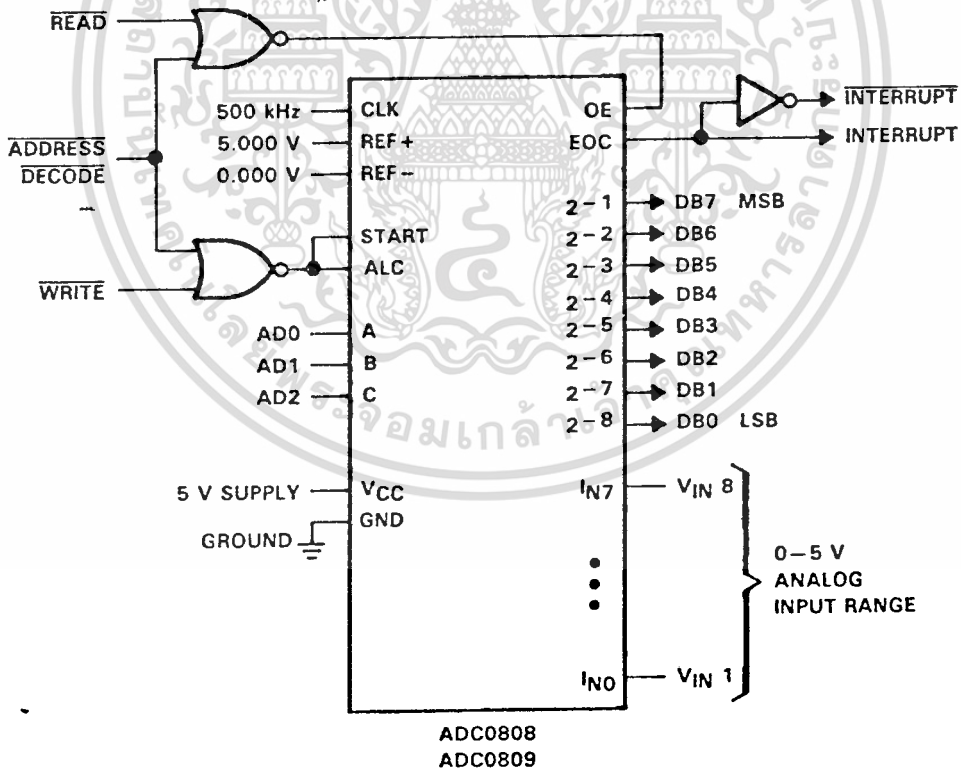


Figure 11-91. Typical Interface Application

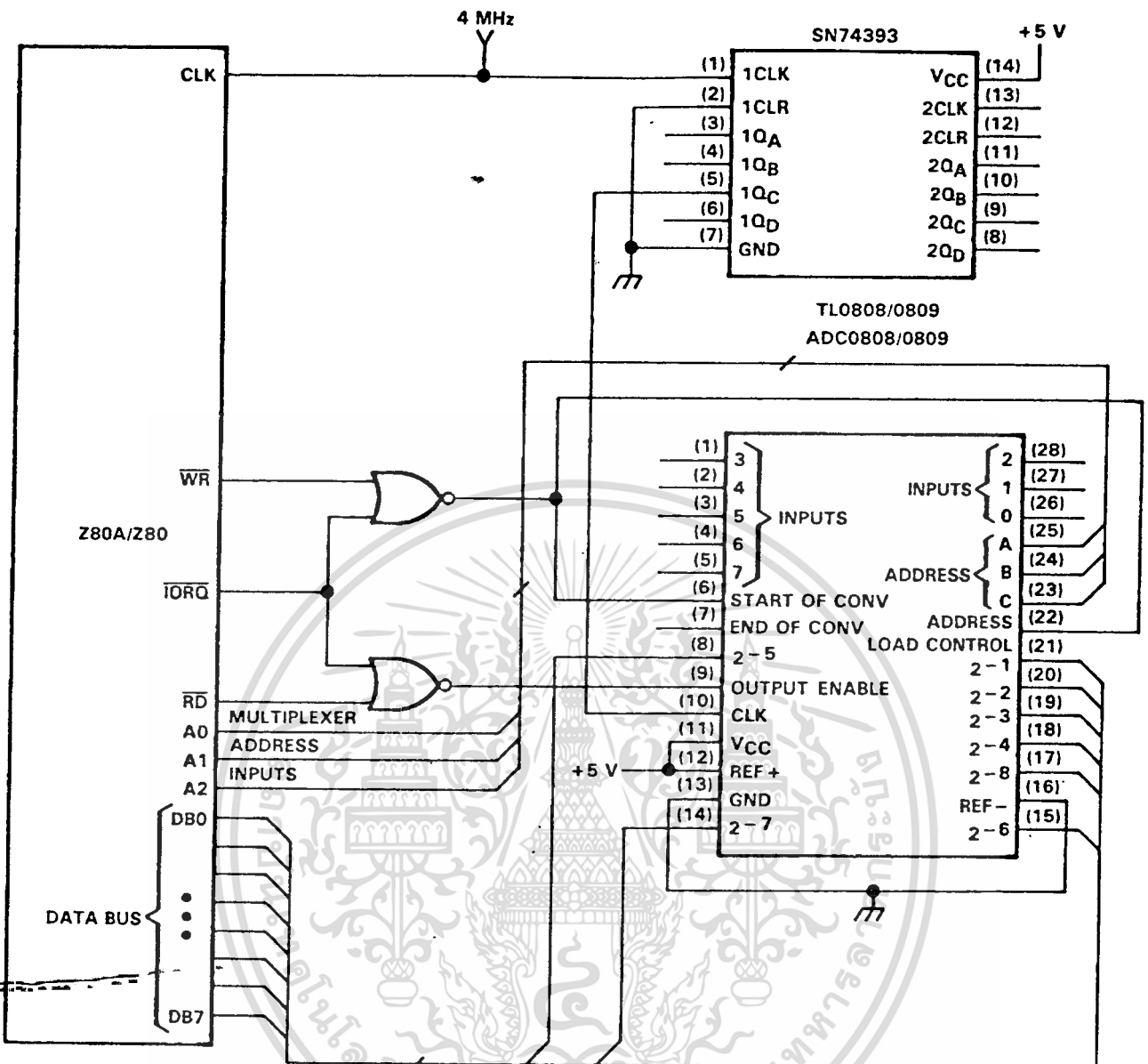


Figure 11-92. Circuit Diagram for Z80A/Z80 to TL0808/0809 ADC0808/0809 Interface

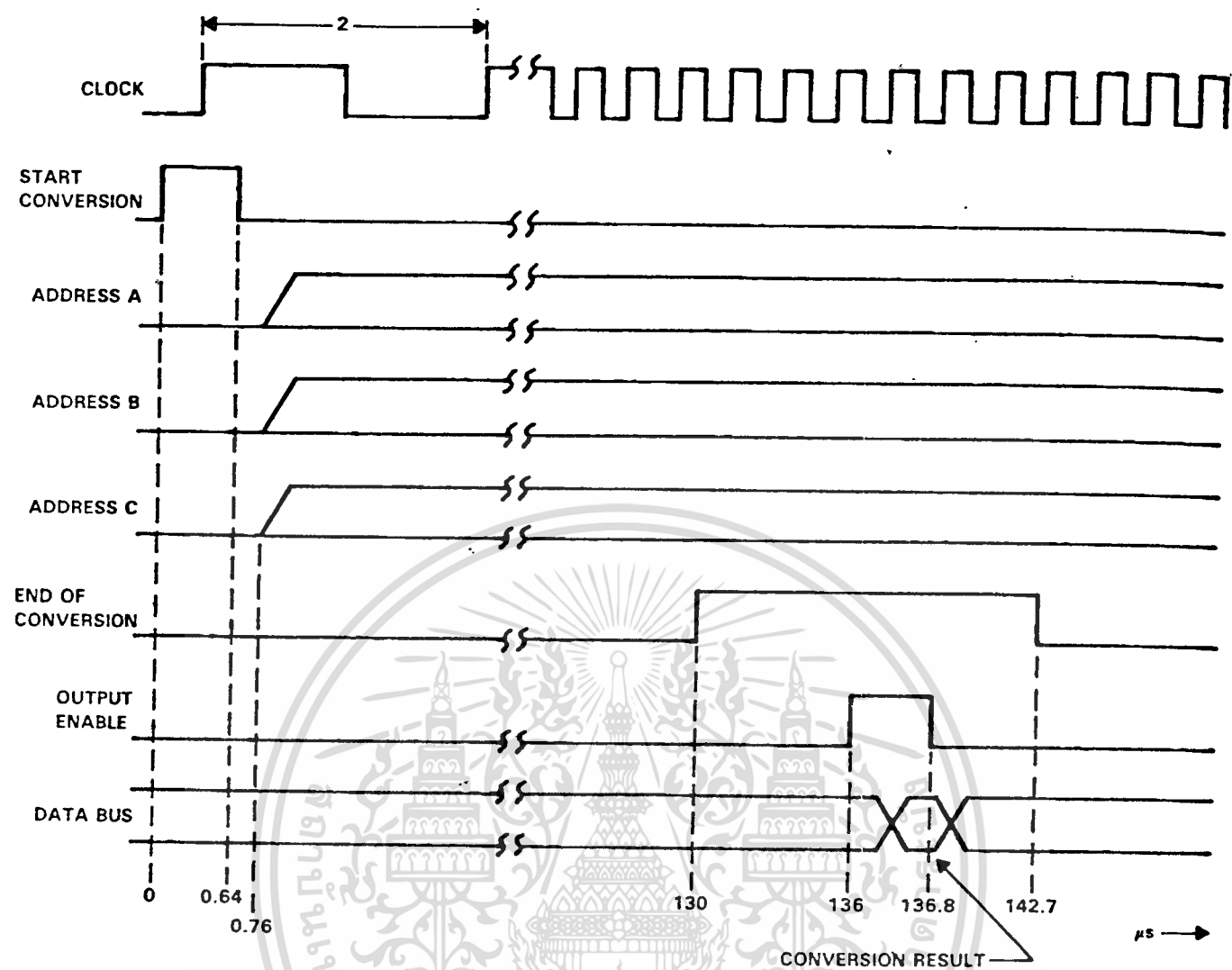


Figure 11-93. Timing Diagram for Z80/Z80A to TL0808/0809 ADC0808/0809 Interface

INTERFACE FOR ADC0808 AND ADC0809 CONVERTERS TO THE ROCKWELL 6502 MICROPROCESSOR

This application shows the circuit configuration and the associated software that can be used to operate the ADC0808 and ADC0809 A/D converters with the Rockwell 6502 microprocessor. The interface circuit diagram is shown in Figure 11-94. A data conversion cycle is initiated by performing an STA instruction. This generates a start conversion pulse that clears the EOC line. The address in memory where the accumulator stores its contents determines which channel is selected for conversion. The conversion requires approximately 65 clock cycles. The clock frequency may vary from 10 kHz to 1.28 MHz, however, when it is above 640 kHz the accuracy may decrease slightly. The

circuit timing diagram is shown in Figure 11-95.

Upon completion of the conversion, the EOC signal is set and may be used to generate an interrupt signal for the Rockwell 6502. Also, a software delay loop may be used to achieve the proper delay until conversion is complete.

If the interrupt scheme is chosen, the interrupt service routine must either start another conversion cycle that will clear the EOC signal or disable the interrupts. If this is not done, the Rockwell 6502 will remain in the interrupt service routine loop. It may be desirable to add a flip-flop and an AND gate to control the enabling and disabling of the EOC signal. Structuring of the interrupt and the address decoding scheme are both flexible and should be optimized for the particular application. A software listing for an interrupt service routine follows.

```

; Register Assignments for ADC0808 and ADC0809
; Interface to the Rockwell 6502
ADC0808 .EQU 4000H
WRITE0 .EQU 8000H
WRITE1 .EQU 8001H
.
.
WRITE7 .EQU 8007H
;
;
MAIN:
.
.
STA WRITE0 ;Start conversion, clear interrupt
.
.
ISR:
PHA ;Save accumulator
LDA ADC0808 ;Read conversion results into acc.
STA DATA ;Store conversion results
PLA ;Restore accumulator
PLP ;Pull status from stack
SEI ;Disable interrupts
PHP ;Push status back on stack
RTI ;Return to main program

```

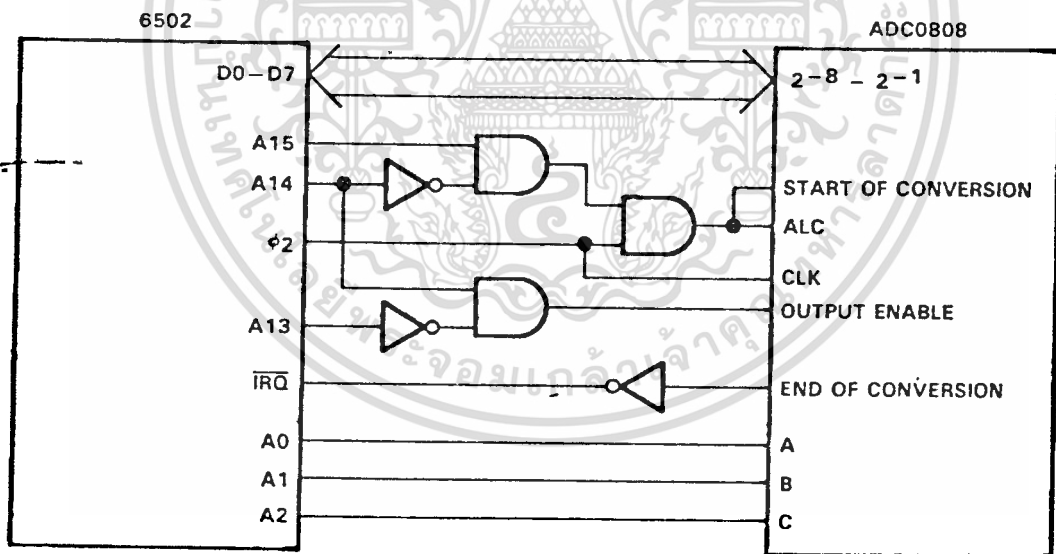


Figure 11-94. 6502 to ADC0808 Interface Circuit Diagram

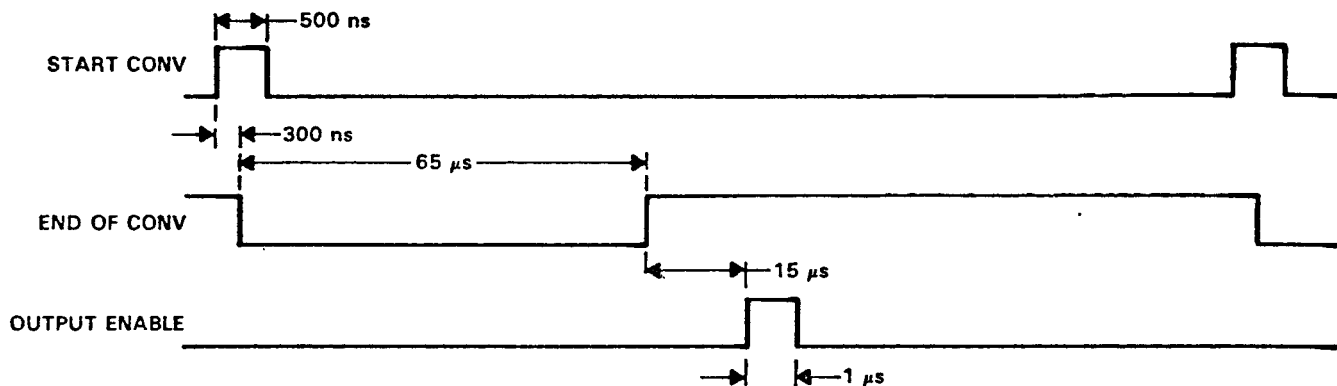


Figure 11-95. 6502 to ADC0808 Interface Timing Diagram

INTERFACE FOR ADC0808, ADC0809, TL0808, TL0809, TL520, TL521, AND TL522 CONVERTERS TO THE MOTOROLA 6800 MICROPROCESSORS

This application illustrates a circuit configuration and the software that can be used to operate this family of A/D converters with the Motorola 6800 family of microprocessors. Figure 11-91 shows a typical interface application. Figure 11-96 shows the interconnection between the Motorola 6802 microprocessor and the TL0808 or TL0809 A/D converters. Although Figure 11-96 shows circuitry for the TL0808/ADC0808 and TL0809/ADC0809 A/D converters, the interface will also work with the TL520, TL521, and TL522 devices if the different pinout is considered.

The SN74393 dual binary counter is used to generate a 500 kHz clock for the A/D converter. Any binary counter may be used in place of the SN74393 or any clock signal within the A/D converter clock frequency specification can be used. The 6800 E clock or E clock equivalent, if within the clock frequency specification, may also be connected directly to the clock input of the A/D converter. When using the Motorola microprocessors with clock frequencies greater than 1 MHz, the designer must check to see that the A/D

converter write and read timing specifications are met. The microprocessor-generated A/D control and address signals are masked by the 4000H-7FFFH addressing range. A more efficient addressing scheme can easily be implemented if desired. Table 11-11 provides information for adapting the circuit of Figure 11-96 for use with other members of the 6800 family of microprocessors.

Timing Diagram

Figure 11-97 is the timing diagram for this interface. With a 500 kHz A/D clock, the conversion time for the TL0808/TL0809 and ADC0808/ADC0809 A/D converters is 130 μs. The EOC signal falls approximately 6 μs after activation of the OUTPUT ENABLE signal.

Software

The software listing for this interface follows. The software is minimal due to the microprocessor-compatibility of the A/D converter devices. In allowing time for conversion, the designer can use any delay which is convenient, including either a timer function or the EOC signal to initiate the microprocessor interrupt routine that reads the conversion result.

Software for Motorola 680X-TL0808 / TL0809 ICs
 -ADC0808 / ADC0809 ICs
 -TL520 / TL521 / TL522 ICs

```

;
;
;
;
;
;
40 00      READ:      EQU 4000H      ;Interface read address; this
;address is selected to ensure
;that the read operation reads
;the conversion result byte
;and does not read the program
;memory or on-board RAM (if
;the microprocessor is the
;6802) by mistake

```

```

0000      B7 40 00    ; START:      STAA 4000H      ;Address analog channel 0 and
;start conversion; 4001 would
;address channel 1, etc.

```

```

;
;Before reading the conversion result, a slightly
;greater than 130 microsecond delay (with a 500 kHz
;A/D clock), to allow for conversion time, can be
;selected in any way which is convenient for the
;designer:

```

OR

```

;The microprocessor can continue to perform main
;program software and the conversion result can be
;retrieved by an interrupt routine, which is initiated
;by the End of Conversion (EOC) signal on pin 7 of the
;ADC0808/0809 and TL0808/0809 ICs and on pin 22 of the
;TL520/521/522 ICs.

```

```

0003      B6 40 00    LDAA READ      ;Read conversion result
;into the A accumulator
0006      END

```

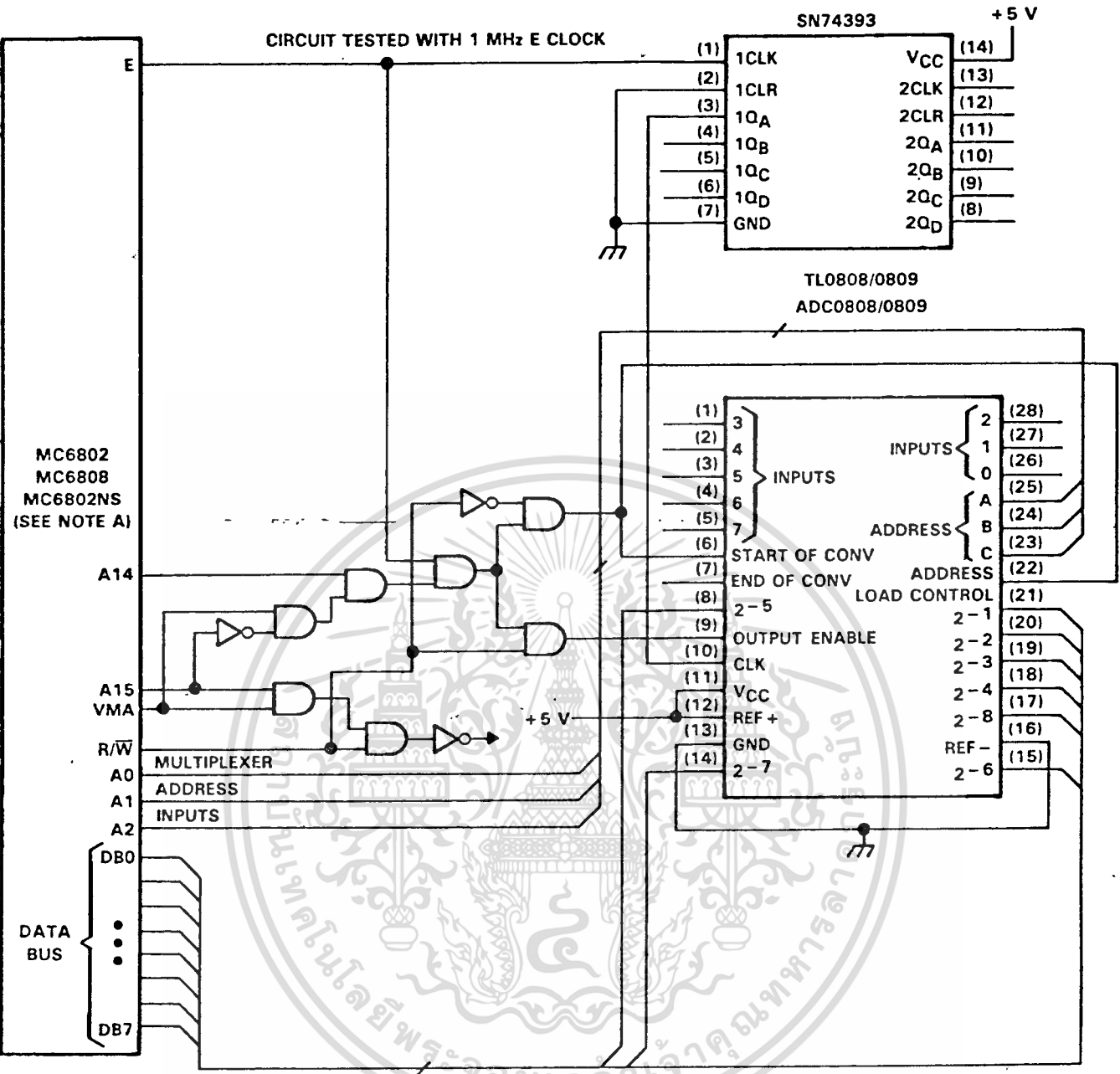
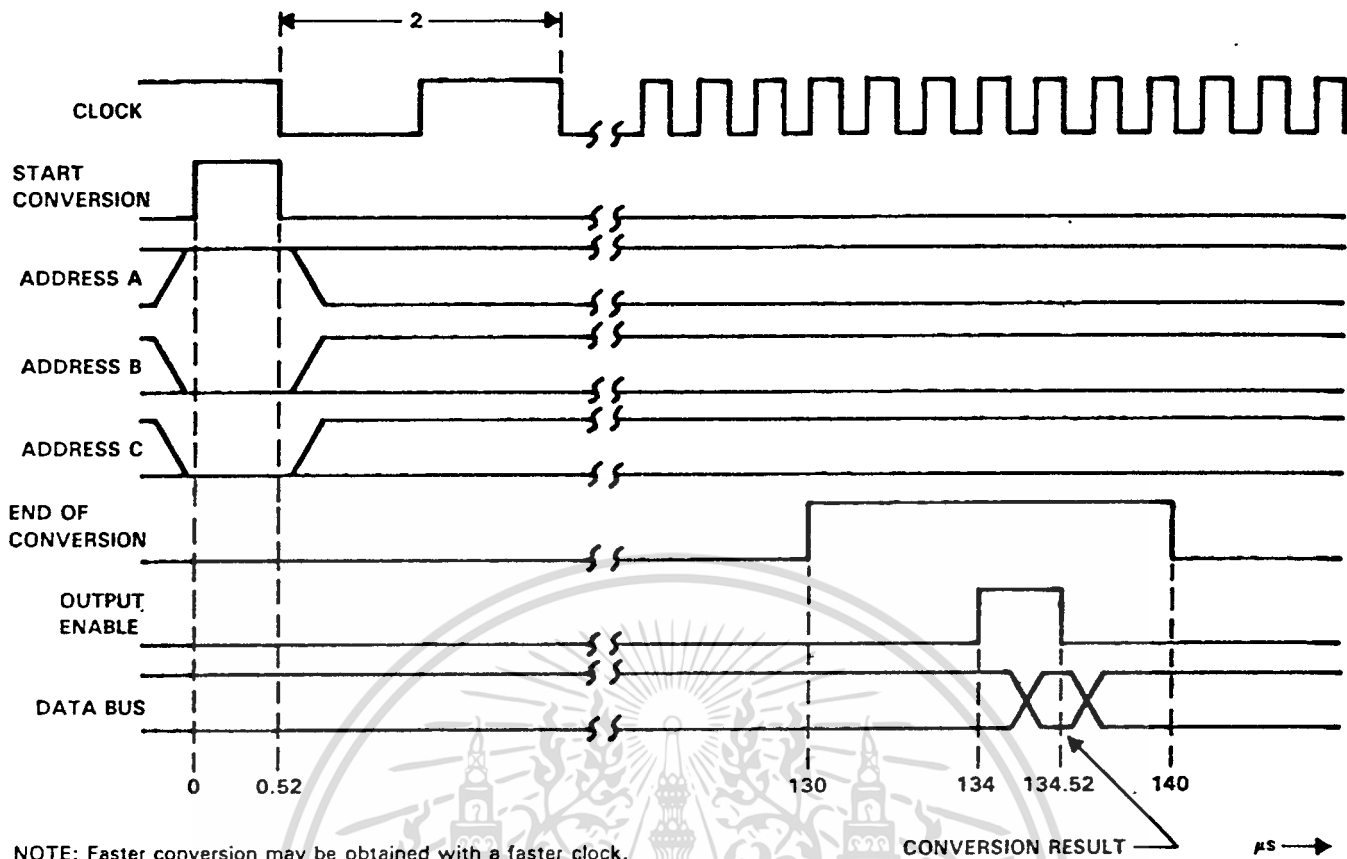


Figure 11-96. Circuit Diagram for TL0808/0809 Interface

Table 11-11. Considerations for Using Other Microprocessors

MICROPROCESSOR	E CLOCK OR E CLOCK EQUIVALENT
6800	ϕ_2 is equivalent to the 6802/6809 E pin
6802/6808/6802ns	See Figure 11-96
6809	See Figure 11-96
6809E/68HC09E	See Figure 11-96 and "Motorola 8-bit Microprocessor and Peripheral Data Book" for clock generator — pg. 3-277

เอกสารนี้เป็นเอกสารที่สงวนไว้สำหรับการใช้งานเพื่อการศึกษาเท่านั้น ไม่อนุญาตให้นำไปใช้ประโยชน์ด้านการค้า
 11-70 ไม่ว่าจะผิดๆ ทั้งสิ้น อีกทั้งห้ามมิให้ดัดแปลงเนื้อหา และต้องอ้างอิงถึงเจ้าของเอกสารทุกครั้งที่มีการนำไปใช้



NOTE: Faster conversion may be obtained with a faster clock.

Figure 11-97. Timing Diagram for 680X to TL0808/00809 ADC0808/0809 Interface

INTERFACE FOR ADC0831, ADC0832, ADC0834, AND ADC0838 CONVERTERS TO ZILOG Z80A AND Z80 MICROPROCESSORS

The ADC0831, ADC0832, ADC0834, and ADC0838 devices are 8-bit successive-approximation analog-to-digital converters with serial input/output and configurable input multiplexers with up to 8 channels. These A/D converters are designed to easily communicate with microprocessors in a serial fashion. The hardware configurations and the associated software presented can be used to operate the ZILOG Z80A and Z80 microprocessors with the ADC0830 converters. The timing diagrams show the interaction between the microprocessor and the A/D converter.

The ADC0832, ADC0834, and ADC0838 A/D converters can be software configured in either the single-ended or differential input mode. Additionally, the differential \pm inputs can be interchanged through software manipulation.

The serial interface features:

1. Low cost
2. Minimum circuitry
3. Fast conversion and communication between the A/D converter and the microprocessor
4. Remote control advantages of serial A/D converters.

Circuitry — ADC0832, ADC0834, and ADC0838

Figure 11-98 shows the interconnection between the microprocessor and the ADC0832, ADC0834, and ADC0838 A/D converters. The interconnection is identical for all three A/D converters. The microprocessor DO pin can be used to transmit to and receive digital data between the ADC083X DI and DO pins, respectively. The SN74126 3-state buffer output is in the high-impedance state except during a microprocessor read operation. The SN74174 quad D-type flip-flop is used to synchronize and slow down the write/read communication between the microprocessor and ADC083X so the ADC083X timing specifications are satisfied. Rather than NOR gates, OR gates may be used to activate the flip-flops and 3-state buffer on the positive transitions of the write WR and read RD strobes, instead of on the negative transitions. However, if OR gates are used, a SN74125 buffer must be used in place of the SN74126.

Timing Diagram — ADC0838 Device

Figure 11-99 is the timing diagram for the Z80A and Z80 to ADC0838 interface. Addressing the analog channel, performing conversion, and retrieving the conversion result requires 260 μ s. The timing diagrams for the ADC0832 and ADC0834 converters are similar except fewer input bits are transmitted to the A/D converter. The 3-state buffer enable

กิตติกรรมประกาศ

ในการทดลองวิจัยเรื่อง เครื่องวัดสัญญาณหัวใจ 2 ช่องสัญญาณ ตลอดจนการทำ
ปริญญาโทฉบับนี้ได้รับความสำเร็จลุล่วงมาด้วยดี ส่วนหนึ่งได้รับความอนุเคราะห์ ทั้งทางด้าน
คำแนะนำ การจัดหาอุปกรณ์ ตำรา และเครื่องมือต่างๆในการทดลอง ตลอดจนการช่วยแก้ไข
ปัญหาต่างๆที่เกิดขึ้น จากอาจารย์ ประภากร สุวรรณะ อาจารย์ ยุทธนา คิติใจเดียว รวมทั้ง
พี่ๆปริญญาโท ห้องชีวอิเล็กทรอนิกส์ทางการแพทย์ ตลอดจนถึงกำลังใจต่าง ๆ ที่ส่งมาช่วยจึง
กราบขอบพระคุณมา ณ ที่นี้ด้วย



เอกสารนี้เป็นเอกสารที่สงวนไว้สำหรับการใช้งานเพื่อการศึกษาเท่านั้น ไม่อนุญาตให้นำไปใช้ประโยชน์ด้านการค้า
ไม่ว่ากรณีใดๆทั้งสิ้น อีกทั้งห้ามมิให้ดัดแปลงเนื้อหา และต้องอ้างอิงถึงเจ้าของเอกสารทุกครั้งที่มีการนำไปใช้

เอกสารอ้างอิง

มนัส สังวรศิลป์ ; วิศวกรรมชีวการแพทย์ ; หน้า 97-149

ประกิจ ตั้งติสานนท์ ; ทฤษฎีโทรทัศน์ ; คณะวิศวกรรมศาสตร์ สถาบันเทคโนโลยี
พระจอมเกล้าเจ้าคุณทหารลาดกระบัง ; 2529

พิชัย คูศิริวานิชกร ; การใช้ระบบไมโครคอมพิวเตอร์ ในเครื่อง ไอ.ซี.ยู. มอนิ
เตอร์ ; หน้า 1-53

พลศาสตร์ เลิศประเสริฐ ; ระบบการส่งคลื่นไฟฟ้าหัวใจในห้อง ไอ.ซี.ยู. ; หน้า
1-60 ; 2529

คู่มือไอซี CMOS 4000 SERIES ; ซีเอ็ดยูเคชั่น ; พิมพ์ครั้งที่ 3 ; 2521

คู่มือไอซีอินซัพพอร์ต และหน่วยความจำ ; ซีเอ็ดยูเคชั่น ; พิมพ์ครั้งที่ 1 ; 2529

THE TTL DATA BOOK FOR DESIGN ENGINEERS ; SECOND EDITION ;
TEXAS INSTRUMENTS INCORPORATED ; U.S.A. ; 1976

LANCE A. LEVENTHAL ; Z-80 ASSEMBLY LANGUAGE SUBROUTINES ;
WINTHROP SAVILLE ; P 442-454

JAME W. COTTRON ; Z80 APPLICATION ; SYBEX ; 1983

WALTER G. JUNG ; IC TIMER COOKBOOK ; P 30-33

LINEAR APPLICATIONS HANDBOOK ; NATIONAL SEMICONDUCTOR
CORPORATION ; U.S.A. ; 1980

DAVID F. STOUT , MILTON KAUFMAN ; HANDBOOK OF OPERATIONAL
AMPLIFIER CIRCUIT DESIGN ; MCGRAW-HILL BOOK COMPANY ; 1976